

Металокомплексні сполуки на основі похідних сульфолену-3: антиокиснювальна ефективність

В.В. Суховеєв^a, Г.О. Ковтун^b

^aНіжинський державний педагогічний університет ім. Миколи Гоголя,
Україна, 16602 Ніжин, вул. Кропив'янського, 2; факс: (04631) 2-23-27;

^bІнститут біоорганічної хімії та нафтохімії НАН України,
Україна, 02094 Київ, вул. Мурманська, 1; факс: (044) 573-25-52

Узагальнено дослідження антиокиснювальної ефективності сульфоланвімісних комплексів металів. Зроблено висновки щодо характеру впливу на антиокиснювальну дію природи центрального атома *M*, координатного вузла, стеричних властивостей замісників у складі ацидоліганду, електронної природи замісників у координованих лігандах і концентрації металокомплексу.

Проблема раціонального використання нафтопродуктів в Україні стоїть особливо гостро, оскільки нафтові родовища країни можуть забезпечити потреби в цій сировині лише на 10 % [1].

Однією із складових раціонального використання нафтопродуктів є покращання їх експлуатаційних властивостей – захисної здатності, протизношуваності, стабільності, антикорозійної активності тощо. Цього можна досягти завдяки використанню поліфункціональних присадок, до яких належать і металокомплексні сполуки [2–10]. Унікальними властивостями металокомплексів в останні два десятиріччя присвячено велику кількість публікацій, узагальнених у роботах [3–6, 11–25].

Не залишається поза увагою дослідників і питання впливу металокомплексних сполук на каталіз багатьох хімічних і біохімічних процесів. Актуальними є дослідження функцій металокомплексних сполук у радикально-ланцюговому окисненні органічних речовин молекулярним киснем, який широко використовується як окисник в органічному та нафтохімічному синтезі [3–6, 18].

При переробці, використанні та збереженні нафтопродуктів антиокиснювальна стабілізація сприяє покращанню їх фізико-хімічних властивостей. Одним з напрямків підвищення антиокиснювальної стабільності нафтопродуктів є застосування відповідних присадок, які об'єднують різноманітні класи сполук (ароматичні аміни, феноли, хіони, сульфіди, нітроксили, поліспряжені вуглеводні, металокомплекси) [2–6, 18].

Відомими промисловими присадками такого типу є діалкіл- і діарилдітіофосфати, діалкілдітіокарбамати, алкілсаліцилати, карбоксилати та феноляти металів [7].

Порівнянно з відомими органічними антиокисдантами металовімісним сполукам властива більш висока антиокиснювальна ефективність [3, 4, 6]. Авторами [26] показана можливість посилення антиокис-

нювальної дії традиційних органічних антиоксидантів шляхом координації їх функціональних груп із сполуками перехідних металів.

Тому систематизація наукових досліджень металокомплексних сполук має як науковий, так і практичний інтерес, оскільки дає змогу досліджувати взаємозв'язок структура–вплив з метою створення перспективних речовин цього класу із заданими хімотологічними властивостями. Але до початку робіт [27–58] були відсутні дослідження із синтезу та вивчення практично корисних властивостей металокомплексів на основі похідних сульфолену-3 [59].

Метою даного огляду є систематизація експериментального матеріалу з антиокиснювальної дії сульфоланвімісних металокомплексних сполук.

Методологія та методи дослідження. Раніше було встановлено, що металокомплексні сполуки ML_n можуть не тільки ініціювати [60–65], а й ініціювати процеси окиснення органічних сполук [24, 66–80]. Виявлено [79], що комплекси металів у змозі стехіометрично (одноразово) реагувати на носії ланцюгів окиснення. У роботах [80, 81] досліджено унікальне явище каталітичної (багаторазової) участі комплексів металів у реакціях, що відповідають за ініціювання окиснення. На сьогодні узагальнено основні реакції металокомплексного каталізу ініціювання окиснення органічних сполук [18].

Дослідження механізму антиокиснювальної дії ML_n проведено на модельних системах (амінах, аренах, спиртах тощо), які в радикально-ланцюговому механізмі окиснення поводять себе як відомі органічні сполуки [6].

Відбір потенційних інігіторів окиснення здійснено за періодом індукції τ , який вираховують за рівнянням

$$\tau = f[ML_n]/W_1,$$

де f – стехіометричний коефіцієнт інігібування при різних початкових концентраціях ML_m ; W_1 – швидкість ініціювання вільних радикалів; τ – відповідає часу по-

глинання $7 \cdot 10^{-2}$ моль/л кисню зразком нафтопродукту за температури досліду 120–180 °C [3].

Даний вибір обумовлений такими причинами [3]: величина τ визначається основними показниками реакційної здатності комплексу ML_m у стабілізуючому продукті; зміна τ , як правило, симбатна зміні основних експлуатаційних показників нафтопродуктів (в'язкості, кислотного числа тощо) [3–6].

Для металокомплексів, які містять як центральний атом іон металу, здатний до одноелектронних перетворень (Cu, Mn, Co, Fe, Ce), періоди гальмування τ значно вищі, ніж вираховані, вихідчи з припущення, що досліджувані комплекси стехіометрично використовуються у реакціях з носіями ланцюгів окиснення:

$$\tau = [ML_n]/W_1.$$

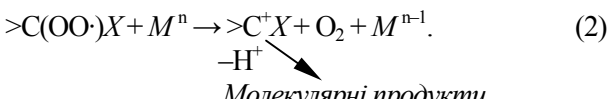
Тривалість гальмуючої дії інгібітора окиснення описують брутто-стехіометричним коефіцієнтом обриву ланцюгів f [2, 79, 81–83], який характеризує кількість носіїв ланцюгів, що обриваються, з розрахунку на одну молекулу комплексу металу, раніше ніж окиснення досягне свого неінгібованого значення: $f = \tau_{\Sigma\tau}$ [83, 84]. Величини параметра ($f > 1$) свідчать про багаторазову участь молекули комплексу металу в обриві ланцюгів окиснення досліджуваних сполук [83, 84].

Носіями ланцюгів окиснення органічних сполук є пероксильні радикали, що виявляють не лише окисні, але й відновні властивості [2, 80–83, 85, 86]. За будовою пероксильні радикали розподіляють на гідропероксильні HOO^{\cdot} та радикали загальної будови $>\text{COO}\cdot\text{X}$, де X: OH, NH₂, NHR, NR¹R², CH₃, C₆H₅, NHC(O)R, SR (R, R¹, R²-алкіл) [18].

Відновні властивості радикалів HOO^{\cdot} у розчинах металокомплексів обумовлені реакцією (1) [87]:



Для радикалів $>\text{COO}\cdot\text{X}$ такі їх властивості пов'язані з проходженням одноелектронних реакцій [2, 80, 81, 83, 86]. Вони відбуваються за наявності в α -положенні по відношенню до пероксильної групи радикала замісника X, який стабілізує карбокатіон, що утворюється в реакції (2) [81, 83, 87]:

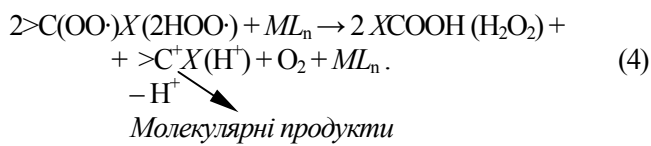


Молекулярні продукти

Окиснення відновленої форми металокомплексу пероксильними радикалами, що призводять до регенерації комплексу металу, описується теж одноелектронними перетвореннями (3) [2, 79, 81–83, 88]:



Отже, внаслідок проходження реакцій відновлення (1) і (2) та окиснення (3) реалізується багаторазовий (каталітичний) обрив ланцюгів на кожній молекулі комплексу металу (4) [2]:



Аналіз природи проміжних і кінцевих продуктів окиснення сполук у присутності комплексів металів дозволив виділити два механізми металокомплексного каталізу реакцій обриву ланцюгів [18], а саме: а) реакції, локалізовані на центральному атомі комплексу металу M; б) реакції, локалізовані на лігандрі металокомплексу L.

Механізм реакції обриву ланцюгів, локалізованих на центральному атомі комплексу металу, спостерігається для комплексів перехідних металів, у яких центральний атом у радикальних реакціях потенційно здатний до одноелектронних перетворень [2, 79, 81–84, 86, 87]: $M^n \rightleftharpoons M^{n-1}$.

Цей тип металокомплексного каталізу реакцій обриву ланцюгів окиснення обумовлений почерговими одноелектронними перетвореннями, що відбуваються у внутрішній координаційній сфері комплексу металу за рівняннями (2) і (3). Ці реакції разом з механізмом неінгібованого окиснення органічних сполук дали можливість отримати загальне рівняння для брутто-константи швидкості обриву ланцюгів (наприклад [80, 84]):

$$k = A(Wk_t)^{1/2}/2[ML_n]_0,$$

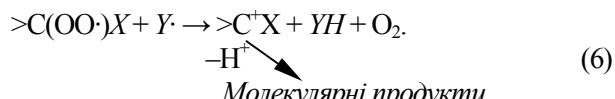
де $A = W_0 \cdot W^{-1} \cdot W \cdot W_0^{-1}$, $W = W_0$ при $[ML_n]_0 = 0$; k_t – константа швидкості квадратичного обриву ланцюгів окиснення [88].

Механізм реакцій обриву ланцюгів, локалізованих на лігандрі металокомплексу, характерний для сполук, що мають таку будову координаційного вузла: $M(2X, 2YH)$, де M – центральний атом, для якого одноелектронна зміна валентності у радикальних реакціях окиснення є малоімовірною ($\text{Ni}^{2+}, \text{Zn}^{2+}, \text{Cd}^{2+}, \text{Mo}^{2+}, \text{V}_{\text{O}}^{2+}$); YH – центри координації з металом ($\text{NH}_2, \text{O}_2, \text{NH}, \text{OH}, \text{NOH}, \text{H}; \text{X} = \text{O}, \text{S}, \text{N}, \text{COO}^-$) [2, 81–83, 90], які є також реакційними центрами [83]. Тому під час обриву ланцюгів окиснення спостерігаються використання YH-груп і утворення відповідних Y-центркованих радикалів (5):



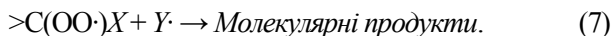
де $\text{X} = \text{NH}_2, \text{OH}, \text{NHR}$.

Y-центркований радикал, що утворюється, здатний відновлюватися іншим радикалом $>\text{C}(\text{OO}^{\cdot})\text{X}$, регенеруючи таким чином вихідний комплекс (6) [2, 81–83]:



Але він може використовуватися і в необоротних

реакціях рекомбінації з пероксильною групою, перетворюючись у молекулярні продукти (7):



Із почергових окисно-відновних реакцій (5) і (6) складається каталіз реакцій обриву ланцюгів, а реакція (7) призводить до дезактивації інгібітору [18].

Даний механізм справджується і у випадках, коли центри координації YH попередньо не містяться у металокомплексі ML_n , але утворюються в результаті координації між ML_n і органічною речовиною, що містить групу YH [2, 79, 81]:



Джерелом YH -груп є органічні інгібітори окиснення (хіони, ароматичні аміні, оксими, алкілфеноли тощо). При сумісному введенні до складу нафтопродуктів комплексів ML_n і органічних інгібіторів виявлено неадитивну інгібуючу дію (синергетичний ефект) [2].

Комpleксы металів із координаційним вузлом $M[\text{YH}, \text{Z}]_n$ здійснюють не тільки реакцію обриву ланцюгів, а й каталіз розпаду гідропероксидів без утворення вільних радикалів або з дуже низькою імовірністю їх утворення [18].

Антиокиснювальну ефективність сульфоланвмісних металокомплексів та їх композицій оцінено за періодом гальмування τ на кінетичній кривій поглинання кисню досліджуваними нафтопродуктами [3, 34].

Для досліджень антиокиснювальної дії металокомплексів використано сполуки, розчинні у нафтопродуктах за температури 25–80 °C у концентраціях не нижче 0,1 % (мас.); як правило, концентрація антиокиснювальних присадок в оливах і пластичних мастилах становить 0,1–2,0 % (мас.).

Як базові мастила [3, 7] використано:

- 1) вуглеводневі оливи: індустріальну ВИ-2 та И-2 (ТУ 38.101308-78), авіаційну ИПМ-10 [49–51];
- 2) авіаційну оливу на основі естерів пентаеритриту і синтетичних жирних кислот фракції СЖК $C_5\text{-}C_9$ (ТУ 38.101295-75) [30, 32, 43, 44, 55];
- 3) базове пластичне мастило СЕДА, одержане на основі естерів пентаеритриту і фракції СЖК $C_5\text{-}C_9$ (ТУ 38.401510-85) [30, 44];
- 4) дізооктилсебацинат (естерна олица) (ДОС, ТУ 38. 8728-87) [33];
- 5) ріпакову олію (РО) [33].

Окиснення олив і пластичних мастил відбувається за радикально-ланцюговим механізмом [3].

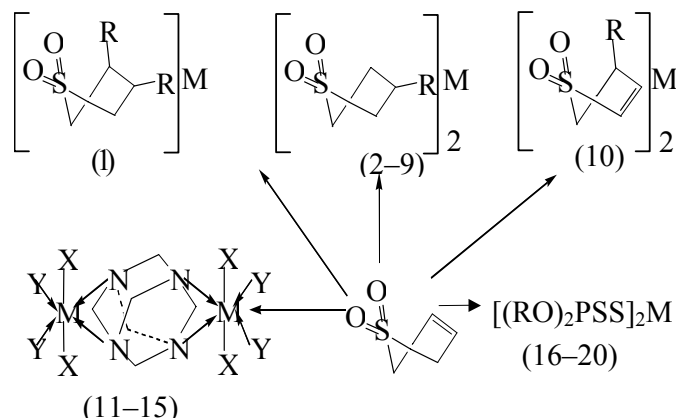
α -Оксипероксильні радикали генерували при ініційованому окисненні відповідних вуглеводнів і первинних амінів з використанням азобісізобутиронітрилу [3, 88], спиртів у розчинах *o*-дихлорбензолу [6], метилового естера олійової кислоти у CCl_4 та ДМСО з використанням азобісциклогексанітрилу [6].

Як еталони для порівняння використовували промислові та відомі з патентної літератури ефективні інгібітори окиснення: 2,6-дітретбутил-4-метилфенол

(іонол) – промислову присадку до нафтопродуктів (ТУ 38.10894-76) [6], *bis*(трифторацетилацетонат) кобальту ($[\text{TFA}]_2\text{Co}$) – інгібітор окиснення для синтетичних естерних мастил [2, 3, 5] та 4,4'-діоктилдифеніламін (ДАТ) – промислову присадку до синтетичних естерних мастил (ТУ 38.401175-82) [6].

Досліди проводили на газометричному приладі [88] за температури 75–180 °C та $\text{Po}_2 = 0,1 \text{ МПа}$. У кінетичному режимі окиснення прилад дозволяє вимірювати швидкості поглинання кисню від 10^{-8} до 10^{-4} моль/(л·с) при мінімальному окисненні RH від 0,1 до 1,0 % відповідно. При цьому помилка вимірювань становить 5–8 %.

Об'єктами дослідження у роботах [27–58] є металокомплекси, що містять такі сульфоланвмісні ліганди, як ацетати (1, 2, 10), амінокарбоксилати (3–5), азометини (6, 7), дитіокарбамідати (8), дитіокарбазинати (9), а також відомі з літератури і вперше синтезовані авторами *bis*(органодитіофосфати) металів (16–20) і металокомплекси на основі уротропіну (11–15):



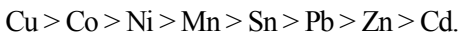
де R: CH_2COO^- (1, 2, 10); $\text{NHCH}_2\text{COO}^-$ (L: H (3); $\text{CH}(\text{CH}_3)_2$ (4); $\text{CH}_2\text{CH}(\text{CH}_3)_2$ (5); N = $\text{CH}_2\text{C}_6\text{H}_4\text{O}^-$ -o (6); $\text{NHN} = \text{CHC}_6\text{H}_4\text{O}^-$ -o (7); NHCSS^- (8); NNHCSS^- (9); X: Cl, Y: сульфолан (11); ДМСО (12); ДМФА (13); ацетонітрил (14); івін (15); *изо*- C_3H_7 (16); *н*- C_4H_9 (17); *трет*- C_4H_9 (18); C_6H_{11} -цикло (19); 2-сульфолен-4-ін (20); M: Ca, Sr, Ba, Sn, Pb, Cu, Zn, Cd, Mn, Fe, Co, Ni.

Для металокомплексів ML_n характерні такі особливості: різна природа центрального атома M при однаковому ізолігандному оточенні L ; різні природа координаційного вузла та просторова будова лігандного оточення.

Природа центрального атома. Слід зазначити, що *s*- (Ca, Sr, Ba) та *p*-елементи (Sn, Pb) утворюють не досить міцні комплекси загальної будови ML_n . Серед *d*-елементів (Cu, Zn, Cd, Mn, Fe, Co, Ni) перший з перелічених може втрачати 1 або 2 електрони з *d*-шару, в результаті чого утворюються дво- і навіть тривалентні комплекси купруму, що практично неможливо для Zn і Cd. Оскільки ці елементи не виявляють змінної валентності і не утворюють сполук, у яких *d*-шар був би незавершеним, їх розглядають як неперехідні (або

постперехідні) елементи. Подібність до перехідних елементів Zn і Cd пов'язана із схильністю до комплексоутворення, хоча у них і не спостерігається ефект стабілізації полем ліганду. Mn^{2+} утворює численні комплекси, але константи їх утворення у водних розчинах у порівнянні з Cu^{2+} і Fe^{2+} є незначними, тому що він має найбільш великий іон серед цих елементів і енергія стабілізації у полі лігандів для нього, як правило, дорівнює нулю [92].

Нами встановлено [30], що сульфоланвмісні комплекси металів більш ефективні як антиоксиданти, ніж як вільні ацидоліганди LH . Так, за концентрації $[CuL_2] \approx \approx 0,5 [LH]$ період індукції для $bis(сульфолан-3i\pi-$ ацетату) купруму в 7,6 раза більше, ніж для вільного ліганду. У роботі [33] показано, що антиокиснювальна ефективність комплексів металів у складі як оліви, так і пластичного мастила змінюється у такому ряду металів:



Тобто, для комплексів металів загальної формули ML_2 , які мають однакове ацидолігандне оточення L , але відрізняються природою центрального атома M , їх антиокиснювальна ефективність змінюється, як правило, у такій послідовності M (див. характерний приклад у табл. 1, 2) [30, 33, 41, 49, 51]:



Таблиця 1. Антиокиснювальна ефективність комплексів металів (2, 6–9) у складі базової оліви на основі естерів пентаеритриту та монокарбонових кислот фракції СЖК С₅–С₉ за температури 180 °C та початкової концентрації ML_2 – 0,5 % (мас.)

ML_2^*	Період індукції τ^{**} , хв				
	(2)	(6)	(7)	(8)	(9)
CuL_2	76	85	145	168	221
CoL_2	54	68	127	140	197
NiL_2	24	36	92	72	98
MnL_2	–	–	86	–	–
FeL_2	–	–	64	–	–
PbL_2	–	31	43	–	56
ZnL_2	–	29	37	–	49
CdL_2	12	–	20	76	39
SrL_2	–	–	11	–	–

*Точність у вимірах $\tau = \pm 8$ % (відн.).

**При $\tau = 18$ (іонол), 43 (ДАТ) при початкових концентраціях 0,5 % (мас.).

Згідно з показниками табл. 1, антиокиснювальна ефективність комплексів (7) змінюється в такому ряду металів:



Таблиця 2. Антиокиснювальна ефективність металокомплексів (16) залежно від природи металу в складі углеводневих олів ВИ-2 і ИМП-10; концентрація присадок – 5,2·10⁻³ моль/л (період індукції τ , хв) [49, 51]

Оліва	[(изо-C ₃ H ₇ O) ₂ P(S)S] ₂ M						
	Co	Ni	Zn	Cu	Cd	Ba	Ca
ВИ-2 (140 °C)	104±4	69±4	35±3	30±1	22±2	15±2	13±3
ИМП-10 (160 °C)	140±5	86±4	45±3	–	37±3	29±2	–

За даними табл. 2, антиокиснювальна ефективність металокомплексних присадок (16) змінюється залежно від природи центрального атома, зменшуючись у такому ряду металів:



Тобто найефективнішими є сполуки перехідних металів (кобальту, николу, купруму), а також постперехідних металів (цинку, кадмію). Отже, під час підбору антиокиснювальних присадок до нафтопродуктів мають значення не тільки широко досліджувані сполуки неперехідних, а й сполуки перехідних і постперехідних металів. Особливістю досліджуваних металокомплексних присадок є і те, що їх антиокиснювальну ефективність можна регулювати у широкому діапазоні, змінюючи центральний атом M . Наприклад, крайні значення величин τ для отриманого ряду присадок (16) у базовій оліві ВИ-2 відрізняються у 8 разів. Слід зазначити, що антиокиснювальна ефективність комплексів перехідних металів вища, ніж присадки іонолу та $bis(трифторацетилацетонату)$ кобальту [2] (рис. 1) [32].

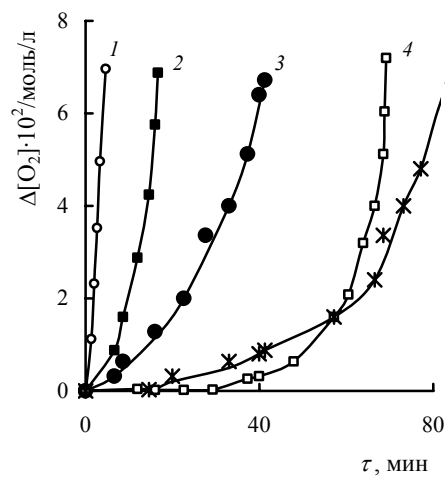


Рис. 1. Кінетика поглинання кисню мастилом за температурою 180 °C: 1 – за відсутності антиоксидантів; 2 – 0,5 % (мас.) 2,4-ди-трет-бутил-4-метилфенолу; 3 – 0,5 % (мас.) 4,4'-диок-тилдифеніламіна; 4 – 0,5 % (мас.) комплексу купруму формулі (2); 5 – 0,5 % (мас.) комплексу купруму формулі (6)

Отже, комплекси перехідних металів (купруму, кобальту, николу, мангну тощо) є найперспективнішими для пошуку нових присадок до мастил, що виявляють

антиокиснювальну дію.

Природа координаційного вузла. Крім природи центрального атома на величину τ може впливати і лігандне оточення. Залежно від природи останнього τ змінюється у такому ряду похідних сульфолану: (9) > (8) > (7) > (6) > (2) > (1) [33]. Але вплив природи координаційного вузла у порівнянні з таким центрального атома металокомплексу є менш істотним.

Для порівняння впливу природи лігандного оточення нами досліджено металокомплекси з різною природою координаційного вузла: $M[O,O]_n$ – сульфолан- та сульфоленацетати (1, 2, 10); $M[S,S]_n$ – дитіокарбамідати (8), дитіокарбазинати (9) та дитіофосфати (16–20); $M[N,N]_n$ – комплекси на основі уротропіну і ацетонітрилу (14) та дендримерні металокомплекси [93]; $M[N,O]_n$ – амінокислоти (3–5), азометини (6, 7) та комплекси на основі уротропіну і сульфолану (11), ДМСО (12), ДМФА (13) або івіну (15).

Результати залежності антиокиснювальної ефективності від природи координаційного вузла зведені у табл. 3 і 4.

Таблиця 3. Антиокиснювальна ефективність присадок у складі базового мастила на основі естерів пентаеритриту та СЖК C_5-C_9 за температури 180 °C і початковій концентрації $ML_2 - 0,5\%$ (мас.) [44]

Ліганд, L	Координаційний вузол	Період індукції τ , хв			
		CuL_2	CoL_2	NiL_2	CdL_2
(8)	$M[S,S]_2$	168	140	72	76
(2)	$M[O,O]_2$	76	54	24	12
(6)	$M[O,N]_2$	85	68	36	–

Згідно з даними табл. 3, комплекси металів, які мають у координаційній сфері фрагменти атомів сульфуру та нітрогену з рухливим атомом гідрогену (NH), очевидно, реакційноздатні по відношенню до вільних радикалів і тому найефективніші серед досліджуваних сполук [33].

Металокомплексні сполуки, що містять координаційний вузол $M[S,S]_2$ майже втрічі ефективніші за сполуки з координаційним вузлом $M[O,O]_2$.

Таблиця 4. Антиокиснювальна ефективність присадок у складі базового пластичного мастила на основі естерів пентаеритриту за температури 180 °C і початковій концентрації $ML_2 - 2,0\%$ (мас.) [35, 55]

Ліганд L	Координаційний вузол	Період індукції τ , хв			
		CuL_2	CoL_2	NiL_2	CaL_2
(16)	$M[S,S]_2$	175	–	170	19
(3)	$M[O,N]_2$	83	60	52	–
(4)	$M[O,N]_2$	48	–	–	–
(5)	$M[O,N]_2$	35	–	–	–

Антиокиснювальна ефективність металокомплексів при однаковому координаційному вузлі залежить та-

кох від просторової будови ліганду (табл.4).

З метою вивчення впливу природи координаційного вузла металокомплексів в об'ємних лігандах на гомогенний каталіз радикальних реакцій нами досліджено каталіз обриву ланцюгів окиснення первинних амінів фталоціанінвмісним дендримером кобальту та його низькомолекулярним аналогом [93].

Встановлено, що дендримерний фталоціаніновий комплекс кобальту і його низькомолекулярний аналог інгібують окиснення аліфатичних амінів (рис. 2, табл. 5).

Знайдено, що реакційна здатність пероксильних радикалів циклогексиламіну істотно залежить від стеричних ефектів об'ємного ліганду (табл. 5) [93].

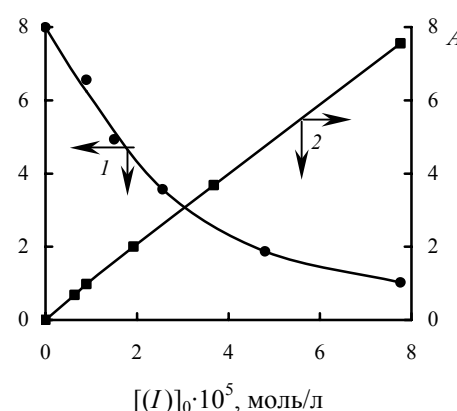


Рис. 2. Залежність швидкості окиснення циклогексиламіну (1) і параметра A від початкової концентрації фталоціанінвмісного дендримерного комплексу кобальту (2) за температури 75 °C і $W_i = 8,0 \cdot 10^{-7}$ моль/(л·с)

Таблиця 5. Залежність реакційної здатності пероксильних радикалів цикло- $C_6H_{11}(OO^\cdot)NH_2$ від координаційного вузла комплексів кобальту загальної формули CoL_n (за температури 75 °C)

Ліганд	Координаційний вузол	k
Дендример [93]	$M[N,N]_2$	$(1,6 \pm 0,3) \cdot 10^4$
Фталоціанін [93]	$M[N,N]_2$	$(1,1 \pm 0,4) \cdot 10^6$
Сульфолан-3-іл- ацетат [13]	$M[O,O]_2$	$(6,9 \pm 0,3) \cdot 10^5$
Сульфолан-3-іл- дитіокарбамат [14]	$M[S,S]_2$	$(4,4 \pm 0,3) \cdot 10^6$
Сульфолан-3-іл- аміноацетат [15]	$M[N,O]_2$	$(5,4 \pm 0,3) \cdot 10^6$

Отже, згідно з даними табл. 4 і 5, на антиокиснювальну ефективність металокомплексів впливають як природа координаційного вузла, так і стеричні ефекти лігандів.

Стеричні властивості лігандного оточення. Авторами [49, 51] проведено дослідження залежності антиокиснювальної ефективності металокомплексів (16–20)

від стеричних властивостей замісників R у лігандах. Характерною особливістю їх будови є те, що вони мають близькі полярні характеристики замісників R , але суттєво відрізняються за об'ємом (табл. 6).

Таблиця 6. Залежність антиокиснювальної ефективності металокомплексів (16–19) від стереохімії замісників R лігандів у складі оліви ВИ-2 (концентрація присадок – $5 \cdot 10^{-3}$ моль/л)

Показник	Замісник R у $[(RO)_2P(S)S]_2Ni$			
	<i>изо</i> - C_3H_7	<i>цикло</i> - C_6H_{11}	<i>н</i> - C_4H_9	<i>трет</i> - C_4H_9
Період гальмування τ , хв (140 °C)	69 ± 4	43 ± 3	50 ± 2	29 ± 3
Стерична константа, V_R [94]	0,68	0,87	1,02	1,24

Отже, антиокиснювальна ефективність присадок (16–19) зростає у такому ряду замісників R координованих лігандів: *изо*- $C_3H_7 > н$ - $C_4H_9 > *цикло*- $C_6H_{11} > *трет*- C_4H_9 , який збігається з рядом зменшення просторового екронування замісниками R у координованому ліганді центрального атома, що характеризується стеричними константами Чартона V_R .$$

Електронна природа замісників у координованих лігандах. Вплив на антиокиснювальну ефективність металокомплексів ML_n електронної природи замісників у координованих лігандах, спряжено зв'язаних з координаційним вузлом, проведено на прикладі азометинів загальної формули $[2-(4-R-C_6H_4N=CH)C_6H_4O]_2Cu$ (табл. 7) [31].

Таблиця 7. Залежність реакційної здатності пероксидних радикалів *цикло*- $C_6H_{11}(OO\cdot)NH_2$ з металокомплексами загальної формули $[2-(4-R-C_6H_4N=CH)C_6H_4O]_2Cu$ від природи замісника R і поляграфічного потенціалу відновлення металокомплексу ($E_{1/2}$) за температури 75 °C

Замісник R	NO_2	H	OH	OCH_3	CH_3	<i>трет</i> - C_4H_9	k_1 , л/(моль·с)	$E_{1/2}$ (піридин), В	$2,8 \cdot 10^8$	$1,5 \cdot 10^8$	$9,0 \cdot 10^7$	$8,0 \cdot 10^7$	$8,5 \cdot 10^7$	$7,0 \cdot 10^7$
									-0,04	-0,08	-0,12	-0,20	-0,24	-0,25

Величини k_1 збільшуються відповідно до посилення електронно-акцепторних властивостей замісників R у ліганді, сполучених з центральним атомом. Наприклад, заміна замісника R з *трет*- C_4H_9 в імінокомпоненті досліджуваного комплексу на більш електронно-акцепторний замісник NO_2 призводить до збільшення k_1 у 4 рази.

Антиокиснювальні властивості металокомплексних сполук залежать також від будови α -пероксильного радикала та концентрації металокомплексу в мастилі.

Вплив будови пероксильного радикала. Нами вперше досліджено реакційну здатність α -оксипероксиль-

них радикалів загальної формули: $RHC(OO\cdot)OH$, де R : *н*- C_3H_7 (I), C_6H_{13} (II), C_5H_{11} (III), $(CH_3)_3CCH_2$ (IV) із сульфолан-3-*ил*-ацетатом купруму [29] (табл. 8) та $C_6H_5CH(OO\cdot)R$ (R : *H*, CH_3 , *изо*- C_3H_7 , *н*- C_4H_9 , *трет*- C_4H_9) з комплексом ніколу (NiL_2) [51, 52].

Таблиця 8. Параметри реакційної здатності α -оксипероксильних радикалів $RCH(COO\cdot)OH$ з комплексом купруму (2) за температури 75 °C (концентрація спирту в *α*-дихлорбензолі – 80 % (об.))

Замісник у $RCH(COO\cdot)OH$	$k_t \cdot 10^6$, л/(моль·с)	$k \cdot 10^6$, л/(моль·с)	V_R [3]
<i>н</i> - C_3H_7	$2,2 \pm 0,3$	$18,1 \pm 0,3$	0,68
<i>н</i> - C_6H_{13}	$2,0 \pm 0,2$	$4,3 \pm 0,1$	0,73
<i>н</i> - C_5H_{11}	$1,2 \pm 0,1$	$1,1 \pm 0,1$	1,00
$(CH_3)_3CCH_2$	$0,8 \pm 0,2$	$0,3 \pm 0,1$	1,34

Характерною рисою хімічної будови досліджуваних пероксильних радикалів є те, що електронні властивості замісників R (полярні, резонансні), крім $R = H$, є близькими, тоді як за об'ємом вони значно відрізняються [94].

За реакційною здатністю досліджувані пероксильні радикали з комплексом купруму розміщуються в такому ряду: I > II > III > IV, який збігається з рядом зменшення просторового екронування замісників R у пероксильному радикалі, який характеризується стеричними константами Чартона V_R [94].

Таблиця 9. Антиокиснювальна ефективність комплексів купруму у складі базової оліви та мастила СЕДА на основі естерів пентаеритриту, монокарбонових кислот фракції C_5 – C_9 за температури 180 °C

Сполука	Базова оліва		Мастило	
	Концентрація присадки, % (мас.)	τ , хв	Концентрація присадки, % (мас.)	τ , хв
–	0	4 ± 1	0	9 ± 2
Іонол	0,5	18 ± 2	0,5	60 ± 3
ДАТ	0,5	43 ± 2	0,5	100 ± 4
(2)	0,1	16 ± 1	–	–
(2)	0,2	33 ± 2	0,2	30 ± 2
(2)	0,5	76 ± 3	0,5	72 ± 2
(2)	1,0	134 ± 4	2,0	260 ± 4
(8)	0,1	65 ± 1	–	–
(8)	0,2	80 ± 3	0,2	66 ± 2
(8)	0,5	168 ± 3	0,5	114 ± 3
(8)	1,0	190 ± 4	1,0	201 ± 4

Відомо, що акту взаємодії пероксильного радикала з комплексами переходних металів передує стадія їх комплексоутворення біля центрального атома [18]. У межах цих уявлень даний ряд реакційної здатності пероксильних радикалів з комплексом купруму пов'язаний, певне, із зменшенням здатності до координації досліджуваних пероксильних радикалів (I)–(IV) біля

атома купруму комплексу CuL₂ завдяки зменшенню просторового екранування замісниками реакційного центру – пероксильної групи.

Вплив концентрації металокомплексу. Залежність антиокиснювальної ефективності сульфоланвмісних металокомплексів від їх концентрації розглянуто у роботах [30, 44]. Встановлено, що характерною особливістю інгібованого окиснення мастильних матеріалів є збільшення періоду індукції пропорційно концентраціям комплексів металів (табл. 9).

Аналіз проведених досліджень свідчить про те, що сульфоланвмісні комплекси металів можуть бути застосовані для розробки нових інгібторів радикально-ланцюгового окиснення органічних сполук – важливої напрямку багатьох галузей сучасної нафтохімічної, нафтопереробної, біохімічної та хімічної промисловості.

Література

1. Оганян Г., *Економіка України*, 1999, (11), 56–58.
2. Ковтун Г.А., Беренблюм А.С., Моисеев И.И., *Металлодержащие антиоксиданты к нефтепродуктам*, Москва, ЦНИИТЭнефтехим, 1978.
3. Ковтун Г.А., Моисеев И.И., *Металлокомплексные ингибиторы окисления*, Киев, Наук. думка, 1993.
4. Ковтун Г.А., Плужников В.А., *Кислоты Льюиса – стабилизаторы окисления органических соединений*, Киев, ИБОНХ НАН Украины, 1994.
5. Ковтун Г.А., Плужников В.А., *Химия и технология металлокомплексных стабилизаторов окисления*, Киев, ИБОНХ НАН Украины, 1994.
6. Ковтун Г.А., Плужников В.А., *Химия ингибиторов окисления органических соединений*, Киев, Наук. думка, 1995.
7. Йшук Ю.Л., *Технология пластичных смазок*, Киев, Наук. думка, 1986.
8. Главати О.Л., Бурлака Г.Г., Тараторин Ю.Т. и др., *Топлива и смазочные материалы для транспортных средств*, Справочник, Київ, Донеччина, 1997.
9. Матвеевский Р.М., Лахши В.Л., Буяновский И.А. и др., *Смазочные материалы. Антифрикционные и противоизносные свойства, методы испытаний*, Справочник, Москва, Машиностроение, 1989.
10. Чертков Я.Б., Виппер А.Б., *Катализ и нефтехимия*, 1995, (1), 12–15.
11. Суховєєв В.В., *Там же*, 2000, (7), 55–62.
12. Бовыкин Б.А., Карцев В.Г., Омельченко А.М. и др., *Биоорганическая химия защиты растений*, Днепропетровск, 1991.
13. Суховєєв В.В., Сенченко Г.Г., Ковтун Г.О., *Металлокомплексы: фармакологічні властивості*, Київ, ИБОНХ НАН України, 1999.
14. Суховєєв В.В., Сенченко Г.Г., Ковтун Г.О., *Металлокомплексні сполуки – диригенти фотосинтезу*, Київ, ИБОНХ НАН України, 1997.
15. Суховєєв В.В., Сенченко Г.Г., Ковтун Г.О. та ін., *Металловмісні лікарські препарати*, Київ, ІБОНХ НАН України, 2000.
16. Ковтун Г.О., *Нефтехимия*, 1991, (31), 246–253.
17. Бушкова Е.С., Гарановский А.Д., *Изв. Сев.-Кавк. науч. центра высш. шк. Естеств. науки*, 1991, (1), 69–81.
18. Ковтун Г.А., *Теорет. и эксперим. химия*, 1993, (1), 3–18.
19. Суховєєв В.В., *Вісн. Терноп. пед. ун-ту*, 1997, 24–29.
20. Суховєєв В.В., *Наук. зап. НДПІ ім. М.В. Гоголя*, Ніжин, 1997, 126–134.
21. Суховєєв В.В., Москаленко О.В., Ковтун Г.О., *Катализ и нефтехимия*, 2000, (5–6), 81–87.
22. Суховєєв В.В., *Наук. зап. НДПІ ім. М.В. Гоголя*, Ніжин, 1998, 85–100.
23. Ковтун Г.О., Суховєєв В.В., *Укр. хім. журн.*, 2000, (9), 36–42.
24. Бушкова Е.Е., Гарновский А.Д., *Безызносность*, Ростов-на-Дону, 1990, 151–165.
25. Behr A., *Fett Wiss. Technol*, 1990, **92** (10), 375–388.
26. Ковтун Г.А., Моисеев И.И., *Координационная химия*, 1983, **9** (9), 1284.
27. Сенченко Г.Г., Суховєєв В.В., Лысенко Д.Л., Ковтун Г.А., *Кинетика радикальных жидкофазных реакций*, Тез. докл. Всесоюз. конф., Ярославль, 1990, 144.
28. Сенченко Г.Г., Суховєєв В.В., Ковтун Г.А., Лысенко Д.Л., Тез. докл. VII Нефтехим. симпоз., Київ, 1990, 270.
29. Ковтун Г.А., Сенченко Г.Г., Суховєєв В.В., Лысенко Д.Л., Докл. АН УССР, Сер. Б, 1990, (10), 48–49.
30. Сенченко Г.Г., Суховєєв В.В., Ковтун Г.А., *Нефтепереработка и нефтехимия*, 1991, **41**, 51–53.
31. Ковтун Г.А., Суховєєв В.В., Сенченко Г.Г., Лысенко Д.Л., Там же, 1994, **46**, 39–43.
32. Суховєєв В.В., Сенченко Г.Г., Ковтун Г.А., Там же, 1994, **46**, 43–46.
33. Суховєєв В.В., Сенченко С.Г., Сенченко Г.Г., Ковтун Г.О., *Наук. зап. НДПІ ім. М.В. Гоголя*, 1997, (1), 115–120.
34. Сенченко Г.Г., *Дис....канд. хім. наук*, ІБОНХ НАН України, Київ, 1993.
35. Суховєєв В.В., Ковтун Г.А., Швидко Е.В. и др., *Катализ и нефтехимия*, 1997, (3), 24–25.
36. Суховєєв В.В., Швидко О.В., Сенченко Г.Г., Ковтун Г.О., *Доп. НАН України*, 1998, (5), 146–149.
37. Суховєєв В.В., Швидко О.В., Ковтун Г.О., *Укр. хім. журн.*, 1999, **8** (65), 113–116.
38. Суховєєв В.В., Швидко О.В., Пустарнакова Г.Ф., Ковтун Г.О., *Доп. НАН України*, 1999, (2), 153–156.
39. Суховєєв В.В., Швидко Е.В., Пустарнакова Г.Ф., Ковтун Г.А., *Там же*, 2000, (1), 197–199.
40. Суховєєв В.В., Сенченко Г.Г., Ковтун Г.О., XVI

- Укр.конф. по орган. хімії, Тернопіль, 1992, 232.
41. Сенченко Г.Г., Суховеев В.В., Ковтун Г.О., *Доп. АН України*, 1992, (8), 139–142.
 42. Сенченко С.Г., Ліванська Г.М., Сенченко Г.Г., Суховеев В.В., Плужніков В.О., Ковтун Г.О., *Тез. доп. XVII Укр. конф. з орган. хімії*, Харків, 1995, 405.
 43. Сенченко Г.Г., Суховеев В.В., Ковтун Г.А., *Селективное окисление углеводородов и ресурсосбережение углеводородного сырья*, *Тез. докл. Всесоюз. конф.*, Харьков, 1991, 67.
 44. Сенченко Г.Г., Суховеев В.В., Ковтун Г.А., *Нефтепереработка и нефтехимия*, 1992, (43), 60–62.
 45. Суховеев В.В., Сенченко С.Г., Сенченко Г.Г., Ковтун Г.О., *Доп. НАН України*, 1997, (10), 160–162.
 46. Суховеев В.В., Ковтун Г.О., Сенченко С.Г., Сенченко Г.Г., *Катализ и нефтехимия*, Київ, 1997, (3), 20–23.
 47. Суховеев В.В., Сенченко С.Г., Сенченко Г.Г., Ковтун Г.О., *Доп. НАН України*, 1998, (1), 183–185.
 48. Ковтун Г.А., Жуковская Г.Б., Суховеев В.В., Кратко Г.А., *Синтез, технология и применение*, *Тез. докл. V конф.*, Дрогобич, 1992, 52–53.
 49. Ковтун Г.А., Жуковская Г.Б., Кратко Г.А., Суховеев В.В., *Докл. АН УССР*, 1991, (4), 105–107.
 50. Суховеев В.В., Кратко Г.А., Ковтун Г.А., *Селективное окисление углеводородов и ресурсосбережение углеводородного сырья*, *Тез. докл. Всесоюз. конф.*, Харьков, 1991, 68.
 51. Ковтун Г.А., Жуковская Г.Б., Кратко Г.А., Суховеев В.В., *Нефтепереработка и нефтехимия*, 1992, 43, 39–41.
 52. Кратко Г.А., Суховеев В.В., Жуковская Г.Б., Ковтун Г.А., *Доп. АН України*, 1992, (11), 140–143.
 53. Ковтун Г.А., Кратко Г.А., Суховеев В.В., Жуковская Г.Б., *Теорет. и эксперим. химия*, 1992, 28 (3), 236–238.
 54. Кратко Г.А., Суховеев В.В., Ковтун Г.А., *Тез. докл. IX Междунар. симп. по химии фосфатов*, С-Петербург, 1993, 53.
 55. Суховеев В.В., Москаленко О.В., Ковтун Г.О., Сенченко Г.Г., *Катализ и нефтехимия*, 2000, (4), 80–81.
 56. Москаленко О.В., Дис. ... канд. хім. наук, Київ, 2000.
 57. Сенченко Г.Г., Суховеев В.В., Ковтун Г.А., *Тез. докл. V Всесоюз. конф. по химии гетероцикл. соединений*, Черноголовка, 1991, 122.
 58. Ковтун Г.А., Плужников В.А., Пилявский В.С. и др., *Доп. НАН України*, 1995, (4), 88–90.
 59. Безменова Т.Э., *Химия тиолен-1,1-диоксида*, Киев, Наук. думка, 1981.
 60. Сахаров А.М., Скибида И.П., *Изв. АН СССР, Сер. хим.*, 1995, (10), 1952–1958.
 61. Украинцев В.Б., Потехин В.В., *Журн. общ. химии*, 1995, 65 (6), 894–897.
 62. Pei Li, Howarrd A., *J. Mol. Catal.*, 1992, 72 (2), 143–152.
 63. Keiji M., Yoshiki S., *Chem. Lett.*, 1991, (5), 813–816.
 64. Cabrera Q., Perez A., Xochitemol A. et al; *Afinidad*, 1991, 48 (431), 55–58.
 65. Martinez de la Cuesta Pedro J., *Rus Martinez Eloisa, Carrillo Antonio Socias, Afinidad*, 1991, 48 (431), 32–34.
 66. Hata Hitoshi, Idemitsu Kosan Co. Ltd., *Pat. 5133886 USA*, Заявл. 21.08.90.
 67. Присянюк А.И., Багрицкий В.В., Харитонов В.В., Маргашук О.В., *Тез. докл. XVII Всесоюз. Чугаевского совещ. по химии комплекс. соедин.*, Минск, 1990, 1, 58.
 68. Ковтун Г.А., Кузьменко А.И., Лысенко Д.Л., *Докл. АН УССР*, 1991, (5), 123–126.
 69. Мазалецкий А.Б., Виноградова В.Г., *Научно-технический прогресс в химии топлив и смазочных материалов*, *Тез. докл. Всесоюз. науч.-техн. конф.*, Днепропетровск, 1990.
 70. Виппер А.Б., Ершова А.И., Балан Г.М., Бауман В.Н., *Нефтепереработка и нефтехимия*, 1994, (12), 25–28.
 71. Minami Ichiro, Matsumoto Keisuke, Okabe Heihachiro, *J. Jap. Petrol. Inst.*, 1995, 38 (1), 19–24.
 72. Ковтун Г.А., *Тез. докл. VII нефтехим. симп.*, Киев, 1990, 17.
 73. Титова Ю.В., Венедиктов Е.А., Липатов Н.Г., Туликова Е.Ю., *Тез. докл. I Междунар. конф. по биокоординационной химии*, Иваново, 1994, 147.
 74. Шелкова Р.Г., Кузьмина Г.Н., Паренаго О.П., *Тез. докл. VII нефтехим. симп.*, Киев, 1990, 267.
 75. Ковтун Г.А., *Долговечность труящихся деталей машин*, 1990, (5), 122–135.
 76. Шелкова Р.Г., Кузьмина Г.Н., Сапин П.И., Паренаго О.П., *Кинетика и катализ*, 1990, 31 (5), 1246–1250.
 77. Bakas A., Espenson J.H., *Mors. Chem.*, 1995, 34, (7), 1730–1735.
 78. Parshal G.W., Review I. *Molek. Catalysis*, 1978, (4), 243.
 79. Эмануэль Н.М., *Нефтехимия*, 1982, 12 (4), 435.
 80. Александров А.Л., Денисов Е.Т., *Изв. АН СССР, Сер. хим.*, 1969, (8), 1652.
 81. Ковтун Г.А., Моисеев И.И., *Хим. пром-сть*, 1983, (2), 71.
 82. Моисеев И.И., Ковтун Г.А., *Химическая связь и строение молекулы*, Москва, Наука, 1984.
 83. Ковтун Г.А., Моисеев И.И., *Координационная химия*, 1983, 9 (9), 1155.
 84. Ковтун Г.А., Александров А.Л., *Изв. АН СССР, Сер. хим.*, 1973, (11), 2611.
 85. Могилевич М.М., Плисс Е.М. *Окисление и окислительная полимеризация непредельных соединений*, Москва, Химия, 1990.
 86. А.с. СССР N 533605, 1976, Открытия, пром. образцы, товарные знаки, 1976, № 24.
 87. Денисов Е.Т., *Успехи химии*, 1971, 40 (1), 43.

88. Эмануэль Н.М., Денисов Е.Т., Майзус З.К., *Цепные реакции окисления углеводородов в жидкой фазе*, Москва, Наука, 1964.
89. Ковтун Г.А., Беренблом А.С., Моисеев И.И., *Изв. АН СССР, Сер. хим.*, 1981, (7), 1495.
90. Ковтун Г.А., *Долговечность труящихся деталей машин*, Москва, Машиностроение, 1990.
91. Бурлакова Е.Б., Алексеенко А.В., Мочкина Е.М. и др., *Биоантиоксиданты в лучевом поражении и злo-* качественном росте, Москва, Наука, 1975.
92. Коттон Ф., Уилкинсон Дж., *Современная неорганическая химия*, Часть 2, Москва, Мир, 1969.
93. Ковтун Г.О., Суховеев В.В., *Катализ и нефтехимия*, 2001, (7), 21–23.
94. Charton M., *J. Amer. Soc.*, 1975, **97** (6), 1552–1556.

Надійшла до редакції 4 травня 2001 р.

Металлокомплексные соединения на основе производных сульфолена-3: антиокислительная эффективность

V.V. Суховеев^a, Г.А. Ковтун^b

^a*Нежинский государственный педагогический университет им. Николая Гоголя,
Украина, 16602 Нежин, ул. Крапивянского, 2; факс: (04631) 2–23–27;*

^b*Институт биоорганической химии и нефтехимии НАН Украины,
Украина, 02094 Киев, ул. Мурманская, 1; факс: (044) 573-25-52*

Обобщены исследования антиокислительной эффективности сульфоланодержащих металлокомплексов. Сделаны выводы относительно характера влияния на антиокислительное действие природы центрального атома *M*, координационного узла, стерических свойств заместителей в составе ацидолиганды, электронной природы заместителей в координированных лигандах и концентрации металлокомплекса.

Metalcomplexes on the basis of sulfolene-3 derivatives: antioxidative ability

V.V. Sukhoveev^a, G.A. Kovtun^b

^a*Gogol State Pedagogical University of Nizhyn,*

2, Krapivjanskii Str., Nizhin, Chernigiv Region, Ukraine 16602; Fax: (04631) 2–23–27;

^b*Institute of Bioorganic Chemistry and Petrochemistry, National Academy of Sciences of Ukraine,
1, Murmanska Str., Kyiv, 02094, Ukraine, Fax: (044) 573-25-52*

The results of investigation of antioxidative ability of sulpholane containing metall complexes have been generalized. Conclusions have been made on the nature of the central atom *M*, coordinative knot, steric properties of substituents of acydoligand, electronic properties of substituents in coordinative ligands and concentration of the metalcomplexes on their antioxidative action.

Катализ обрыва цепей окисления органических соединений кластерами металлов

Г.А. Ковтун

Институт биоорганической химии и нефтехимии НАН Украины,
Украина, 02094 Киев, ул. Мурманская, 1; факс: (044) 573-25-52

Обобщены известные и изложены новые результаты, касающиеся механизмов катализа обрыва цепей окисления органических соединений кластерами металлов.

Среди полиядерных координационных соединений металлов активно проводятся синтез и исследование каталитических свойств химических соединений, молекулы которых содержат остов, состоящий из атомов металлов, соединенных прямыми связями металл–металл [1, 2]. Соединения этого класса называют кластерными (от англ. cluster – гроздь, рой, скопление) [2]. Кластерный катализ сегодня стал одним из ведущих направлений в катализе химических реакций [1–3].

К основным химическим реакциям, которые катализируются кластерами металлов, относятся: ацетоксилирование этилена, пропилена и толуола [1]; окисление спиртов кислородом [1, 4, 5]; позиционная и геометрическая полимеризация олефинов [1, 6–9]; гидрирование непредельных соединений [11–15]; активация Н-Н- и С-Н-связей [3, 16]; олигомеризация олефинов [17, 18]. Исследуемые кластерные катализаторы благодаря наличию в составе их остова металлов в необычных степенях окисления, прямых связей металл–металл и неклассически координированных лигандов проявляют новую и часто уникальную каталитическую способность (специфичность, активность, селективность, стереоселективность), отличную от мононуклеарных и чисто металлических катализаторов.

В ряде наших работ, например [19–22], выявлено неординарное явление в химии кластеров металлов и в радикально-цепных реакциях окисления – катализ обрыва цепей кластерами металлов: безлигандными, малыми (гомоцепными, циклическими, каркасными), гигантскими. Это приводит к длительному торможению процессов окисления органических соединений и материалов на их основе (нефтепродуктов, липидов). Для ряда таких реакций исследованы кинетические закономерности, состав промежуточных и конечных продуктов каталитических превращений С- и О-центрированных свободных радикалов. На основе этих данных впервые предложены механизмы кластерного катализа, которые сравнены с таковыми для ранее исследованных моноядерных комплексов металлов [23, 24]. Эти результаты важны для решения как проблемы антиокислительной стабилизации органических материалов, так и для решения задач управления глубиной и селективностью протекания процессов окисления

органических соединений молекулярным кислородом, они также расширяют представления о химии кластеров металлов.

Таким образом, актуальная для координационной химии проблема реакционной способности кластерных соединений приобрела важное значение для развития исследований по созданию новых ингибиторов окисления органических и биоорганических соединений. С учетом полученных фундаментальных результатов нами начаты исследования прикладных аспектов обнаруженного явления (антиокислительные присадки к нефтепродуктам, катализаторы горения дизельных топлив и антидетонаторы к автомобильным бензинам). В итоге кластерный катализ реакций, ответственных за ингибирование радикально-цепных процессов окисления начал утверждаться как перспективное направление, развиваемое в Институте биоорганической химии и нефтехимии НАН Украины в кооперации со специалистами в области синтеза кластеров металлов академических и отраслевых институтов, а также ряда вузов.

В данной работе кратко обобщены известные к настоящему времени результаты кластерного катализа обрыва цепей окисления органических соединений и изложены наши последние результаты, касающиеся механизмов таких реакций.

Катализ обрыва цепей безлигандными кластерами металлов. Ультрадисперсные частицы металлов и их соединения (оксиды, сульфиды и др.), имеющие размер частиц до 300 Å, относятся к так называемым безлигандным кластерам металлов [2, 25, 26].

Дисперсные порошки металлов (диаметр частиц >300 Å) наряду с инициирующей [27, 28] проявляют и ингибирующую функцию в радикально-цепных реакциях окисления органических соединений – индивидуальных углеводородов [28], реактивных топлив [27], базовых смазочных масел [24, 29].

Примеры катализа обрыва цепей окисления органических соединений безлигандными кластерами металлов описаны в работах [19–22, 24]. Показано, что ультрадисперсные частицы Pd, Mo, W, Nb и Ni (диаметр частиц 230 ± 60 Å) способны длительное время ингибировать окисление углеводородов, спиртов, алифатических аминов. Отметим, что частицы Mo, W и Ni

получены путем быстрого термического разложения соответствующих карбонилов металлов и хранились в матрице адамантана, частицы Pd – при восстановлении $\text{Pd}(\text{CH}_3\text{COO})_2$ монооксидом углерода в вазелиновом масле [30].

На примере инициированного окисления этилбензола при 70 °C было показано, что чем больше начальная концентрация металла, тем сильнее его ингибирующее действие. В случае частиц Mo наблюдаемая скорость окисления (W) не зависела от интенсивности перемешивания реакционного раствора и парциального давления кислорода в интервале 0,02–0,1 МПа. Следовательно, обрыв цепей окисления протекает на поверхности молибдена (S) при участии носителей цепей – пероксильных радикалов. Параметр ингибирующего действия молибдена $W_o/W - W/W_o$ (где $W = W_o$ при $[S]_o = 0$) пропорционален $[S]^{1/3}$ – характерному кинетическому тесту, указывающему на диффузионный режим обрыва цепей окисления [27]. Оцененные брутто-стехиометрические коэффициенты обрыва цепей окисления этилбензола f (число пероксильных радикалов, обрывающихся на одном атоме металла, прежде чем W достигнет значения $W = W_o$ при $[S]_o = 0$) приведены в табл. 1 (методику оценки f см. в [27]).

Таблица 1. Брутто-стехиометрические коэффициенты обрыва цепей окисления этилбензола f ультрадисперсными частицами металлов M_n при 70 °C

M_n	Mo	W	Pd	Ni
f	>100	210 ± 30	80 ± 20	>250

Из этих данных следует, что параметр $f \gg 1$, т. е. ультрадисперсные частицы исследуемых металлов являются гетерогенными катализаторами обрыва цепей окисления этилбензола и других органических соединений [19–22, 24].

Каталит обрыва цепей окисления молекулярными кластерами металлов. В работах [19–22] при исследовании инициированного окисления индивидуальных органических соединений молекулярным кислородом (40–90 °C): алифатических аминов (циклогексил-, ди-*n*-бутил-, бензиламин), спиртов (циклогексиловый, *n*-октиловый, бензиловый), сульфоксидов (диметил-, диэтилсульфоксид) и винильных мономеров (стирол) – обнаружен каталитический обрыв цепей кластерами переходных металлов M_nL_x , ведущий к длительному торможению окисления, где M_nL_x находится в виде дисперсии или в растворенном состоянии.

В качестве объектов исследования использованы кластеры M_nL_x (табл. 2), имеющие различный состав металлоострова, $M_n = M_3 \div M_9$ (малые кластеры металлов: гомоцепные, циклические, каркасные) и $M_n = \text{Pd}_{561}$ (гигантские кластеры палладия [2]). Отметим, что термин “гигантский кластер” стал общепринятым [1, 2], когда соревнование за наращивание величины метал-

лоострова кластера приблизилось к разумному пределу возможностей метода рентгеноструктурного анализа.

Таблица 2. Брутто-стехиометрические коэффициенты обрыва цепей окисления циклогексиламина f при температуре 75 °C и $W_i = 7,5 \cdot 10^{-7}$ моль/(л·с)

Состав металлоострова $[M_n]$	Формула кластера M_nL_x	f
Fe ₃	Fe ₃ (PhC ≡ CPh) ₂ (CO) ₈	65 ± 8
Fe ₃	Fe ₃ (μ-NC ₆ H ₅) ₂ (CO) ₉	82 ± 10
Co ₃	Co ₃ (μ ₃ -CCH ₃)(CO) ₉	120 ± 9
Fe ₄	Fe ₄ (CO) ₄ (μ ₄ -NC ₂ H ₅)(μ ₄ -ONC ₂ H ₅)	>100
Fe ₄	[Fe ₄ (μ ₃ -S)(SC ₆ H ₅) ₄] ⁻	>20
Cu ₄	Cu ₄ [μ ₃ -S(S)P(OC ₃ H ₇ -изо) ₂] ₄	380 ± 10
Co ₄	Co ₄ (acac) ₄ (CH ₃ OH) ₄ [μ-(OCH ₃) ₄]	≈ 300
Fe ₅	[Fe ₅ (μ ₈ ^{BH} -C)(CO) ₁₅] ²⁻	85 ± 7
Fe ₅ Co	[Fe ₅ Co(μ ^{BH} -C)(CO) ₁₆] ²⁻	14 ± 4
Fe ₆	[Fe ₆ C(CO) ₁₆] ²⁻	> 10
Co ₆	Co ₆ (μ ^{BH} -C)(CO) ₁₂ (μ-S) ₂	> 40
Co ₆	[Co ₆ (μ ^{BH} -N)(CO) ₁₅] ⁻	>100
Co ₈	[Co ₈ (μ ^{BH} -C)(CO) ₁₈] ⁻	>100
Sn ₉	JSn(C ₆ H ₅) ₂ ·[Sn(C ₆ H ₅) ₂] ₇ -(C ₆ H ₅) ₂ SnJ	60 ± 8
Pd ₅₆₁	Pd ₅₆₁ Phen ₆₀ (OAc) ₁₈₀	> 30

Координированные лиганды в исследуемых кластерах металлов имеют реберную (μ), граневую (μ_3) и внутриструктурную (μ_m^{BH}) координации (m – число вершин, с которыми связан внутренний атом) [2]. При начальных концентрациях $[M_nL_x]_0 = 10^{-2}\text{--}10^{-6}$ моль/л наблюдается ингибирование инициированного окисления органических соединений (волнометрический метод поглощения кислорода окисляемым субстратом [23]). В отдельных опытах показано, что свободные органические лиганды, использованные при синтезе кластеров (Phen, AcOH, CH₃OH, C₂H₅NOH, acac), при концентрациях $\leq 10^{-2}$ моль/л не влияют на скорость инициированного окисления алифатических аминов и спиртов. Период торможения окисления кластерами M_nL_x во много раз превышает время однократного (стехиометрического) обрыва цепей (теоретический период индукции $\tau = n [M_nL_x]_0 / W_i$, где W_i – скорость инициирования цепей окисления азобисизобутиронитрилом). Так, при начальной концентрации кластера Cu₄[μ₃-S(S)P(OC₃H₇-изо)₂], равной $5 \cdot 10^{-5}$ моль/л, когда окисление ди-*n*-бутиламина заторможено в 10 раз, теоретический период индукции $\tau = 3$ мин. Но и после 3 ч проведения опыта скорость окисления W не изменяется, т. е. на одной молекуле исследуемого кластера обрывается более 60 реакционных цепей. Величины брутто-стехиометрических коэффициентов f , оцененные по этой методике в окисляющемся циклогексиламине при 75 °C, обобщены в табл. 2. Из анализа этих данных следует, что параметр $f \gg n$. Заметим, что для гигантских кластеров Pd₅₆₁ число атомов Pd, доступ-

ных на поверхности кластера для координации реагентов, близко к 20 [1].

На основании данных табл. 2 не удалось выявить характерные "кластерные особенности" в изменении брутто-параметров f по сравнению с таковыми для ранее изученных многочисленных моноядерных комплексов металлов [23, 24] – исследуемые кластеры M_nL_x (табл. 2) являются характерными катализаторами обрыва цепей окисления, обеспечивающими достаточно высокие значения параметров f . Возможные особенности катализа обрыва цепей, по-видимому, кроются в детальных механизмах катализа кластерами M_nL_x . Известные к настоящему времени механизмы катализа обрыва цепей окисления кластерами металлов изложены ниже.

Гигантский кластер палладия $Pd_{561}Phen_{60}(OAc)_{180}$

(I). Наличие таких особенностей в механизме действия кластеров металлов доказали уже первые результаты исследования механизма катализа обрыва цепей окисления бензилового спирта в присутствии гигантского кластера (I) [21, 22]. Синтез, строение и схема кластера (рис.1) детально рассмотрены в обзоре [1].

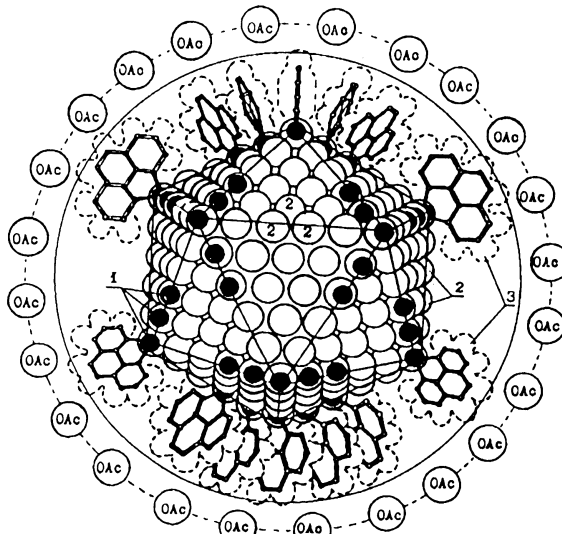


Рис. 1. Схема строения гигантского кластера (I): 1 – атомы Pd, координированные с лигандами Phen; 2 – атомы Pd, доступные для координации с анионами OAc^- или с молекулами субстрата; 3 – вандерваальсовы границы координированных молекул Phen

Скорость окисления бензилового спирта в присутствии 0,09 моль/л ледяной уксусной кислоты (добавка кислоты улучшает растворимость кластера (I), не влияя на механизм окисления спирта) не зависит от интенсивности перемешивания реакционной смеси и подчиняется уравнению (рис. 2, 3)

$$W = \text{const} [O_2]^0 W_i / [(I)]_0. \quad (1)$$

Выполнение уравнения (1) свидетельствует о том, что катализитический обрыв цепей окисления протекает с участием пероксильных радикалов ROO^\cdot ($R = C_6H_5C(OH)H$) [23].

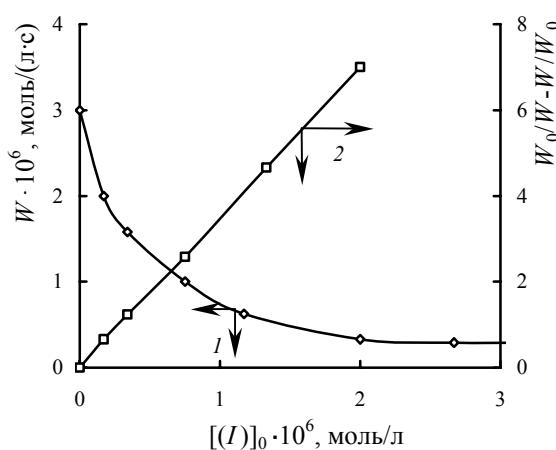


Рис. 2. Зависимость скорости окисления W (1) и параметра $W_0/W - W/W_0$ (2) от начальной концентрации (I) при температуре 50 °C и скорости инициирования $W_i = 3,0 \cdot 10^{-8}$ моль/(л·с)

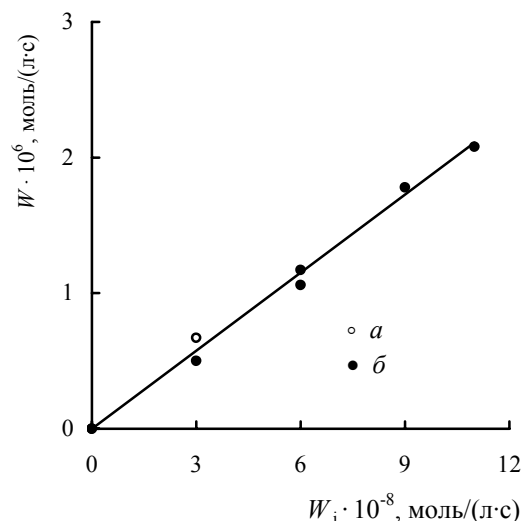
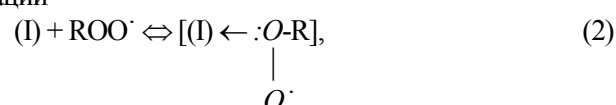
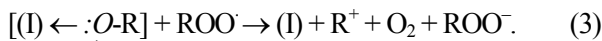


Рис. 3. Зависимость скорости окисления бензилового спирта при температуре 50 °C и $[I]_0 = 1,8 \cdot 10^{-6}$ моль/л от скорости инициирования W_i при парциальном давлении кислорода 0,02 (a) и 0,1 МПа (б)

При дальнейшем увеличении начальной концентрации кластера (I) скорость окисления стремится к своему предельному значению W_∞ (рис. 2). Длина цепи стабилизированного окисления $v = (W_\infty / W_i) = 12$ (рис. 2), т. е. процесс протекает в цепном режиме. Скорость окисления W_∞ так же, как и W , описывается уравнением (1), которое является кинетическим критерием [23], свидетельствующим о том, что акту гибели реакционной цепи предшествует стадия координации



повышающая электрофильность носителя цепи – пероксильного радикала – и облегчающая последующую стадию восстановления другого пероксильного радикала – ROO^{\cdot} :

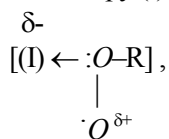


Молекулярные продукты

Основным молекулярным продуктом ингибиционного окисления бензилового спирта является бензальдегид (метод ГЖХ). Характерно, что бензойная кислота и другие кислородсодержащие соединения – продукты дальнейшего окисления бензальдегида – не образуются. Гидропероксид ROOH обнаружить не удалось, что связано, как было показано в независимых опытах, с оксидатом бензилового спирта, содержащим $\approx 4 \cdot 10^{-4}$ моль/л ROOH , с быстрым каталитическим распадом ROOH в присутствии кластера (I).

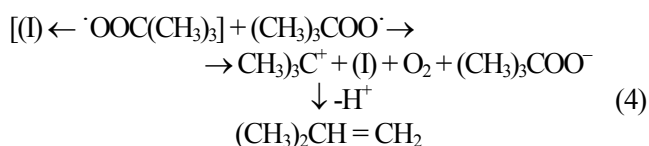
Из чередующихся стадий (2) и (3) складывается каталитический цикл обрыва цепей окисления ($f \gg 1$), в котором кластер (I) выполняет роль своеобразного “электронного медиатора” между двумя пероксильными радикалами. Моноядерные хелатные комплексы переходных металлов имеют иной механизм катализа обрыва цепей окисления спиртов – одноэлектронные превращения валентных форм центрального атома при их последовательном взаимодействии с α -оксипероксильными радикалами ($M^m \leftrightarrow M^{m+1}$) [23].

В соответствии с этой схемой при координации пероксильного радикала кластером (I) происходит частичный перенос электронной плотности неспаренного электрона от радикала к кластеру (I):

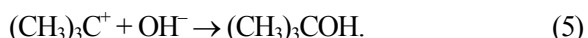


так как координированный пероксильный радикал сохраняет способность участвовать в продолжении цепей окисления ($W_{\infty} \gg W_i$) (рис. 2). Подчеркнем, что частичный или полный электронный перенос неспаренного электрона в O -центрированных радикалах при их координации ионами металлов – хорошо известное явление и в ряде случаев охарактеризовано количественно, например в работе [31].

Подтверждением протекания стадии (3) через промежуточное образование карбокатиона является образование изобутилена в системе $\{(\text{I}) - (\text{CH}_3)_3\text{COO}^{\cdot} -$ абсолютный бензол:



В присутствии следов воды наряду с изобутиленом образуется *трет*.-бутанол (метод ГЖХ):



В отсутствие кластера (I) состав молекулярных продуктов иной: *трет*.-бутилпероксид (основной продукт) и *трет*.-бутиловый спирт (следы).

Из зависимости параметра $W_o/W - W/W_o$ ($W = W_o$ при $[(\text{I})]_o = 0$) от начальной концентрации кластера (рис. 2) оценены константы скорости обрыва цепей окисления *втор*.-бутилового спирта и стирола $k = (2,5 \pm 0,5) \cdot 10^5$ (70°C) и $(3,2 \pm 0,4) \cdot 10^5$ л/(моль·с) (50°C) [21].

Согласно приведенным схемам (2), (3) и (4), (5), измеряемые константы скорости обрыва цепей кластером (I) являются эффективными, включающими в себя константы равновесия координации пероксильных радикалов при кластере (I). Следовательно, при координации пероксильного радикала с возрастающими стерическими препятствиями у реакционного центра (пероксильной группы) следует ожидать уменьшения константы скорости обрыва цепей k . Действительно, для пероксильных радикалов $X\text{CH}(\text{OO})\text{OH}$ ($X = n\text{-C}_3\text{H}_7, \text{C}_6\text{H}_5, (\text{CH}_3)_3\text{CCH}_2$), образуемых при окислении соответствующих спиртов $X\text{CH}_2\text{OH}$, оцененные в [22] константы $k = (2,6 \pm 0,3) \cdot 10^6$ ($X = \text{C}_6\text{H}_5, 50^\circ\text{C}$), $8,9 \cdot 10^5$ ($n\text{-C}_3\text{H}_7, 70^\circ\text{C}$) и $9,0 \cdot 10^4$ л/(моль·с) ($(\text{CH}_3)_3\text{CCH}_2, 70^\circ\text{C}$) уменьшаются симбатно увеличению стерических констант Чартона заместителей X [32]: $V_X = 0,57$ ($X = \text{C}_6\text{H}_5$), $0,68$ ($n\text{-C}_3\text{H}_7$) и $1,34 \text{ \AA}$ ($(\text{CH}_3)_3\text{CCH}_2$). Подчеркнем, что для известного промышленного ингибитора окисления 2,6-ди-*трет*.-бутил-4-метилфенола (торговая марка Агидол, Россия [24]) в аналогичных условиях окисления бензилового спирта получено $k = (1,3 \pm 0,2) \cdot 10^4$ л/(моль·с) (50°C) [21].

Кластеры железа, содержащие Fe_4S_4 -остов. Во многих лабораториях мира активно исследуется новый класс ферментов – кластерные окислительно-восстановительные металлоферменты [33]. Известно более 100 полиядерных металлоферментов. Из них наиболее детально изучены железосодержащие белки – растительные и бактериальные ферредоксины. Подробная информация о строении и функциях этих ферментов приведена в монографии [34] и обзорах [35, 36]. Наличие остова, состоящего из нескольких атомов железа в огромной белковой макромолекуле, осложняет изучение этого типа катализаторов. Поэтому был разработан удобный препаративный метод синтеза синтетических аналогов, например фотосинтезирующих бактерий Chromatium – анионных кластеров типа $[\text{Fe}_4(\mu_3-\text{S})_4(\text{SR})_4]^{2-}$ (инертная атмосфера, растворитель – метанол) [2]:



В Fe_4S_4 -остове четыре высокоспиновых атома железа связаны друг с другом прочными связями железо-железо в тетраэдр Fe_4 (рис. 4): 10 электронов на восьми несвязывающих орбиталах симметрии ($e + t_1 + t_2$) взаимодействуют друг с другом путем антиферромагнитного спин-спаривания через разрыхляющие орбитали Fe-S-связей [2].

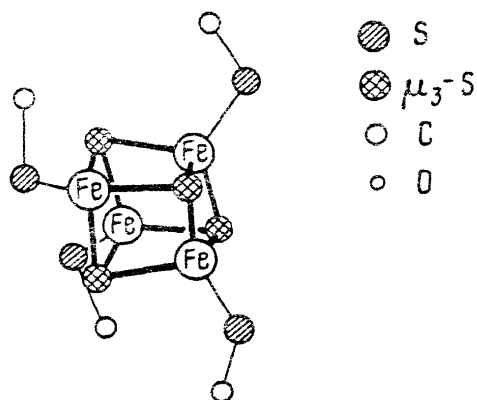
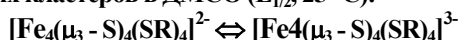


Рис. 4. Схема строения кластера $[\text{Fe}_4(\mu_3-\text{S})_4(\text{SC}_6\text{H}_5)_4]^{2-}$ (показан только первый атом C) [2]

Кластер $[\text{Fe}_4(\mu_3-\text{S})_4(\text{SC}_6\text{H}_5)_4]^{2-}$ – катализатор обрыва цепей окисления органических соединений (табл. 2) [20]. Исследование кинетики инициированного окисления диметилсульфоксида (ДМСО) при 100°C в присутствии кластеров $[\text{Fe}_4(\mu_3-\text{S})_4(\text{SR})_4]^{2-}$, где $\text{R} = (\text{CH}_3)_3\text{C}$, C_2H_5 , $\text{CH}_2\text{C}_6\text{H}_5$ и C_6H_5 , позволило оценить константы скорости обрыва цепей сульфоксидпероксильных радикалов с кластерами железа (табл. 3).

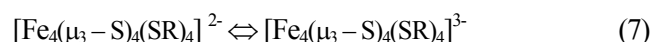
Таблица 3. Константы скорости обрыва цепей окисления диметилсульфоксида (ДМСО) кластерами железа $[\text{Fe}_4(\mu_3-\text{S})_4(\text{SR})_4]^{2-}$ при температуре 100°C и одноэлектронные окислительно-восстановительные потенциалы этих кластеров в ДМСО ($E_{1/2}$, 25°C):



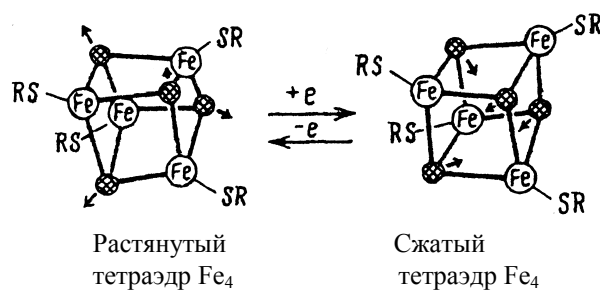
Заместитель R	k , л/(моль·с)	$E_{1/2}$, В [2]
$(\text{CH}_3)_3\text{C}$	$2,1 \cdot 10^2$	- 1,19
C_2H_5	$5,2 \cdot 10^2$	- 1,04
$\text{CH}_2\text{C}_6\text{H}_5$	$8,6 \cdot 10^2$	- 0,95
C_6H_5	$3,3 \cdot 10^3$	- 0,70

Из данных табл. 3 следует, что величины k возрастают симбатно с уменьшением окислительно-восстановительных свойств изучаемых кластеров.

Комплекс исследований, обобщенный в монографиях [2, 33], свидетельствует об интересном факте: в Fe_4S_4 -кластерах при одноэлектронных превращениях (химических, полярографических)

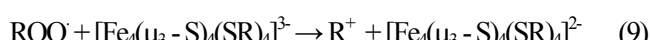
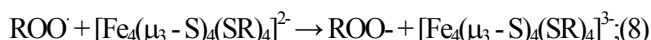


происходит изменение объема Fe_4S_4 -остова (окисленная форма остова – растянутый тетраэдр Fe_4 ; восстановленная – сжатый тетраэдр Fe_4):



Авторы работы [37] обосновали существование преимущественного направления сжатия Fe_4S_4 -остова кластера – направление четырех Fe-S-связей (на $0,16 \text{ \AA}$), лежащих почти перпендикулярно к плоскости внутримолекулярной поверхности раздела.

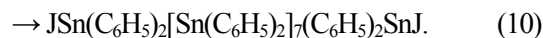
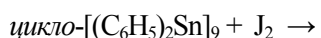
Исходя из полученных результатов и цитируемых литературных данных кластерный каталитический цикл обрыва цепей окисления ДМСО можно представить как чередование одноэлектронных переносов:



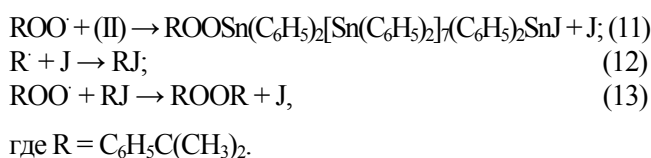
где R и R^+ – $\text{CH}_3\text{S}(\text{O})\text{CH}_2(\text{OO}^\cdot)$, $\text{CH}_3(\text{O})\text{SCH}_2^+$ соответственно.

Протеканию реакции (9) способствует стабилизация p -электронами серы (4+) карбокатиона $\text{CH}_3(\text{O})\text{SCH}_2^+$, возникающего в качестве лабильного интермедиата.

Линейноцепной кластер $\text{JSn}(\text{C}_6\text{H}_5)_2[\text{Sn}(\text{C}_6\text{H}_5)_2]_7(\text{C}_6\text{H}_5)_2\text{SnJ}$ (II). Остов кластера (II) состоит из гомоэлементной цепи [2] и препартивно легко образуется после раскрытия циклического остова кластера *цикло*- $[(\text{C}_6\text{H}_5)_2\text{Sn}]_9$ в присутствии йода [2, 38]:



Механизм обнаруженного катализа обрыва цепей окисления органических соединений кластером (II) [20] (табл. 2) был нами изучен на примере инициированного окисления изопропилбензола при температуре $50\text{--}70^\circ\text{C}$. Кинетические закономерности ингибиционного окисления, состав промежуточных и конечных продуктов превращения кластера (II) этого процесса ($\text{ROOSn}(\text{C}_6\text{H}_5)_2[\text{Sn}(\text{C}_6\text{H}_5)_2]_7(\text{C}_6\text{H}_5)_2\text{SnJ}$, J_2 , RJ , ROOR) позволили нам обосновать следующую схему реакций, ответственных за катализ обрыва цепей окисления:



Движущей силой гомолитического замещения йода в кластере (II) пероксильными, а не алкильными радикалами является повышенное сродство к электрону олова(4+) кислородсодержащих лигандов [39]. Этим, в частности, объясняется быстрое протекание реакций гомолитического замещения алкилов в моноядерных соединениях олова(4+) именно O -центрированными свободными радикалами [39, 40]. Стадия (11) является источником йода, с которым связано дальнейшее протекание чередующихся реакций каталитического обрыва цепей при одновременном участии как алкильных, так и пероксильных радикалов – стадии (12) и (13).

Клиновидный кластер железа $\text{Fe}_3(\mu\text{-NC}_6\text{H}_4\text{OH})_2(\text{CO})_9$ (III). Синтез кластера (III) аналогичен таковому клиновидных кластеров железа общей формулы $\text{Fe}_3(\mu\text{-X})_2(\text{CO})_9$ ($\text{X} = \text{NCH}_3, \text{NNC}_6\text{H}_5, \text{S}, \text{Se}$) (рис. 5) [41–43].

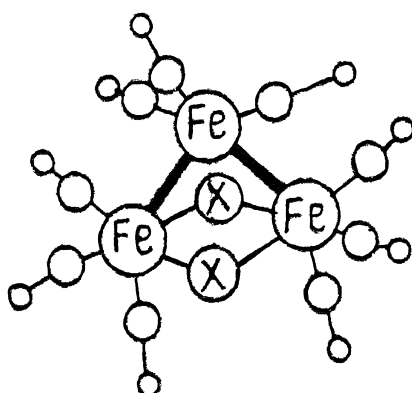


Рис. 5. Схема строения клиновидных кластеров общей формулы $\text{Fe}_3(\mu\text{-X})_2(\text{CO})_9$ [2]

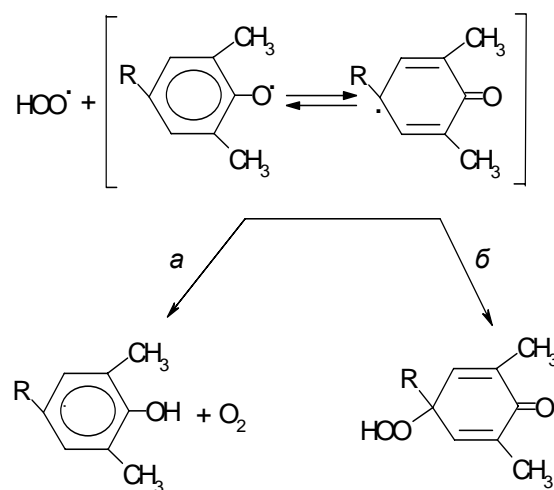
Механизм катализа обрыва цепей окисления кластером (III) (табл. 2) [20] исследован на примере инициированного окисления дигидрофенантрена-9,10 (0,8 моль/л в хлорбензоле, 50 °C). Носителями цепей окисления этого субстрата выступают гидропероксильные радикалы HOO^\cdot [24]. Реакционным центром в кластере (III) являются OH-группы μ -координированного лиганда:



Доказательством именно такого направления реакции (14) служит прямое обнаружение методом ЭПР короткоживущих феноксильных радикалов $\mu\text{-NC}_6\text{H}_4\text{O}^\cdot$. С механизмом отрыва радикалами HOO^\cdot атома водорода от координированного лиганда $\mu\text{-NC}_6\text{H}_4\text{OH}$ согласуется и тот факт, что замена OH-группы группой

OCH_3 ведет практически к исчезновению ингибирующих свойств соответствующего кластера железа. Оцененный брутто-стехиометрический коэффициент обрыва цепей $f = 26 \pm 9$, т. е. исследуемый кластер (III) является катализатором диспропорционирования гидропероксильных радикалов.

Согласно данным работы [24], взаимодействие гидропероксильного и феноксильного радикалов возможно по двум параллельным маршрутам – *a* и *b*.



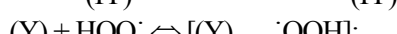
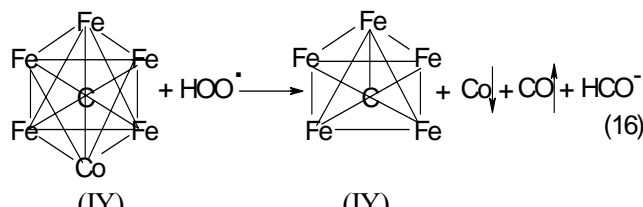
Реализация маршрута *b* ведет к однократному обрыву цепи ($f=2$), а маршрута *a* – к регенерации исходного фенола и, как следствие, – к возрастанию стехиометрического коэффициента обрыва цепей ($f >> 2$). Расширение пространственного объема 4-R-заместителя препятствует протеканию реакции *b* и таким образом способствует регенерации фенола по реакции *a*.

В случае μ -координированного феноксильного радикала возникают, по-видимому, стерические препятствия протеканию реакции типа *b* по 4-C-центру и создаются благоприятные условия восстановления (регенерации) фенола по реакции:



Из чередующихся стадий (14) и (15) складывается каталитический цикл обрыва цепей ($f >> 2$).

Октаэдрический гетерометаллический кластер $[\text{Fe}_5\text{Co}(\mu\text{-C})(\text{CO})_{16}]$ (IV). Механизм катализа обрыва цепей окисления органических соединений кластером (IV) (табл. 2) [20] был исследован на примере инициированного окисления дигидрофенантрена-9,10 (0,8 моль/л в растворах абсолютного ацетонитрила) при температуре 50 °C. Состав промежуточных и конечных продуктов превращения кластера (IV) в оксидате (Co, CO) позволил нам предложить следующую схему реакций, ответственных за каталит обрыва цепей:



Отметим, что для октаэдрических кластеров металлов – гомо- и гетерометаллических, аналогичных исследуемому кластеру (ІҮ), характерно изменение нуклеарности металлоостова при одноэлектронном переносе в условиях одноэлектронного окисления на Ag электродах или при химическом окислении в растворах, например Ce(4+) или Fe(3+) [2].

Таким образом, изложенные результаты свидетельствуют о многообразии механизмов катализа обрыва цепей окисления органических соединений кластерами металлов. К настоящему времени можно выделить три таких механизма:

- реакции, локализованные на металлоостове, протекающие без изменения металлоостова кластера ($Pd_{56}Phen_{60}(OAc)_{180}$), с изменением нуклеарности металлоостова ($[Fe_5Co(\mu-C)(CO)_{16}]^{\cdot-}$), с изменением пространственного строения металлоостова ($[Fe_4(\mu_3-S)_4(SR)_4]^{2-}$);
- реакции, локализованные на координированном лиганде кластера ($Fe_3(\mu-NC_6H_4OH)(CO)_9$);
- реакции, локализованные на продуктах гомолитического замещения лигандов свободными радикалами ($JSn(C_6H_5)_2[Sn(C_6H_5)_2]_7(C_6H_5)_2SnJ$).

Можно предположить, что данный перечень кластерных механизмов катализа обрыва цепей окисления в дальнейшем будет детализован и расширен за счет как результатов продолжающихся исследований соединений, перечисленных в табл. 2, так и других кластерных соединений, которые еще предстоит изучить.

Работа выполнена при финансовой поддержке Государственного фонда фундаментальных исследований Украины (проект 03.07/2).

Литература

1. Моисеев И.И., Успехи химии, 1990, **59** (12), 1931–1959.
2. Губин С.П., Химия кластеров, Москва, Наука, 1987.
3. Lewis L.N., Chem. Rev., 1993, **93**, 2693–2699.
4. Starchevsky M.K., Hladiv S.L., Pazdersky Y.A. et al., J. Mol. Catal., 1999, **146A**, 229–236.
5. Старчевский М.К., Гладий С.Л., Паздерский Ю.А. и др., Теорет. и эксперим. химия, 2000, **36** (6), 342–348.
6. Столяров И.П., Евдокимова Е.В., Моисеев И.И., Координац. химия, 1989, **15** (11), 1545–1548.
7. Mutterties F.L., Chem and Eng News, 1982, **60** (35), 28–37.
8. Li D., Zhani W., Chen Z., Haixue Xuebao, 1986, **44** (10), 990–997.
9. Castiglioni M., Giordano R., Sappa E. J., Organomet. Chem., 1989, **369**, 419–424.
10. Fouda S.A., Rempel G.L., Inorg. Chem., 1979, **18** (1), 1–10.
11. Nagachima H. J., Synth., Org. Chem. Jap., 1988, **46** (6), 553–558.
12. Minot C., Bigot B., Hariti A., J. Amer. Chem. Soc., 1986, **108** (2), 196–199.
13. Walter B., Z. Chem., 1989, **29** (4), 117–122.
14. Bhaduri S., Sapre N., Jones P.G., J. Organomet. Chem., 1992, **426** (1), 12–17.
15. Behnken P.E., Belmont J.A., Busby D.S., J. Amer. Chem. Soc., 1984, **106** (10), 3011–3017.
16. Siedle R., Newmark R.A., Pignolet L.H., J. Amer. Chem. Soc., 1982, **104** (24), 6584–6586.
17. Beach D.L., Kobylinsky T.P., J. Chem. Soc. Chem. Commun., 1980, **19**, 933–938.
18. Jenke T., Suess-Fink G., J. Organomet. Chem., 1991, **405** (3), 383–386.
19. Ковтун Г.А., Каменева Т.М., Варгафтик М.Н., Моисеев И.И., Катализ и нефтехимия, 2001, (7), 16–17.
20. Ковтун Г.А., Пустарнакова Г.Ф., Плотникова Н.И., Там же, 18–20.
21. Ковтун Г.А., Каменева Т.М., Варгафтик М.Н., Моисеев И.И., Доп. НАН України, 2001, (8), 132–136.
22. Ковтун Г.А., Каменева Т.М., Варгафтик М.Н., Моисеев И.И., Укр. хим. журн., 2001, (10), 27–31.
23. Ковтун Г.А., Моисеев И.И., Металлокомплексные ингибиторы окисления, Киев, Наук. думка, 1993.
24. Ковтун Г.А., Плужников В.А., Химия ингибиторов окисления органических соединений, Киев, Наук. думка, 1995.
25. Морохов И.Д., Трусов П.И., Чижик С.П., Ультрадисперсные металлические среды, Москва, Атомиздат, 1977.
26. Петров Ю.И., Физика малых частиц, Москва, Наука, 1982.
27. Денисов Е.Т., Ковалев Г.И., Окисление и стабилизация реактивных топлив, Москва, Химия, 1983.
28. Марголис Л.Я., Окисление углеводородов на гетерогенных катализаторах, Москва, Химия, 1997.
29. Ковтун Г.А., Плотникова Н.И., Вольпин М.Е., Новиков Ю.Н., Изв. АН СССР, Сер. хим., 1982, (8), 1917–1918.
30. Моисеев И.И., Варгафтик М.Н., Гентош О.И. и др., Докл. АН СССР, 1977, **237** (5), 645–648.
31. Походенко В.Д., Белодед А.А., Кошечко В.Г., Оксилительно-восстановительные реакции свободных радикалов, Киев, Наук. думка, 1977.

32. Charton M., *J. Amer. Chem. Soc.*, 1975, **97** (6), 1552–1559.
33. Лихтенштейн Г.И., *Многоядерные окислительно-восстановительные металлоферменты*, Москва, Наука, 1979.
34. Торчинский Ю.М., *Сера в белках*, Москва, Наука, 1977.
35. Holm R.N., *Endeavour*, 1975, (34), 38–48.
36. Holm R.N., *Chem. Soc. Rev.*, 1981, (10), 455–469.
37. Carter C.W., Kant J.J., Freer S.T., Alden R.A., *J. Biol. Chem.*, 1974, **249**, 6346–6349.
38. Neuman W.P., Redain J.J., *J. Organomet. Chem.*, 1973, (672), 32–38.
39. Ковтун Г.А., Лысенко Д.Л., Беренблюм А.С., Моисеев И.И., *Ізв. АН ССР, Сер. хим.*, 1980, (10), 2424–2427.
40. Ковтун Г. А., Лысенко Д.Л., Моисеев И.И., *Там же*, 1981, (10), 76–79.
41. Baikie P.E., Mills O.S., *J. Chem. Commun.*, 1967, 1228–1233.
42. Rossetti R., Stangellini P.L., *J. Coord. Chem.*, 1974, (3), 217–224.
43. Dahl L.F., Sutton P.W., *Inorg. Chem.*, 1965, (4), 493–499.

Поступила в редакцию 24 апреля 2001 г.

Кatalіз обриву ланцюгів окиснення органічних сполук кластерами металів

G.O. Kovtun

*Інститут біоорганічної хімії та нафтохімії НАН України,
Україна, 253094 Київ, вул. Мурманська, 1; факс: (044)573-25-52*

Узагальнено відомі та викладено нові результати, які стосуються механізмів каталізу обриву ланцюгів окиснення органічних сполук кластерами металів.

Catalysis of oxidation chains breaking of organic compounds by clusters of metals

G.A. Kovtun

*Institute of Bioorganic Chemistry and Petrochemistry, National Academy of Sciences of Ukraine,
1, Murmanska Str., Kyiv, 02094, Ukraine, Fax.: (044) 573-25-52*

Well-known results on the mechanisms of the catalysis of oxidation chains breaking of organic compounds by clusters of metals have been generalized, new data on the above mentioned aspects have been presented.

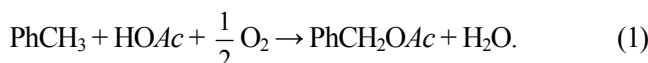
Кластери Pd(0) з N-вмісними лігандами як катализатори реакцій окиснення толуолу та аліфатичних спиртів

М.К. Старчевський

Бориславський науково-дослідний інститут “Синтез”,
Україна, 82300 Борислав, вул. Трускавецька, 125; факс: (03248) 4-13-69

Відновлення ацетату Pd(II) воднем у розчинах N-вмісних лігандів в *AcOH* приводить до утворення полі-ядерних гідридокомплексів паладію з постійним складом, добре розчинних у полярних середовищах. На основі даних елементного аналізу, спектроскопії протонного магнітного резонансу, вимірювання магнітної сприйнятливості та даних рентгеноелектронної спектроскопії гідридокомплекси охарактеризовано у рамках моделей, згідно з якою катіон отриманого кластера містить масивне ядро, а молекули лігандів координовані атомами Pd на периферії кластерного катіону. Отримані кластери мають високу активність в каталізі реакцій окиснення толуолу та аліфатичних спиртів.

Окиснення толуолу в бензилацетат може бути покладено в основу промислового методу отримання бензилового спирту [1]:



Катализну активність в реакції (1) проявляє Pd-чернь та комплекси паладію у формальному ступені окиснення, близькому до нуля, які формуються з карбонілацетату Pd(I) – $\text{Pd}_4(\text{CO})_4(\text{OAc})_4$ у присутності стабілізуючих лігандів [2, 3]. Дану статтю присвячено синтезу катализично активних комплексів Pd(0) в реакції (1) шляхом відновлення воднем розчинів Pd(II) в *AcOH*, що містять N-вмісні ліганди.

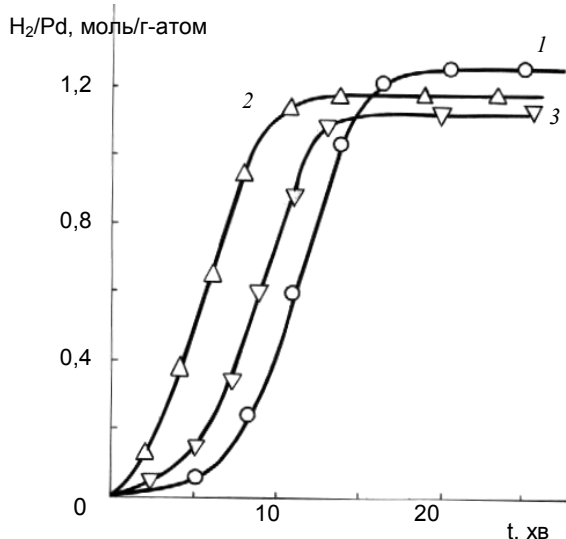


Рис. 1. Криві поглинання водню оцтовокислими розчинами $\text{Pd}(\text{OAc})_2$ ($2,1 \cdot 10^{-2}$ моль/дм 3) з добавкою N-вмісних лігандів ($1,05 \cdot 10^{-2}$ моль/дм 3) при 293 К: 1 – 1,10-фенантролін, 2 – 2,2'-дипіridил, 3 – 2,2'-дихіноліл

Наші експерименти показали, що поглинання H_2 розчинами $\text{Pd}(\text{OAc})_2$ з N-вмісними лігандами в *AcOH* за температури 293 К описується S-подібними кривими (рис. 1). У разі внесення до гідрування в досліджуваний розчин невеликої кількості розчину, попередньо обробленого воднем, індукційний період значно скорочується, що погоджується із запропонованим у працях [4, 5] автокатализичним механізмом, який включає каталіз реакції відновлення комплексів Pd(II) сполуками Pd(0).

Внаслідок гідрування розчинів $\text{Pd}(\text{OAc})_2$ з N-вмісними лігандами утворюються темно-коричневі, розчинні в *AcOH* сполуки паладію.

Природа азотвмісного ліганда, в присутності якого відновлюють $\text{Pd}(\text{OAc})_2$, суттєво впливає на катализну активність утворених сполук паладію. За участю аліфатичних та ароматичних амінів Pd(II) відновлюється до неактивних в реакції (1) Pd-черней. Аналогічні результати одержано й у випадку моноциклічних 5- та 6-членних гетероцикліческих сполук, незалежно від числа атомів азоту, що входять до них; поліцикліческих сполук з атомами азоту в 5-членних циклах, а також поліцикліческих молекул з одним атомом азоту. В присутності ряду інших хелатних гетероцикліческих основ у відновлювальній системі утворюються сполуки, що мають високу каталітичну активність в окиснювальному ацетоокиснюванні толуолу в бензилацетат (табл. 1).

Для всіх наведених у табл. 1 бідентатних лігандів залежність каталітичної активності продуктів відновлення від співвідношення початкових концентрацій $[\text{Pd}(\text{II})]_0/[\text{L}]_0$ має екстремальний характер (рис. 2). Максимум каталітичної активності спостерігається при співвідношенні $[\text{L}]_0/[\text{Pd}]_0 = 0,4–0,6$; форма та положення максимуму залежать від природи ліганду.

Таблиця 1. Каталітична активність продуктів відновлення воднем $\text{Pd}(\text{OAc})_2$ у присутності лігандів (L): $[\text{L}]_0/[\text{Pd}]_0 = 0,5$; $P_{\text{O}_2} = 0,1 \text{ МПа}$; $[\text{PhCH}_3] = 4,1 \text{ моль}/\text{дм}^3$; $[\text{AcOH}] = 9,7 \text{ моль}/\text{дм}^3$; $[\text{Pd}] = 4,4 \cdot 10^{-2} \text{ моль}/\text{дм}^3$

Ліганд	Температура, К	V_0^*
1,10-фенантролін	373	3,9
2,2'-дипіридин	373	2,8
Феназин	383	2,3
Дibenзофеназин	373	2,7
2,2'-дихіноліл	383	2,6
5-нітро-1,10-фенантролін	373	0,8
3-сульфо-1,10-фенантролін	373	1,2

V_0^* – початкова швидкість утворення бензилацетату, моль $\text{PhCH}_2\text{OAc}/(\text{моль Pd}\cdot\text{год})$.

Рис. 2.

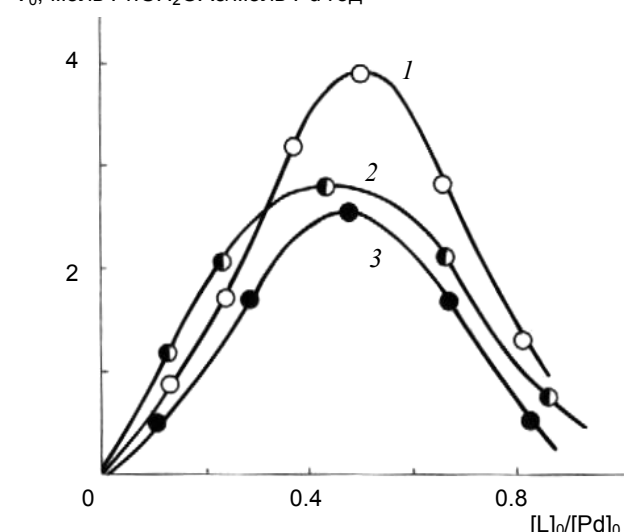


Рис. 2. Залежність початкової швидкості реакції (1) від співвідношення $[\text{L}]_0/[\text{Pd}(II)]_0$ для катализаторів, одержаних відновленням $[\text{Pd}(\text{OAc})_2]$ воднем в присутності N-вмісних лігандів за температури 293К: $[\text{Pd}(\text{OAc})_2] = 0,05 \text{ моль}/\text{дм}^3$, $\text{PhCH}_3 = 4,1 \text{ моль}/\text{дм}^3$, $\text{AcOH} = 9,7 \text{ моль}/\text{дм}^3$; за температури 373 К, $P_{\text{O}_2} = 0,1 \text{ Мпа}$: 1 – 1,10-фенантролін, 2 – 2,2'-дипіридин, 3 – 2,2'-дихіноліл

Необхідність відновлення $\text{Pd}(\text{II})$ вказує на те, що відповідальними за каталіз є сполуки паладію в окиснювальному стані, близькому до нуля. Активні центри катализаторів формуються у тих випадках, коли на один стабілізуючий ліганд припадає декілька атомів металу. Можна припустити, що в таких лігандо-дефіцитних умовах утворюються сполуки кластерної природи. Для з'ясування питання щодо хімічної природи цих каталітично активних речовин нами вивчено продукти відновлення воднем ацетату паладію в присутності 1,10-фенантроліну, 2,2'-дипіридину та 2,2'-дихінолілу.

Відновлення ацетату паладію (II) за температури 293 К у розчинах, що містять стабілізуючі ліганди, ви-

вчали при співвідношенні початкових концентрацій $[\text{Pd}(\text{II})]/[\text{L}]_0 = 2$, тобто в умовах одержання контактів з високою каталітичною активністю в реакції (1).

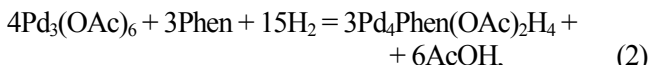
Продуктів гідрування розчинника при цьому не виявлено, а відношення об'єму поглинутого H_2 до числа грам-молів паладію, який знаходиться в системі, не залежить від кількості розчинника.

За даними вolumетрических вимірювань (рис. 1), 1 г-атомом $\text{Pd}(\text{II})$ поглинається 1,25 моля H_2 у разі використання 1,10-фенантроліну, 1,15 – 2,2'-дипіридину та 1,11 – 2,2'-дихінолілу.

Поглинання понадстехіометрических кількостей H_2 комплексами, що утворюються, мабуть обумовлено взаємодією водню з Pd_2L , аналогічно тому, як це мало місце у випадку трифенілфосфінових комплексів $\text{Pd}(0)$ [6]. Якби утворювані сполуки $\text{Pd}(0)$ були мономерними ($n=1$), то вони, очевидно, мали б бути координаційно ненасиченими, тому n , імовірно, > 1 . На користь того, що одержувані комплекси $\text{Pd}(0)$ з 1,10-фенантроліном, 2,2'-дипіридином та 2,2'-дихінолілом поліядерні, свідчить і факт поглинання ними додаткових кількостей водню зверху стехіометрії. Квантово-механічні розрахунки показують [7], що приєднання H_2 до моноядерних комплексів $\text{Pd}(0)$, яке підвищує ступінь окиснення паладію до $\text{Pd}(\text{II})$, термодинамічно ускладнено. Навпаки, вже у випадку двоядерних угруповань Pd_2 приєднання H_2 стає повністю можливим.

Виділені продукти відновлення ацетату $\text{Pd}(+2)$ воднем в розчині AcOH , який містить 0,5 моля ліганду на атом паладію, являють собою рентгеноаморфні речовини, добре розчинні у воді та полярних розчинниках (MeOH , DMCO , DMFA), склад яких відповідає простій формулі $\text{Pd}_4\text{L}(\text{OAc})_2\text{H}_m$, де $m = 4$ для 1,10-фенантроліну та $m = 3$ для 2,2'-дипіридину. Тому можна зробити висновок, що в присутності N-вмісних стабілізуючих лігандів ацетат паладію (II) відновлюється не до нуль-валентного стану, а до Pd у формальному ступені відновлення (+½).

З урахуванням отриманих даних відновлення $\text{Pd}(\text{II})$ воднем в розчинах AcOH у присутності 1,10-фенантроліну повинно описуватися стехіометричним рівнянням



а до складу продукту цієї реакції повинні входити гідрідинні атоми. Якщо допустити, що величина $[\text{Pd}]_\Sigma / [\text{L}]_\Sigma \max$ вказує на склад сполуки, відповідальної за каталіз, то можна зробити висновок, що окиснення аренів каталізується лігандо-дефіцитними сполуками кластерного характеру.

Відмінність у значеннях енергії зв'язку $\text{Pd} 3d_{5/2}$ для $\text{Pd}_4\text{L}(\text{OAc})_2\text{H}_4$ і для Pd -черні в 0,3 еВ, а також вузький симетричний пік сигналу (півширина 2,6 еВ) в рентгеноелектронних спектрах вказують на індивідуальність комплексу $\text{Pd}_4\text{Phen}(\text{OAc})_2\text{H}_4$ та його відмінність від Pd -черні (рис. 3).

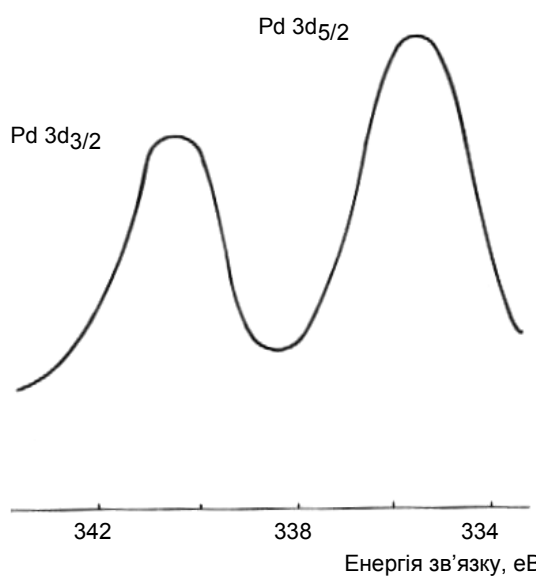


Рис. 3. Рентгеноелектронні спектри катализатора, одержаного відновленням розчину $Pd(OAc)_2 - Phen$ (2/1) в $AcOH$ воднем за температури 293 К

Значення E_{3B} для $Pd_4L(OAc)_2H_4$ (335,6 еВ) збігається з E_{3B} для кристалічного паладію [8], однак, згідно з даними рентгенофазового аналізу, в зразках досліджуваної речовини не міститься фази кристалічного металу.

У спектрах протонного магнітного резонансу протони груп AcO^- в розчині DMCO-d_6 проявляються у вигляді вузького сигналу при $\delta = 2,0$ м. д., а сигнали протонів *Phen* – складного нерозділеного мультиплета із 20–25 ліній в інтервалі 6–9 м. д. (рис. 4). Вузька лінія сигналу протонів OAc^- в ПМР-спектрі дозволяє припустити, що групи AcO^- розташовані у вигляді аніонів у зовнішній сфері поліядерного комплексу, який несе позитивний заряд. Розширення мультиплета протонів *Phen* можна пояснити координацією цього ліганду з атомами Pd парамагнітного металополімеру.

Тверді зразки кластерів мають слабкий парамагнетизм – $\chi_r = 0,5 \cdot 10^{-6}$ СГСЕ за температури 300 К для кластера паладію з 1,10-фенантроліном та $0,6 \cdot 10^{-6}$ СГСЕ для кластера паладію з 2,2'-дипіridилом. Отримані значення χ_r не можна пояснити домішками великих часток металевого паладію, для якого магнітна сприйнятливість є на порядок вищою ($\chi_r = 5 \cdot 10^{-6}$ СГСЕ) [9]. Слабкий і майже незалежний від температури парамагнетизм $Pd_4L(OAc)_2H_4$ можна пояснити тим, що атоми Pd, які входять до складу комплексу, утворюють поліядерну систему зі зв'язками Pd-Pd, близьку за властивостями до гратки металевого паладію.

Металоподібну систему зв'язків Pd-Pd у такому кластері можна реалізувати в рамках моделі, згідно з

якою катіон цього кластера містить масивне ядро з атомів Pd, а молекули *Phen* координовані атомами Pd на периферії кластерного катіона.

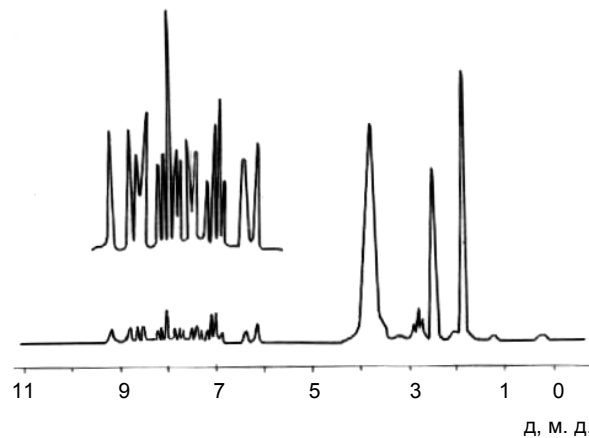


Рис. 4. ПМР-спектри високої розділюючої здатності розчинів $Pd_4Phen(OAc)_2H_4$ в $(CD_3)_2SO$

Катаалітична активність отриманих кластерів палаю в реакції окиснювання ацетокиснювання толуолу в боковий ланцюг майже на два порядки перевищує активність Pd-черні, причому утворення продуктів окиснюваної димеризації толуолу не відмічено (табл. 2).

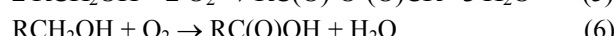
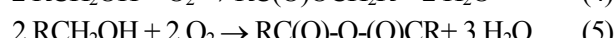
Таблиця 2. Катаалітична активність Pd-черні та Pd-кластерів, одержаних відновленням $Pd(OAc)_2$ воднем у присутності N-вмісних лігандів, в реакції (1)

Добавка, моль/дм ³	V_0^*	Вихід продуктів, моль/г-атом Pd		
		$PhCH_2OAc$	$PhCH(OAc)_2$	$PhCHO$
Pd-черні	0,11	0,053	–	–
1,10-фенантролін	3,88	30,8	2,63	0,31
2,2'-дипіridил	2,90	22,9	1,74	0,18
2,2'-дихіноліл	2,65	20,3	1,49	0,15

Примітка: 1. Концентрації, моль/дм³: $Pd(OAc)_2$ – 0,14; лігандів – 0,07; толуолу – 3,76; $AcOH$ – 6,7.

2. V_0 – швидкість утворення $PhCH_2OAc$, моль $PhCH_2OAc$ /моль Pd·год; за температури 373 К. Час реакції 8 год.

У присутності отриманих кластерів аліфатичні спирти легко окиснюються з утворенням альдегідів, складних ефірів, карбонових кислот та ангідридів (табл. 3):



Таблиця 3. Продукти окиснення аліфатичних спиртів C₂-C₅ у присутності кластера Pd₄Phen(OAc)₂H₄ за температури 323 К та Р_{O₂} 0,1 МПа

Субстрат	Концентрація кластера, г/дм ³	V _{0O₂} × 10 ⁴ , М/хв ⁻¹	Час реакції, хв	Склад реакційного середовища	
				Речовина	C · 10 ³ , моль/дм ³
Етанол	7,14	158,3	40	CH ₃ CHO	239
				IOAc	201
				AcOH	27,9
				(Ac) ₂ O	40,3
n-Пропанол	7,08	88,3	50	C ₂ H ₅ CHO	143
				C ₃ H ₇ OCOC ₂ H ₅	96,3
				C ₂ H ₅ COOH	14,6
				(C ₂ H ₅ CO) ₂ O	15,4
n-Бутанол	7,23	20,6	60	C ₃ H ₇ CHO	89,0
				C ₄ H ₉ OCOC ₃ H ₇	3,3
				C ₃ H ₇ COOH	4,7
				(C ₃ H ₇ CO) ₂ O	—

Примітка. V_{0O₂} – початкова швидкість поглинання кисню.

Збільшення довжини вуглеводневого ланцюга приводить до зниження загальної швидкості окиснення спиртів. Оцінка співвідношення продуктів окиснення вказує, що зі збільшенням довжини вуглеводневого ланцюга вихідного спирту частка ефіру, кислоти та ангідриду в продуктах окиснення знижується, альдегіду – зростає.

Таким чином, відновлення Pd(II) воднем у присутності N-вмісних стабілізуючих лігандів приводить до формування високоактивних і селективних каталітических систем реакції окиснівального ацетокиснівания толуолу та окиснення спиртів.

Автор висловлює їцуру вдячність співробітникам Інституту загальної та неорганічної хімії ім. Н.С. Курнакова РАН д-ру хім. наук С.Г. Сахарову за допомогу при отриманні ПМР-спектрів кластерів, канд. хім. наук Я.В. Салиню за допомогу при отриманні рентгено-електронних спектрів і співробітниці Інституту органічної хімії ім. Н.Д. Зелінського РАН канд. хім. наук Е.А. Федоровській за допомогу у вимірюванні магнітної сприйнятливості зразків.

Література

- Старчевский М.К., Паздерский Ю.А., Варгафтик М.Н., Моисеев И.И., *Хлор. пром-сть*, 1982, (6), 12.
- Старчевский М.К., Варгафтик М.Н., Моисеев И.И., *Кинетика и катализ*, 1980, **21** (6), 1451.
- Старчевский М.К., Варгафтик М.Н., Моисеев И.И., *Там же*, 1981, **22** (3), 622.
- Беренблюм А.С., Книжник А.Г., Мунд С.Л., Моисеев И.И., *Изв. АН СССР, Сер хим.*, 1978, (12), 2711.
- Беренблюм А.С., Книжник А.Г., Мунд С.Л., Моисеев И.И., *Там же*, 1979, (8), 1687.
- Strukul G., Carturan G., *Inorg. Chim. Acta*, 1979, **35** (1), 99.
- Гриценко О.В., Багатуранц А.А., Моисеев И.И. и др., *Кинетика и катализ*, 1980, **21** (3), 632.
- Салнь Я.В., Старчевский М.К., Столяров И.П. и др., *Там же*, 1983, **24** (3), 743.
- Вонсовский С.В., *Магнетизм*, Москва, Наука, 1971.

Надійшла до редакції 20 квітня 2001 р.

Кластеры Pd(0) с N-содержащими лигандами как катализаторы реакций окисления толуола и алифатических спиртов

М.К. Старчевский

Бориславский научно-исследовательский институт “Синтез”,
Украина, 82300 Борислав, ул. Трускавецкая, 125; факс: (03248) 4-13-69

Восстановление ацетата Pd(II) водородом в растворах N-содержащих лигандов в AcOH приводит к образованию полиядерных гидридокомплексов палладия с постоянным составом, хорошо растворимых в полярных средах. На основе данных элементного анализа, спектроскопии протонного магнитного резонанса, измерения магнитной восприимчивости и данных рентгеноэлектронной спектроскопии гидридокомплексы охарактеризованы в рамках модели, согласно которой катион полученного кластера содержит массивное ядро, а молекулы лигандов координированы атомами Pd на периферии кластерного катиона. Полученные кластеры обладают высокой активностью в катализе реакции окисления толуола и алифатических спиртов.

Pd (0) clusters with N-ligands as catalysts in reactions of oxidation of toluene and aliphatic alcohols

M.K. Starchevskii

"Syntez" Research Institute,
125, Truskavetska Str., 82300, Boryslav, Ukraine, Fax: (38 03248) 4-13-69

Reduction of Pd (II) acetate with hydrogen in acetic solutions of N-containing ligands results in polynuclear hydride Pd complexes formation. These complexes are well soluble in polar media and have constant composition. On the basis of elementary analysis data, magnetic susceptibility, electron microscopy and NMR, the model of the hydride complexes has been established that implies bulk cation of metal core co-ordinating with N-ligand molecules. The obtained clusters exhibit high activity in catalysis of oxidation reactions of toluene and aliphatic alcohols.

**Вам потрібно знати октанове число бензину ?
У Вас немає коштів на закупівлю установки УІТ-85 ?
У Вас немає приміщення для моторної установки ?**

Інститут біоорганічної хімії і нафтохімії НАН України має унікальну, малогабаритну, просту в експлуатації, екологічно чисту лабораторну установку для експрес-аналізу детонаційної стійкості автомобільних бензинів і компонентів за моторним і дослідницьким методами.

Робота приладу ґрунтуються на визначені параметрів реакції холодно-полум'яного окиснення вуглеводневого палива в потоці повітря і у порівнянні теплових ефектів, спричинених продуктом дослідження і еталонною сумішшю.

Прилад дає змогу робити 80–100 аналізів за добу; потребує для аналізу менш ніж 10 г палива (2 мкг на один вимір). Прилад незамінний при рутинних вимірах октанового числа в умовах нафтопереробного заводу, науково-дослідної лабораторії та випробувальної лабораторії нафтобази.

Основні характеристики приладу:

- метод аналізу – метод холодно-полум'яного окиснення вуглеводневої сировини;
- межі виміру 50–100 октанових одиниць (о.о.);
- збіжність – ± 0,5 о.о.;
- час одного виміру – не більше 10 хв;
- час виходу приладу на режим для повторного аналізу – не більше 5 хв;
- час підготовки приладу до роботи – не більше 30 хв;
- час безупинної роботи – 8 год;
- маса – не більше 10 кг.

Прилад і методика виміру проходять атестацію в Українському центрі стандартизації і метрології на відповідність вимогам ДСТУ за моторним і дослідницьким методами.

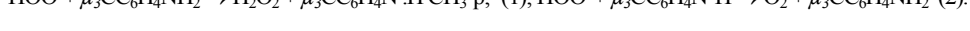
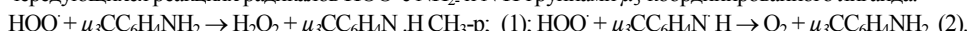
Телефон: 559-71-30

Кластер кобальта $\text{Co}_3(\mu_3-\text{CC}_6\text{H}_4\text{NH}_2)(\text{CO})_9$ в катализе обрыва цепей окисления циклогексадиена-1,3

Г.А. Ковтун, Г.Ф. Пустярнакова

Институт биоорганической химии и нефтехимии НАН Украины,
Украина, 02094 Киев, ул. Мурманская, 1; факс: (044) 573-25-52

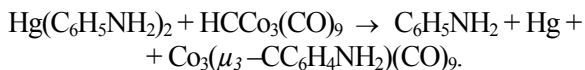
Обнаружен катализ обрыва цепей окисления циклогексадиена-1,3 кластером кобальта $\text{Co}_3(\mu_3-\text{CC}_6\text{H}_4\text{NH}_2)(\text{CO})_9$ при температуре 50 °C. Обоснован механизм катализа, который реализуется в чередующихся реакциях радикалов HOO^\cdot с NH_2 - и N H -группами μ_3 -координированного лиганда:



Работы [1–3] положили начало исследованиям катализа обрыва цепей окисления органических соединений кластерами переходных металлов.

В ходе этих исследований нами обнаружен катализ обрыва цепей окисления циклогексадиена-1,3 (RH) кластером кобальта $\text{Co}_3(\mu_3-\text{CC}_6\text{H}_4\text{NH}_2)(\text{CO})_9$ (I), ведущий к длительному торможению радикально-цепного окисления данного углеводорода.

Кластер (I) синтезировали согласно общей методике [4] (растворитель – бензол, атмосфера – CO, время реакции – 9 ч при температуре 80 °C):



Элементный анализ (C, H, N, Co) и ИК-спектры бензольных растворов полученного соединения соответствовали брутто-формуле (I). Структурные особенности соединений общей формулы $\text{Co}_3(\mu_3-\text{CR})(\text{CO})_9$ ($\text{R} = \text{H}$, алкил, арил и др.) (рис. 1) обобщены в обзоре [5]. Над тремя атомами кобальта, образующими равносторонний треугольник $\text{Co}_3(\text{CO})_9$, расположжен sp^3 -гибридизованный атом углерода. Три атома кобальта связаны с ним простыми Co-C-связями, направленными под углом 60° к плоскости треугольника. Тетраэдрическое окружение атома углерода несколько искажено, поскольку углы Co-C-Co составляют в среднем 80°. Все атомы электронно и координационно насыщены, поэтому кластерная группировка $\text{Co}_3(\mu_3-\text{CR})(\text{CO})_9$ диамагнитна [5].

Носителями цепей окисления RH являются гидро-пероксильные радикалы HOO^\cdot [6]. Скорость инициированного окисления RH измеряли волюметрически по поглощению кислорода (методика [7]). В качестве инициатора цепей окисления (50 °C) выступал азобисизобутиронитрил [6].

Исследуемый кластер кобальта (I) при его начальных концентрациях $10^{-3} - 10^{-4}$ моль/л ингибитирует окисление гомогенных растворов RH (рис. 2).

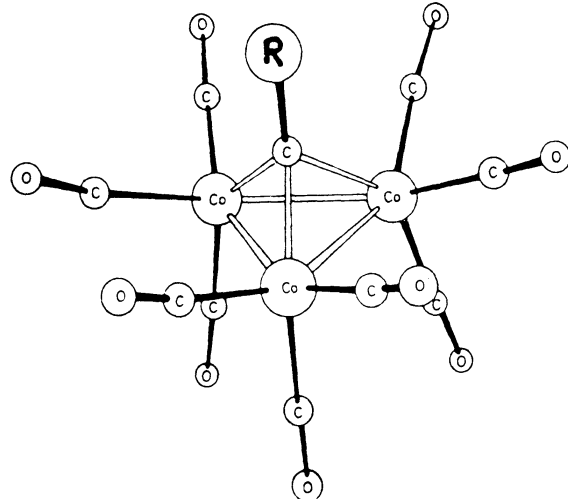


Рис. 1. Структурная формула кластеров кобальта общей формулы $\text{Co}_3(\mu_3-\text{CR})(\text{CO})_9$ [5]

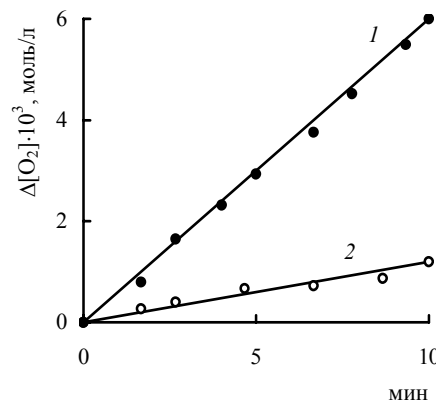


Рис. 2. Поглощение кислорода при инициированном окислении циклогексадиена-1,3 (1,0 моль/л в бензоле) в отсутствие кластера кобальта (1) и при его начальной концентрации $9,4 \cdot 10^{-3}$ моль/л (2); $W_i = 1,9 \cdot 10^7$ моль/(л · с), при температуре 50 °C

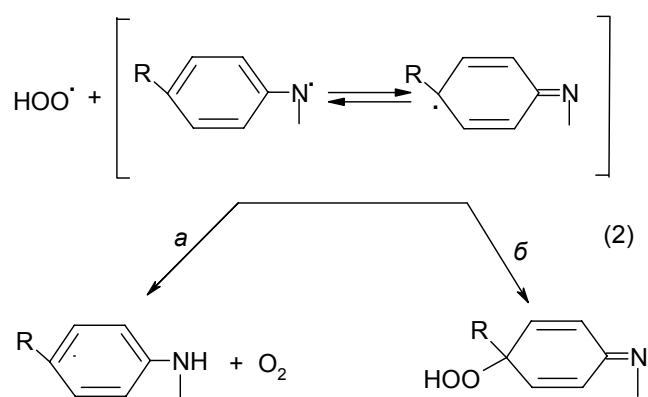
Наблюдаемый брутто-стехиометрический коэффициент обрыва цепей окисления $RHf = \tau W_i / [I]_0 = = 23 \pm 8$, где τ – период индукции обрыва цепей кластером [1, 2]; W_i – скорость инициирования цепей окисления. Следовательно, исследуемый кластер кобальта (I) катализитически (многократно) участвует в обрыве цепей окисления RH.

Реакционным центром в молекуле кластера (I) является NH₂-группа координированного лиганда $\mu_3\text{CC}_6\text{H}_4\text{NH}_2$:



Экспериментальным подтверждением именно такого направления реакции радикалов HOO[·] с кластером (I) является обнаружение методом электронного парамагнитного резонанса (ЭПР) короткоживущих N-центрированных радикалов (окисление проводили в реакторе-ампуле, помещенном в резонатор прибора EX-2542 при 35 °C), а также образование пероксида водорода (метод иодометрии в сочетании с селективным разложением оксидата каталазой гриба *Penicillium vitale* [6]). Использование γ -излучения изотопом ⁶⁰Со-источник свободных радикалов в системе {(I) – O₂ – матрица адамантана (–30 °C)} позволило наблюдать изотропные спектры ЭПР короткоживущих N-центрированных радикалов (предположительно аминильных) и оценить характерную для них константу сверхтонкого взаимодействия (СТВ) $a_N \approx 6,5$. Использование в этих опытах матрицы адамантана обусловлено тем, что в ней затруднены поступательная диффузия и гибель свободных радикалов, но возможно их быстрое вращение – одно из важных условий получения изотропных спектров ЭПР.

Согласно выводам из работы [6], взаимодействие гидропероксильных и свободных 4-R-фенил-аминильных радикалов (где R-алкил) протекает по двум основным реакциям (2 a, 2 б):



Реализация реакции (2 б) ведет к однократному обрыву цепей ($f = 2$), а реакции (2 а) – к регенерации ис-

ходного ароматического амина и, как следствие, – к увеличению стехиометрического коэффициента обрыва цепей ($f >> 2$).

Можно предположить, что кластерная группировка Co(CO)₉($\mu_3\text{C}$)[·] как заместитель в N-центрированном радикале кластера Co₃($\mu_3\text{CC}_6\text{H}_4\text{NH}$)(CO)₉ стерически препятствует протеканию реакции (2 б), тем самым способствует регенерации исходной NH-связи кластера (I) в реакции (2 а). Эта реакция является одноэлектронным переносом от радикала HOO[·] (как более электронноакцепторной частицы) к N-центрированному радикалу >N [6]:



Следовательно, из чередующихся стадий (1) – (2 а) складывается каталитический цикл обрыва цепей окисления исследуемым кластером кобальта ($f >> 2$), а реакция (2 б) ведет к необратимому расходованию этого своеобразного кластерного катализатора (его дезактивации). Параметр f в этом случае определяется уравнением

$$f = 2 [1 + (k_{2a} / k_{2b})]$$

Таким образом, рассмотренные выше результаты дополнительно экспериментально подтверждают факт существования новой и перспективной области исследования кластеров металлов в качестве ингибиторов окисления катализитического действия в актах обрыва цепей.

Работа выполнена при финансовой поддержке Государственного фонда фундаментальных исследований Украины (проект 03.07/2).

Литература

1. Ковтун Г.А., Каменева Т.М., Варгафтик М.Н., Моисеев И.И., *Катализ и нефтехимия*, 2001, (7), 16–17.
2. Ковтун Г.А., Пустарнакова Г.Ф., Плотникова Н.И., *Там же*, 18–20.
3. Ковтун Г.А., *Катализ и нефтехимия*, 2001, (8), 10–17.
4. Seyferth D., Hallgren J.E., Spohn R.J. et al., *J. Organometal. Chem.*, 1974, **65**, 99–105.
5. Seyferth D., *Adv. Organometall. Chem.*, 1976, **14**, 97–44.
6. Ковтун Г.А., Плужников В.А., *Химия ингибиторов окисления органических соединений*, Киев, Наук. думка, 1995.
6. Ковтун Г.А., Моисеев И.И., *Металлокомплексные ингибиторы окисления*, Киев, Наук. думка, 1993.

Кластер кобальту $\text{Co}_3(\mu_3\text{-CC}_6\text{H}_4\text{NH}_2)(\text{CO})_9$ у каталізі обриву ланцюгів окиснення циклогексадієну-1,3

Г.О. Ковтун, Г.Ф. Пустарнакова

Інститут біоорганічної хімії та нафтохімії НАН України,
Україна, 253094 Київ, вул. Мурманська, 1; факс: (044)573-25-52

Виявлено каталіз обриву ланцюгів окиснення циклогексадієну-1,3 кластером кобальту $\text{Co}_3(\mu_3\text{-CC}_6\text{H}_4\text{NH}_2)(\text{CO})_9$ за температури 50 °C. Обґрунтовано механізм каталізу, який реалізується в реакціях радикалів HOO^\cdot з NH_2^- -та NH -групами μ_3 -координованого ліганду, що чергуються:
 $\text{HOO}^\cdot + \mu_3\text{-CC}_6\text{H}_4\text{NH}_2 \rightarrow \text{H}_2\text{O}_2 + \mu_3\text{-CC}_6\text{H}_4\text{N}^\cdot \text{H}$ (1); $\text{HOO}^\cdot + \mu_3\text{-CC}_6\text{H}_4\text{N}^\cdot \text{H} \rightarrow \text{O}_2 + \mu_3\text{-CC}_6\text{H}_4\text{NH}_2$ (2).

Cluster of cobaltous $\text{Co}_3(\mu_3\text{-CC}_6\text{H}_4\text{NH}_2)(\text{CO})_9$ in catalysis of oxidation chain breaking of cyclohexadiene-1,3

G.O. Kovtun, G.F. Pustarnakova

*Institute of Bioorganic Chemistry and Petrochemistry, National Academy of Sciences of Ukraine,
1, Murmanska Str., Kyiv, 02094, Ukraine, Fax: (044) 573-25-52*

The catalysis of oxidation chain breaking of cyclohexadiene-1,3 by clusters of cobaltous $\text{Co}_3(\mu_3\text{-CC}_6\text{H}_4\text{NH}_2)(\text{CO})_9$ has been revealed at 50 °C. The mechanism of catalysis realized in alternating reactions of radicals HOO^\cdot with NH_2^- - and NH -group of the μ_3 -coordinated ligand:

$\text{HOO}^\cdot + \mu_3\text{-CC}_6\text{H}_4\text{NH}_2 \rightarrow \text{H}_2\text{O}_2 + \mu_3\text{-CC}_6\text{H}_4\text{N}^\cdot \text{H}$ (1); $\text{HOO}^\cdot + \mu_3\text{-CC}_6\text{H}_4\text{N}^\cdot \text{H} \rightarrow \text{O}_2 + \mu_3\text{-CC}_6\text{H}_4\text{NH}_2$ (2) has been substantiated.

ДО УВАГИ ВІТЧИЗНЯНИХ ВИРОБНИКІВ ТА ПОСТАЧАЛЬНИКІВ НАФТОПРОДУКТІВ!

ВАШІ ЗРАЗКИ – НАШЕ РІШЕННЯ!

Інститут біоорганічної хімії та нафтохімії НАН України у своєму складі має Випробувальну лабораторію нафтопродуктів, зареєстровану у реєстрі системи сертифікації УкрСЕПРО 20 травня 1999 року, № И А6. 001. Н. 108.

Лабораторія акредитована на право проведення випробувань, в тому числі з метою сертифікації нафтопродуктів:

- бензини автомобільні;
- палива дизельні та газотурбінні;
- мазути;
- оливи моторні (карбюраторні, дизельні та ін.).

Телефон: 559-71-30

Окиснювальний амоноліз *трем.бутилового спирту на залізо-телур-молібден-оксидному катализаторі, промотованому іонами кальцію*

В.М. Жизневський^a, Є.В. Федевич^b, Г.С. Караман^a

^aДержавний університет "Львівська політехніка",
Україна, 79013 Львів, вул. С. Бандери, 12; факс: (380-322) 74-41-43;
^bЛьвівський державний аграрний університет,
Україна, 29040 Дубляни Львівської обл.; факс: (0322) 79-32-31

Досліджено промотуючу дію іонів Ca^{2+} на властивості Fe-Te-Mo-O-катализатора реакції окиснювання амонолізу *трем.бутанолу* до метакрилонітрилу. Максимальний вихід цільового продукту досягається на катализаторі, який містить промотор у кількості, відповідній атомному співвідношенню $\text{Ca/Mo} = 0,05$. Встановлено, що метакрилонітрил утворюється шляхом окиснювання амінування продукту неповного окиснення *трем.бутанолу* – метакролеїну. В оптимальних умовах ($T = 633 \text{ K}$; $\tau = 4,8 \text{ с}$) вихід метакрилонітрилу досягає 82 %.

Залізо-телур-молібден-оксидний катализатор (Fe-Te-Mo-O-катализатор), запропонований для реалізації процесу окиснення ізобутену в метакролеїн (МА) [1], проявляє значно ширший спектр каталітичної дії: придатний і для окиснення спиртів до альдегідів [2], окиснюваного дегідрування *n*-бутенів та пентенів [3], окиснюваної дегідратації *трем.бутанолу* (ТБС) та ізобутилового спирту в МА [4], окиснюваного амонолізу ізобутену та пропілену [5].

Метою даної роботи є виявлення можливості використання Fe-Te-Mo-O-катализатора в реакції окиснюваного амонолізу ТБС до метакрилонітрилу (МАН), який самостійно застосовується як мономер для виробництва пластмас, хімічних волокон, синтетичних каучуків. Він також може використовуватися як сировина для одержання метакрилової кислоти та її ефірів. Встановлено, що ефективність дослідженого катализатора при окисненні ізобутену [6] і ТБС [4] можна суттєво поліпшити промотуванням іонами лужних і лужноземельних елементів. Тому було доцільно вивчити можливість застосування цих промоторів і в реакції окиснюваного амонолізу ТБС.

Експериментальна частина

Fe-Te-Mo-O-катализатор з атомним співвідношенням активних компонентів $\text{Fe:Te:Mo} = 1:0,85:1$, а також контакти, модифіковані іонами кальцію, виготовляли за методикою, описаною у роботі [7], і для досягнення стаціонарного стану активували в проточному реакторі за температури 633 К реакційною сумішшю (РС), % (мол.): *трем.бутанол* – 2,0; NH_3 – 3,0; O_2 – 5; He – 90,0.

Каталітичні властивості в реакції окиснюваного амонолізу досліджували імпульсним мікрометодом у диференціальному реакторі з псевдозрідженим шаром катализатора [8]. У реактор вносили досліджуваний катализатор (розмірзерен 1–2 мм) в кількості 0,5; 1,0; 2,0 або 3,0 г, що при швидкості потоку 2,0 л/год забез-

печувало час контакту 0,8; 1,6; 3,2 і 4,8 с відповідно. Краном-дозатором в реактор подавали імпульси РС об'ємом $12,5 \text{ см}^3$ вище зазначеного складу. На виході з реактора форма імпульсу була близькою до прямокутної, продукти поділялися на два рівні потоки. Один потік спрямовувався на хроматографічну колонку довжиною 2 м, заповнену хроматоном N-AW-DMCS з нанесеними Apieson-L і ПЕГ-6000 в кількості 15 і 5 % маси носія. На цій колонці проходило розділення *i*- C_4H_8 , МА та МАН. Колонка працювала за температури 373 К із застосуванням полум'яно-іонізаційного детектора. Другий потік скеровувався спочатку на хроматографічну колонку довжиною 0,7 м, наповнену полісорбом-1, на якій CO_2 відділяється від повітря і CO , а потім на хроматографічну колонку ($L = 2 \text{ м}$), заповнену молекулярними ситами NaX , де розділялись O_2 , N_2 та CO .

Питому поверхню катализаторів визначали хроматографічним методом за тепловою десорбцією аргону [9]. Загальну кислотність каталітичної поверхні установлювали за хемосорбцією аміаку, а силу кислотних центрів – за його термодесорбцією згідно з методикою [10]. У роботі [5] доведено, що найефективнішим промотором для Fe-Te-Mo-O-катализатора при окиснюваному амонолізі ізобутену є іони Ca^{2+} . Оскільки під час окиснюваної дегідратації ТБС стадія власне дегідратації є досить швидкою і спирт повністю перетворюється в ізобутен, який підлягає послідовним окиснювальним перетворенням, можна допустити, що в реакції окиснюваного амонолізу *трем.бутанолу* промотуюча дія іонів Ca^{2+} збережеться.

Вивчення впливу промотору на властивості Fe-Te-Mo-O-катализатора проводили за температури 603, 633 і 663 К. На рис.1 подано результати, одержані за температури 633 К і часі контракти 3,2 с. Видно, що збільшення вмісту промотуючої добавки до співвідношення $\text{Ca/Mo} = 0,05$ помітно підвищує активність катализато-

ра і селективність утворення МАН. Подальше зростання вмісту іонів кальцію до співвідношення Ca/Mo = 0,1 на активність катализатора суттєво не впливає, але селективність утворення МАН і його вихід помітно зменшуються. Таким чином, як видно з рис. 1, оптимальний вміст промотуючих іонів кальцію відповідає атомному співвідношенню Ca/Mo = 0,05.

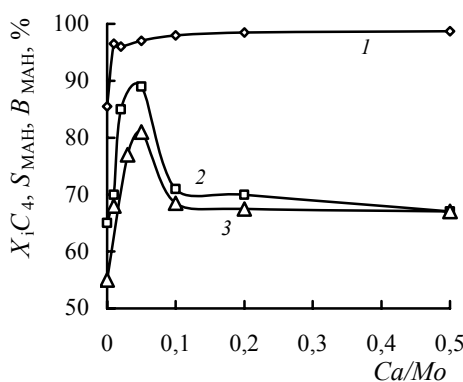


Рис. 1. Вплив вмісту промотуючої добавки іонів Ca^{2+} на конверсію $i\text{-C}_4\text{H}_8$ (1), селективність утворення (2) і вихід МАН (3) ($T_p = 633 \text{ K}$; $\tau = 3,2 \text{ с}$)

Аналогічні результати впливу промотування на каталітичні властивості досліджуваного катализатора (при $T_p = 633 \text{ K}$ і $\tau_k = 4,8 \text{ с}$) наведено у табл. 1, у якій також подано величини їх питомої поверхні та кислотні властивості. Максимальну загальну кислотність має катализатор із співвідношенням Ca/Mo = 0,05, який, як зазначалось, забезпечує максимальну селективність і найбільший вихід МАН. Аміак, що адсорбується на кислотних центрах цього катализатора, характеризується мінімальною температурою максимуму піка термодесорбції і мінімальною енергією активації термодесорбції. Це означає, що найефективніший катализатор має максимальну кількість центрів адсорбції аміаку, але сила його адсорбції є мінімальною.

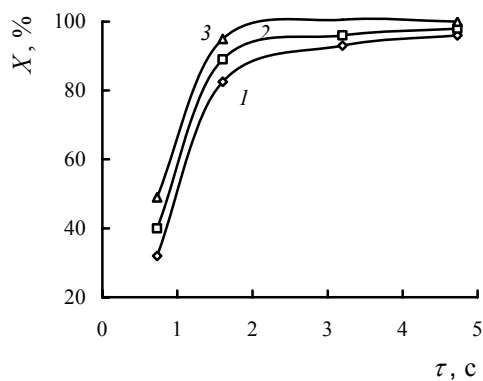


Рис. 2. Вплив часу контакту на конверсію $i\text{-C}_4\text{H}_8$ за температури 603 (1), 633 (2) і 663 K (3)

Таблиця 1. Фізико-хімічні властивості Fe-Te-Mo-O-катализаторів, промотованих іонами Ca^{2+} (атомне співвідношення Fe:Te:Mo = 1:0,85:1). Хемосорбція NH_3 : 343 K, $V_{\text{імп}} = 0,1 \text{ см}^3$, термодесорбція 16 K/xв

Ca/Mo	$S_{\text{піт}}$, $\text{м}^2/\text{г}$		Кислотність поверхні*				Кatalітичні властивості**			
	до роботи	після роботи	$V_a \cdot 10^3$, $\text{ммоль}/\text{м}^2$	$V_d \cdot 10^3$, $\text{ммоль}/\text{м}^2$	T_m, K	$E_a, \text{кДж}/\text{моль}$	$N_u \cdot 10^{18}$, центрів/ м^2	$X_{i\text{-C}_4}, \%$	$S_{\text{МАН}}, \%$	$B_{\text{МАН}}, \%$
0	10,7	0,8	3,2	2,7	403	80	1,9	91,0	60,0	54,6
0,01	8,7	1,2	3,8	2,9	408	75	2,2	97,3	64,6	62,9
0,02	8,2	1,1	4,0	2,9	398	72	2,4	97,7	79,3	77,4
0,05	5,2	0,6	4,7	2,7	391	68	2,8	98,0	83,2	81,5
0,10	5,0	0,7	4,2	2,5	403	76	2,6	99,1	61,1	60,5
0,20	7,5	1,2	3,5	2,4	393	75	2,2	99,5	58,2	57,9
0,50	8,2	1,9	3,3	2,6	393	78	2,0	100,0	53,0	53,0

* V_a – кількість адсорбованого аміаку на поверхні за температури 343 K; V_d – кількість десорбованого з поверхні аміаку; T_m – температура максимуму термодесорбційного піка при програмі 16 K/xв; E_a – енергія активації термодесорбції аміаку.

** Кatalітичні властивості, визначені за температури 633 K і $\tau_k = 4,8$; $X_{i\text{-C}_4}$, $S_{\text{МАН}}$, $B_{\text{МАН}}$ – конверсія $i\text{-C}_4\text{H}_8$, селективність та вихід МАН відповідно.

Разом з тим, як видно з поданих у табл. 2 результатів дослідження адсорбції та термодесорбції ТБС, на одиниці поверхні катализатора з атомним співвідношенням Ca/Mo = 0,05 адсорбується максимальний об'єм ТБС так, що ступінь покриття поверхні катализатора близька до одиниці. Одержані результати свідчать, що на досліджуваних катализаторах є два види центрів адсорбції ТБС. Перший – центри слабкої адсорбції у температурному інтервалі 375–395 K, з яких термодесорбція аміаку проходить за низької (22–40 кДж/моль) теплотою активації термодесорбції і з виділенням ТБС і $i\text{-C}_4\text{H}_8$ у продуктах десорбції. Очевидно, це центри зворотної адсорбції, які не причетні до перебігу каталітичного процесу. На адсорбційних центріях другого виду термодесорбція ТБС відбувається за значно вищої температури (620–690 K) з більшою теплотою активації термодесорбції (50–80 кДж/моль) і виділенням у продуктах десорбції $i\text{-C}_4\text{H}_8$, MA, CO_2 і CO, тобто продуктів окиснення ізобутену. Можна допустити, що саме на цих центріях ТБС перетворюється в $i\text{-C}_4\text{H}_8$, який окиснюється до MA. За наявності в РС аміаку він адсорбується на кислотних центріях, частково окиснюючись з виділенням води і утворенням адсорбованого іміну ($>\text{NH}$), який, взаємодіючи з адсорбованим MA, утворює МАН. На катализаторі з атомним співвідношенням Ca/Mo = 0,05 є максимальна і приблизно однакова кількість центрів адсорбції аміаку та реакційних центрів, на яких ТБС перетворюється в MA (табл. 1, 2).

Таблиця 2. Адсорбція і термодесорбція ТБС на поверхні Fe-Te-Mo-O-кatalізаторів, промотованих іонами Ca^{2+} (Тадс – 343 К; термодесорбцію проводили при програмуванні температури 160°ХВ)

Ca/Mo	Об'єм адсорбованого ТБС $V \cdot 10^3$, ммоль/м ²	$N_{\text{ц}} \cdot 10^{18}$ адсорбції ТБС, центр/м ²	Ступінь покриття поверхні катализатора ТБС, % мношару	Термодесорбція			
				Перший пік		Другий пік	
				T_m , К	$E_{\text{д}} \text{ кДж/моль}$	T_m , К	$E_{\text{д}} \text{ кДж/моль}$
0	3,8	2,3	0,72	375	22	660	75
0,01	4,0	2,4	0,76	373	20	663	76
0,02	4,3	2,6	0,82	370	39	683	74
0,05	5,5	3,3	1,05	368	40	693	83
0,10	3,4	2,0	0,65	368	29	623	57
0,20	3,0	1,8	0,57	386	27	640	55
0,50	2,8	1,7	0,54	395	26	657	50

На даному катализаторі дослідили вплив часу контактування за температури 603, 633 і 663 К на окиснювальний амоніоліз суміші, % (мол.): ТБС – 2, NH_3 – 3, O_2 – 5, He – 90. Вплив часу контакту на конверсію $i\text{-C}_4\text{H}_8$ представлено на рис. 2. Час контакту, необхідний для досягнення практично повної конверсії ізобутену, зростом температури реакції закономірно зменшується.

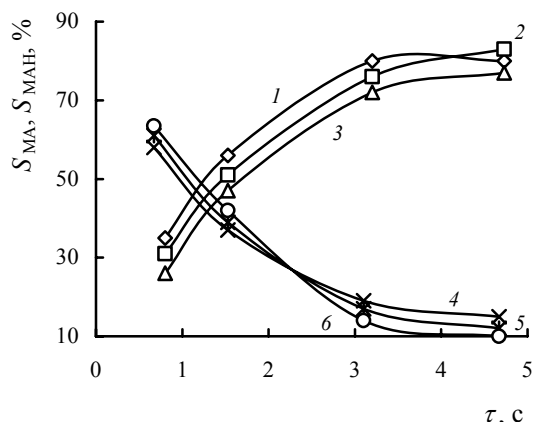


Рис. 3. Вплив часу контакту на селективність утворення МАН (1–3) та МА (4–6) при 603 К (1, 4), 633 К (2, 5) і 663 К (3, 6)

Селективність утворення МА в дослідженному інтервалі температур є майже незмінною і зі зростанням часу контакту зменшується. Разом з тим селективність утворення МАН зменшується на 8–10 % із зростанням температури реакції від 603 до 663 К і збільшується із зростанням часу контакту в інтервалі 0,8–4,8 с від 25–35 до 75–85 % (рис. 3). Це означає, що основним шляхом утворення МАН є взаємодія адсорбованого на поверхні катализатора МА з адсорбованим на кислотних центрах аміаком. Максимальний вихід МАН – 82 % – досягнуто за температури 633 К і часі контакту 4,8 с (рис. 4).

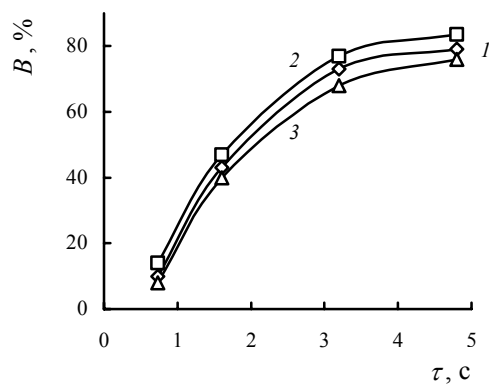


Рис. 4. Вплив часу контакту на вихід МАН за температури 603 (1), 633 (2) і 663 K (3)

Таблиця 3. Відновлення $\text{FeTe}_{0,85}\text{MoCa}_{0,05}\text{O}_x$ -катализатора імпульсами ВС (5 % (об.) ТБС в гелії) ($T = 663$ К, $V_{\text{імп}} = 5,5$ см³, $V_n = 0,55$ см³/с, $S_{\text{кат}} = 2,6$ м²)

Номер імпульсу	$X_{\text{i}-\text{C}_4\text{H}_8}$, %	$S_{\text{МА}}$, %	S_{CO_2} , %	S_{CO} , %	$W_{\text{i}-\text{C}_4\text{H}_8} \cdot 10^6$, моль/(м ² ·с)	Ступінь відновлення катализатора, % мношару
1	97,2	50,5	40,8	8,6	1,29	70
2	88,7	67,5	23,6	8,9	1,20	150
3	88,7	76,5	16,5	7,1	1,18	214
4	87,2	88,2	5,80	6,0	1,21	289
5	87,6	91,7	2,00	6,3	1,19	362
.....
15	74,3	91,0	2,4	6,6	0,87	619
.....
25	33,9	85,4	4,3	10,3	0,52	745
.....
45	9,0	85,0	5,2	8,8	0,15	925

Оскільки в досліджуваний процес як головна входить стадія окиснення ізобутену, яка реалізується за участю поверхневого кисню кристалічної гртки катализатора [3], доцільно було вивчити вплив вилучення поверхневого кисню на швидкість топохімічного відновлення поверхні ізобутеном і селективність утворення МА. На катализатор з оптимальним вмістом промотору послідовно подавали імпульси відновлюючої суміші (ВС) – 5 % (мол.) ТБС у гелії, за температури 663 К. Наведені у табл. 3 результати дозволяють зробити певні висновки:

– при вилученні в першому імпульсі ВС 70 % мношару кисню конверсія в наступному імпульсі зменшується на 10 %, а селективність утворення МА зростає на 17 %;

– у подальших чотирьох послідовних імпульсах ВС з поверхні катализатора вилучається близько трьох мношарів кисню. Конверсія ізобутену при цьому залишається практично незмінною, а селективність утворення МА зростає від 67 до 92 %;

– під час подальшої подачі 40 імпульсів ВС ступінь відновлення каталізатора зростає до дев'яти моншарів, при цьому його активність різко падає, а селективність утворення МА суттєво не змінюється.

Це означає, що адсорбований на поверхні каталізатора кисень спричинює деструктивне і повне окиснення ізобутену. Коли в перших імпульсах ВС цей слабкоз'язаний кисень використовується, то в подальшому топохімічне відновлення здійснюється за рахунок кисню поверхневих шарів кристалічної гратки з різким збільшенням селективності утворення МА. З видленням кисню з поверхневих шарів кристалічної гратки його поверхнева концентрація поступово зменшується, що й спричинює зниження швидкості топохімічного відновлення поверхні ізобутеном. Таким чином, часткове відновлення поверхні досліджуваного каталізатора реакційною сумішшю, не зменшуючи суттєво його активності, підвищує селективність неповного окиснення ТБС.

Процес окиснюваного амонолізу ТБС поєднує стадії окисно-відновного і кислотно-основного гетерогенного каталізу, і промотування Fe-Te-Mo-O-каталізатора іонами Ca^{2+} дозволяє оптимізувати як кислотно-основні, так і окисно-відновні властивості каталітичної поверхні, що забезпечує досягнення більш ніж 80 % виходу МАН.

Література

1. Федевич Е.В., Крылова В.В., Жизневский В.М. и др., *Хим. пром-сть*, 1980, (6), 335.
2. Кожарский В.А., *Автореф. дис.* ... канд. хим. наук, Львов, 1985.
3. Жизневский В.М., Федевич Е.В., *Катализические процессы получения акрилатных мономеров*, Львов, Сvit, 1991.
4. Кхан Мд. Рахман, *Автореф. дис.* ... канд. хим. наук, Львов, 1977.
5. Роксана М.Н., *Автореф. дис.* ... канд. хим. наук, Львов, 1991.
6. Дрончова Э., *Автореф. дис.* ... канд. хим. наук, Львов, 1988.
7. Жизневский В.М., *Автореф. дис.* ... д-ра хим. наук, Москва, 1982.
8. Щукин В.П., Веняминов С.А., *Кинетика и катализ*, 1971, **29** (3), 53.
9. Рубаник М.Я., Гороховатский Я.Б., *Неполное катализическое окисление олефинов*, Київ, Техника, 1964.
10. Харламов В.В., Богомолов В.М., Мирзабаев Н.В. и др., *Журн. физ. химии*, 1976, **50** (2), 343 .

Надійшла до редакції 26 квітня 2001 р.

Окислительный аммонолиз *трет.*-бутилового спирта на железо-теллур-молибден-оксидном катализаторе, промотированном ионами кальция

В.М. Жизневский^a, Е.В. Федевич^b, Г.С. Караман^a

^aГосударственный университет "Львівська політехніка",
Украина, 79013 Львов, ул. С. Бандери, 12; факс : (380-322) 74-41-43;

^bЛьвовский государственный аграрный университет,
Украина, 29040 Дубляны Львовской обл.; факс: (0322) 79-32-31

Исследовано промотирующее действие ионов Ca^{2+} на свойства Fe-Te-Mo-O-катализатора окислительного аммонолиза *трет.*-бутанола в метакрилонитрил. Максимальный выход целевого продукта достигается на катализаторе, содержащем промотор в количестве, соответствующем атомному соотношению $\text{Ca/Mo} = 0,05$. Установлено, что метакрилонитрил образуется путем окислительного аминирования продукта неполного окисления *трет.*-бутанола – метакролеина. В оптимальных условиях ($T = 633$ К, $\tau = 4,8$ с) выход метакрилонитрила достигает 82 %.

Oxidative ammonolysis of tertiary butyl alcohol on Fe-Te-Mo-O-catalyst promoted by Ca²⁺ ions

V.M. Zhyznevskii^a, E.V. Fedevych^b, G.S. Karaman^a

^aState university "Lviv Polytechnic", 12, S. Bandery Str., Lviv, 79013, Ukraine, Fax: (380-322) 74-41-43;

^bLviv State Agricultural University, Lviv-Dubljany, 29040, Ukraine, Fax: (0322) 79-32-31

Catalytic properties of Fe-Te-Mo-O-catalyst promoted by ions of Ca²⁺ in the reaction of oxidation ammonolysis of tertiary butyl alcohol have been investigated. Maximum output of metacrylonitrile has been achieved when using catalyst with atomic correlation Ca/Mo = 0,05. In optimal conditions ($T = 633$ K, $\tau = 4,8$ s) the yield of metacrylonitrile is about 82 %.

НАЙСУЧАСНІШІ СЕРТИФІКАЦІЙНІ ПОСЛУГИ – ГАРАНТ УСПІШНОГО БІЗНЕСУ!

Орган з сертифікації “СЕПРОНАФТОTERM” ІБОНХ НАН України
Атестат акредитації в Системі УкрСЕПРО № UA4.001.109 від 02.08.99 р.

“СЕПРОНАФТОTERM” працює на ринку сертифікаційних послуг протягом 5 років.
Орган проводить сертифікацію:

- ◆ нафтопродуктів (моторних олів, автомобільних бензинів, дизельного палива, пластичних мастил, бітумів);
- ◆ хімічної продукції технічного призначення (автохімії);
- ◆ лакофарбових матеріалів і розчинників до них;
- ◆ миуючих засобів (рідких, порошкоподібних, піномиуючих і т. д.);
- ◆ шампунів, мил, відбілювачів;
- ◆ засобів для укладання волосся, барвників;
- ◆ парфумерно-косметичної продукції і т. д.

“СЕПРОНАФТОTERM” у своєму розпорядженні має власні лабораторії на базі Інституту біоорганічної хімії та нафтохімії НАН України. В органі з сертифікації працюють провідні спеціалісти в галузі нафтопереробки та біоорганічної хімії. Все це дозволяє керівництву “СЕПРОНАФТОTERM” проводити гнучку цінову політику під час роботи з замовниками. У разі заявки на сертифікацію широкого асортименту продукції ціни обговорюються додатково.

На сертифікацію можуть бути заявлені як окремі партії продукції, так і продукція, що випускається серійно. Оптимальна схема сертифікації вибирається, виходячи з інтересів замовника з урахуванням останніх змін в Системі УкрСПРО.

Орган з сертифікації “СЕПРОНАФТОTERM” запрошує підприємства, організації, фірми, що займаються виробництвом та імпортом продукції, до взаємовигідного співробітництва.

Сучасне лабораторне устаткування, кваліфікований персонал, неупередженість у виконанні робіт і їх об'єктивність роблять “СЕПРОНАФТОTERM” Вашим надійним партнером!

Телефон: 552-70-59

Окислительный аммонолиз изобутилена на Sb-Mo-O-катализаторах, промотированных оксидами теллура и ванадия

В.М. Жизневский, В.В. Гуменецкий, Л.В. Бажсан, С.В. Майкова

Государственный университет "Львівська політехніка",
Украина, 79013 Львов, ул. С. Бандери, 12; факс : (380-322) 74-41-43

В проточной системе с импульсной подачей реакционной смеси изучены каталитические свойства системы Sb-Mo-O с различным отношением Sb:Mo, промотированной оксидами теллура и ванадия, в реакции окислительного аммонолиза изобутилена в метакрилонитрил.

В процессах пиролиза и каталитического крекинга нефтяного сырья в качестве побочного продукта образуется фракция углеводородов C₄, в которой содержится до 20 % (мол.) изобутилена [1]. Окислением и окислительным аммонолизом изобутилена можно получить соответственно метакролеин (МА) и метакрилонитрил (МАН). Дальнейшим окислением МА получают метакриловую кислоту (МАК).

Наиболее подробные исследования реакций парциального окисления пропилена и изобутилена выполнены в 60–70-х годах XX ст. Благодаря этим работам процесс окисления пропилена в акролеин и далее – в акриловую кислоту внедрен в промышленность. Для окисления изобутилена в МА тоже предложены эффективные катализаторы. Разработка катализаторов для второй стадии этого процесса сопровождалась значительными трудностями в подборе селективного контакта. Этой проблеме посвящены и многие работы авторов этой статьи [2]. Общий выход МАК по двум стадиям составляет 70–75 % без рециркуляции МА. Промышленное производство МАК окислением изобутилена в МА и далее – в МАК существует только в Японии. Строительство установки для производства МАК по указанной схеме было начато и в бывшем Союзе, однако в связи с известными событиями и отсутствием финансирования оно прекращено. Поэтому интерес к этому процессу в последние годы исчез. Как показывают выполненные нами исследования, более высокие результаты получают окислительным аммонолизом изобутилена. Из МАН можно синтезировать МАК и ее производные. Снижение интереса к процессу окисления изобутилена, вероятно, связано с тем, что в Европе его в основном используют для получения метил-*трет.*бутилового эфира – высокооктановой добавки к бензинам.

Нитрилы акриловой и метакриловой кислоты являются ценными мономерами химической промышленности. На их основе получают полимерные волокна, морозостойкие нитрильные каучуки, полимерные смолы, присадки к маслам, акриловую или метакрило-

вую кислоты и другие продукты. Наиболее рациональным методом их получения является окислительный аммонолиз пропилена или изобутилена в присутствии соответствующих оксидных катализаторов.

Цель нашей работы – получение эффективного катализатора для окислительного аммонолиза изобутилена путем промотирования исходной Sb-Mo-O-системы оксидами теллура и ванадия.

В процессах парциального окисления пропилена [3] и изобутилена [2] катализаторы на основе оксидов сурымы (Sb₂O₃) и молибдена (MoO₃) имеют невысокую активность и селективность, а в реакции окислительного аммонолиза изобутилена такие катализаторы не исследованы. Известно также, что оксиды ванадия повышают активность, а оксиды теллура – селективность катализаторов парциального окисления [2].

Как показано в работе [4], добавление теллура к Cr-Mo-O-катализатору окисления олефинов уменьшает количество льюисовских кислотных центров, на которых хемосорбция олефинов идет по двойной связи с возможным ее разрывом и образованием продуктов деструкции, что снижает селективность катализатора. Добавление TeO₂ к Ce-Sb-O_x- и Ce-Mo-O_x-катализаторам, имеющим низкую селективность по акрилонитрилу, значительно улучшает их каталитические свойства [5]. Оксид теллура повышает дефектность решетки катализатора и подвижность кислорода решетки, признаком которой является повышенная адсорбционная емкость катализатора по кислороду [5].

Представлялось целесообразным исследовать каталитические свойства Sb-Mo-O-катализаторов, промотированных добавками оксидов теллура и ванадия, в реакции окислительного аммонолиза изобутилена.

Для окислительного аммонолиза изобутилена в МАН предложены различные многокомпонентные катализаторы. Состав и свойства некоторых из них приведены в обзоре [6], а подробно этот процесс изучен в работе [7] на Bi-Mo-W-O_x-катализаторе с добавлением SiO₂. В оптимальных условиях выход МАН при 733 К и времени контакта 6 с составляет 65–70 %.

Экспериментальная часть

Для приготовления катализаторов использовали Sb_2O_3 , гексамолибдат аммония, теллурную кислоту и ванадит аммония. Удельную поверхность катализаторов после их активации реакционной смесью определяли методом тепловой десорбции аргона в хроматографической установке [8], а поверхностную кислотность – по хемосорбции NH_3 при 343 К до полного насыщения поверхности катализатора и определения количества поглощенного NH_3 хроматографическим методом [9].

Катализитические свойства приготовленных катализаторов определяли в проточной импульсной установке с хроматографическим анализом исходных и конечных продуктов реакции. Состав катализаторов приведен в табл. 1, а результаты исследований – на рис. 1–6.

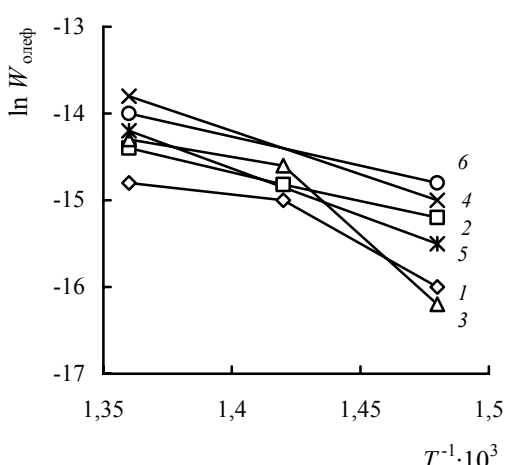


Рис. 1. Зависимость логарифма скорости ($\ln W_{\text{олеф}}$) превращения изобутилена от обратной температуры на различных по составу катализаторах при $\tau = 0,6$ с. Здесь и на рис. 2–4: кривые 1–6 соответствуют K_1 – K_6 из табл. 1. Здесь и на рис. 2–6: импульсная проточная установка: $V_{\text{имп}} = 6,2 \text{ см}^3$; $V_n = 0,56 \text{ см}^3/\text{с}$; состав смеси, % (мол.): $i\text{C}_4\text{H}_8$ – 2, O_2 – 5, NH_3 – 3 в He

Добавление оксида Te в систему $\text{Sb}_2\text{Mo}_3\text{O}_x$ и увеличение его концентрации снижали удельную поверхность и поверхностную кислотность катализатора, а оксида ванадия – наоборот, повышали их (табл. 1).

Таблица 1. Состав исследованных катализаторов и их физико-химические свойства

Катализатор	Состав, ат.ч.	$S_{\text{уд}}$, $\text{м}^2/\text{г}$	Кислотность, $\text{cm}^3\text{NH}_3/\text{м}^2$	$E_{\text{эф}} \pm 5$, kДж/моль
K_1	$\text{Mo}_3\text{Sb}_2\text{Te}_{0,1}\text{O}_x$	2,8	0,015	70,0; 21,0
K_2	$\text{Mo}_3\text{Sb}_2\text{Te}_{0,2}\text{O}_x$	1,0	0,012	31,0
K_3	$\text{Mo}_3\text{Sb}_2\text{Te}_{0,2}\text{V}_{0,1}\text{O}_x$	1,1	0,015	118; 21,0
K_4	$\text{Mo}_3\text{Sb}_2\text{Te}_{0,2}\text{V}_{0,2}\text{O}_x$	1,2	0,018	45,0
K_5	$\text{Mo}_{12}\text{SbTeO}_x$	1,26	0,029	49,0
K_6	$\text{Mo}_{12}\text{SbTe}_2\text{O}_x$	0,9	0,025	31,0

На рис. 1 приведена температурная зависимость скорости превращения олефина ($\ln W_{\text{олеф}} - 1/T$) при минимальном времени контакта (0,6 с), т. е. при невысокой степени превращения изобутилена. Скорость окисления определяли по формуле

$$W = \frac{X C_{\text{ол}} V_n}{2240 g S_{\text{уд}}}, \text{ моль}/(\text{м}^2 \cdot \text{с}),$$

где X – конверсия, доли единицы; $C_{\text{ол}}$ – концентрация, % (моль); V_n – скорость потока, $\text{см}^3/\text{с}$; g – масса катализатора, г; $S_{\text{уд}}$ – удельная поверхность катализатора, $\text{м}^2/\text{г}$.

На катализаторах K_1 , K_3 наблюдался излом прямой при температуре выше 703 К, на всех других катализаторах – линейная зависимость. Излом прямых для K_1 , K_3 можно объяснить тем, что на рис. 1 приведена зависимость $\ln W$ от $1/T$, а не константы скорости, на которые не влияет концентрация реагентов.

Скорость же зависит от концентрации и поэтому при высоких степенях превращения может не наблюдаться прямолинейной зависимости. В связи с этим в табл. 1 приведены эффективные энергии активации ($E_{\text{эф}}$), рассчитанные в интервале температур 673–703 К. Видно, что исследованные катализаторы располагаются в следующие ряды (табл. 1): $K_3 > K_1 > K_5 > K_4 > K_2 = K_6$, по конверсии изобутилена при 703 К (в скобках указана конверсия) и времени контакта (τ) 0,6 с: K_1 (21,0) $> K_4(16,0) > K_5(13,0) > K_3(11,0) > K_2(10,0) > K_6(8,0)$, по удельной скорости превращения олефина (в скобках – $W_{\text{уд}} \cdot 10^7$, моль/($\text{м}^2 \cdot \text{с}$)) в этих же условиях: $K_6(6,8) > K_5(5,0) > K_3(4,4) > K_4(4,0) > K_2(3,6) > K_1(2,7)$.

На рис. 2 приведена зависимость конверсии олефина от температуры при $\tau = 2,4$ с для исследованных катализаторов. При 733 К конверсия олефина уменьшалась в ряду $K_1 > K_4 > K_5 > K_3 > K_6 > K_2$.

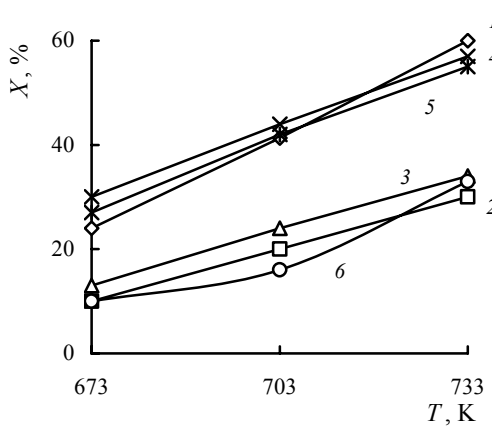


Рис. 2. Зависимость конверсии (X , %) изобутилена от температуры на катализаторах K_1 – K_6 , соответственно кривые 1–6

При высокой температуре и большом τ минимальную активность имели катализаторы с наименьшей энергией активации (K_2, K_6). Сопоставление конверсии олефина с составом катализаторов показало, что увеличение концентрации оксида Тe в катализаторе (K_1, K_2) снижало его активность (рис. 2): на K_1 при 733 К и $\tau = 2,4$ с конверсия составляла 60 %, на K_2 – 30 %. Добавление оксида ванадия в катализатор и увеличение его концентрации (K_3, K_4) значительно повышали активность. На K_3 при 733 К и $\tau = 2,4$ с конверсия олефина составляла 34 %, на K_4 – 57 % (рис. 2).

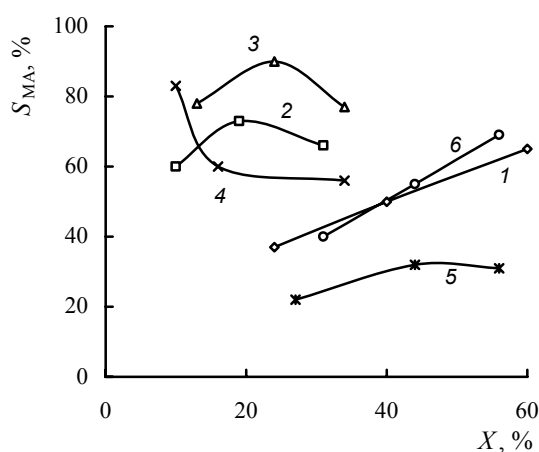


Рис. 3. Зависимость селективности по МА (S_{MA} , %) от конверсии изобутилена (X, %) при $T = 673 - 733$ К и $\tau = 2,4$ с

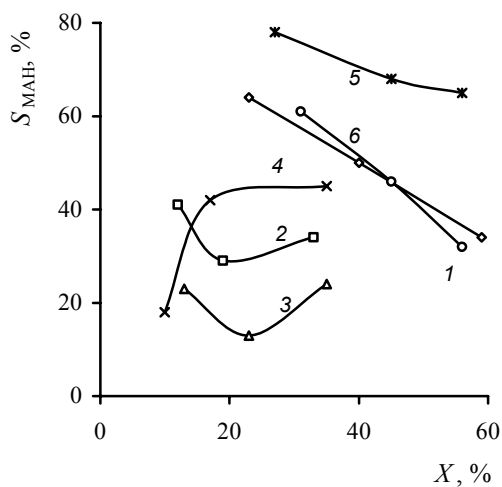


Рис. 4. Зависимость селективности по МАН ($S_{МАН}$, %) от конверсии изобутилена (X , %), обозначения см. рис. 3

На рис. 3 и 4 приведены зависимости селективности по МА (рис. 3) и МАН (рис. 4) от степени превращения олефина при $\tau = 2,4$ с. Видно, что с увеличением селективности по МА селективность по МАН уменьшалась. Причем избирательность по МАН значительно снижалась с повышением конверсии или температуры реакции. Следовательно, можно пред-

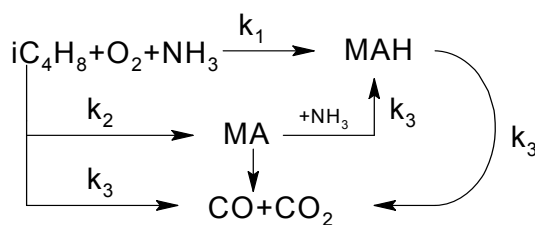
положить, что реакция образования МАН протекает по параллельно-последовательной схеме. Катализатор K_5 имеет максимальную селективность по МАН, а также высокую степень превращения олефина (56 %) при 733 К и $\tau = 2,4$ с. В изученных условиях его можно считать лучшим по выходу МАН. Для выяснения пути образования МАН исследовано окисление изобутилена кислородом, изобутилена и МА кислородом в присутствии NH_3 , в импульсной установке на катализаторе K_5 . Исходные концентрации реагентов в гелии составляли, % (мол.): изобутилен – 5, МА – 5, кислород – 10, NH_3 – 10.

Полученные результаты приведены в табл. 2. Из нее видно, что максимальная степень превращения органического соединения наблюдалась для смеси, содержащей МА. Далее следует смесь изобутилена с кислородом и наименее реакционноспособная смесь изобутилена с кислородом и NH_3 . Отмечена и более высокая селективность по МАН при окислительном аммонолизе МА по сравнению с окислительным аммонолизом изобутилена.

Таблица 2. Окисление изобутилена в МА и окислительный аммонолиз МА и изобутилена на катализаторе K₅₅. Импульсная установка V_{имп} = 6,2 см³, T = 733 К, τ = 2,4 с

Состав смеси	Конверсия, %	Селективность, %		
		МА	МАН	CO+CO ₂
Изобутилен + O ₂	80	78	—	22,0
Изобутилен + O ₂ +NH ₃	52	20,5	75	4,5
МА + O ₂ + NH ₃	85	—	87	13,0

Следовательно, NH_3 , присутствующий в реакционной смеси, значительно тормозит реакцию окисления изобутилена, очевидно, блокируя кислотные центры поверхности и в первую очередь сильные кислотные центры, на которых идут процессы глубокого окисления (наблюдалось снижение выхода $\text{CO} + \text{CO}_2$). Влияние поверхностной кислотности катализаторов на активность подтверждается данными об их кислотности, приведенными в табл. 1. Чем выше кислотность катализатора в системах $\text{Sb}_2\text{Mo}_3\text{O}_x$ и $\text{Mo}_{12}\text{SbO}_x$, тем выше конверсия олефина (рис. 2). Из сопоставления реакционной способности вышеуказанных смесей можно сделать вывод, что МАН образуется в результате взаимодействия МА с NH_3 , а лимитирующей стадией процесса является стадия образования промежуточного продукта – МА. Схему реакции можно представить следующим образом:



На рис. 5 приведена зависимость селективности образования МА и МАН от времени контакта (или соответственно от степени превращения изобутилена) при различных температурах. Видно, что при 673–703 К селективность по МА повышалась, а по МАН снижалась с ростом температуры. При 733 К наблюдалась обратная зависимость, которую, вероятно, можно объяснить различной энергией активации этих реакций и доокислением указанных продуктов при высоких температурах, о чем свидетельствует и снижение селективности по МАН при $\tau > 1,2$ с.

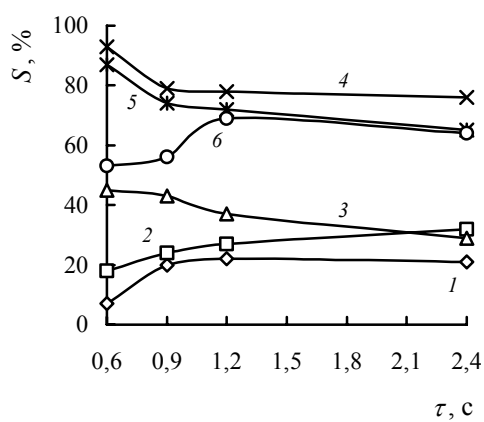


Рис. 5. Зависимость селективности ($S, \%$) по МА (кривые 1–3 соответственно при $T = 673, 703, 733$ К) и МАН (кривые 4–6 соответственно при $T = 673, 703, 733$ К) от времени контакта ($\tau, \text{с}$) на оптимальном катализаторе K_5 из табл. 1

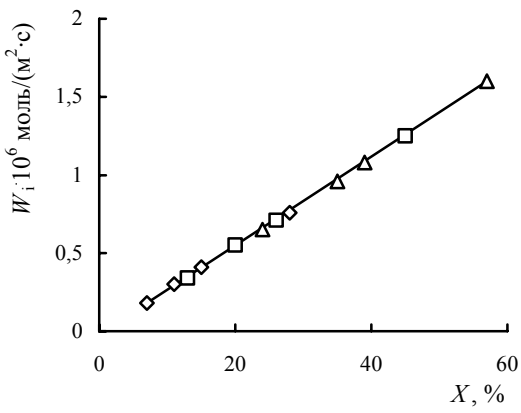
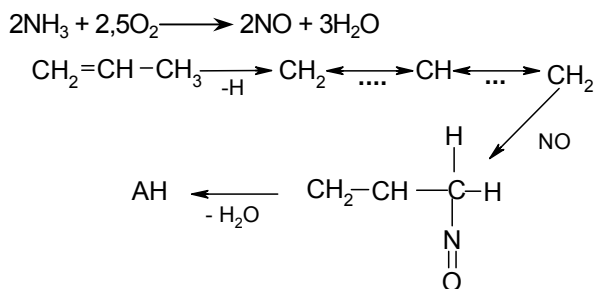


Рис. 6. Зависимость скорости превращения изобутилена ($W \cdot 10^6 \text{ моль}/(\text{м}^2 \cdot \text{с})$) от степени превращения олефина ($X, \%$) на K_5 при $T = 673\text{--}733$ К: ◊ – 673 К; □ – 703 К; Δ – 733 К

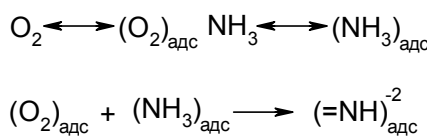
На рис. 6 представлена зависимость брутто-скорости превращения изобутилена от степени превращения олефина на K_5 . Наблюдаются линейная зависимость при всех исследованных температурах. Со-

гласно [10], это свидетельствует о первом порядке суммарного процесса по олефину, что согласуется с данными работы [11], в которой исследованы кинетика и механизм реакции окислительного аммонолиза изобутилена и установлен первый порядок по олефину для брутто-реакции и реакций образования продуктов при концентрации кислорода большей, чем минимальная. Обсуждая механизм образования МАН, авторы этой работы полагают, что NH_3 присоединяется к изобутилену по двойной связи, образуя амин и далее – нитрил.

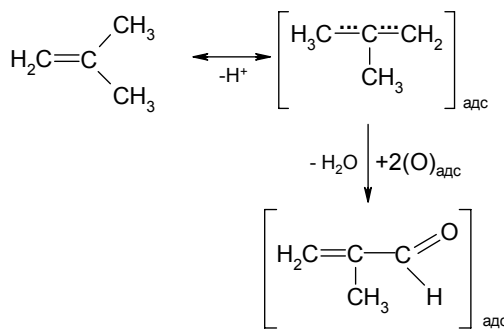
В работе [12] высказано предположение, что образование акрилонитрила (АН) идет через стадию окисления NH_3 до NO:



Таким образом, нет единого мнения о механизме образования нитрилов и этот вопрос требует более детального изучения. Наши исследования показали, что МАН может возникать и из промежуточного продукта МА. В этом случае более достоверной является схема, предложенная в работе [3] для реакции окислительного аммонолиза пропилена, в которой авторы предположили, что активация хемосорбированного на поверхности катализатора NH_3 происходит в результате его взаимодействия с адсорбированным кислородом и образованием активированной группы $(\text{NH})_{\text{адс}}$, адсорбирующейся на поверхности катализатора:

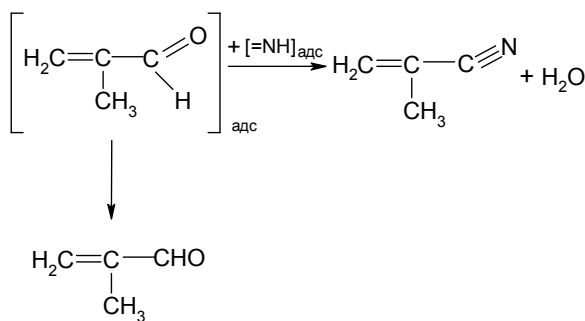


Активация изобутилена, как показано во многих работах происходит в результате отрыва атома водорода и образования π -аллильного радикала:

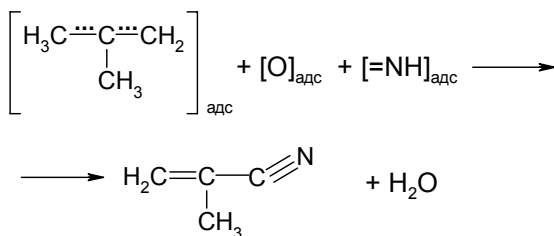


Из последнего далее образуется МА в результате отрыва второго атома водорода и присоединения кислорода. МА хемосорбированный на поверхности катализато-

ра может десорбироваться с поверхности или же прореагировать с группой ($=\text{NH}$)_{адс} с образованием МАН:



Вероятно, нитрил может возникать и непосредственно из изобутилена в результате взаимодействия активированной группы $=\text{NH}$ с π -аллильным радикалом и кислородом катализатора:



Выходы

Изучен окислительный аммонолиз изобутилена в МАН на Sb-Mo-O_x-катализаторах с добавкой оксидов теллура и ванадия. Определен оптимальный по выходу МАН состав катализатора. Показано, что добавление оксида теллура снижает активность катализатора и увеличивает его селективность по МАН, а оксида ванадия – повышает активность.

Установлено, что реакция образования МАН протекает по последовательно-параллельной схеме с промежуточным формированием МА. Лимитирующей стадией процесса является стадия образования МА. Скорость брутто-процесса имеет первый порядок по

олефину.

Литература

- Лебедев Н.Н., *Химия и технология основного органического и нефтехимического синтеза* Москва, Химия, 1988.
- Жизневский В.М., Автореф. дис. ... д-ра хим. наук, Москва, 1982.
- Лазукин В.И., Автореф. дис. ... канд. хим. наук, Киев, 1966.
- Кузнецов В.А., Автореф. дис. ... канд. хим. наук, Киев, 1966.
- Штырьков В.Н., Фролкина И.Т., Кулькова Н.В. и др., *Кинетика и катализ*, 1977, **18**, Вып.1, 144.
- Seebot H., Freiberg J., Lücke B., *Chem. Techn. (DDR)*, 1978, **30** (9), 465.
- Мехтиев С.И., Гусейнов А.Г., Мамедов Р.Г., Фирстов Я.В., *Нефтехим синтезы*, Баку, 1976, Вып. 3, 138.
- Проблемы теории и практики исследований в области катализа*, Под. ред. В.А. Ройтера, Киев, Наук. думка, 1973.
- Навалихина М.Д., Романовский Б.В., Топчиева К.В., Демкин В.В., *Кинетика и катализ*, 1972, **13**, 341.
- Важнова Т.Г., Корчак В.Н., Тимошенко В.И., Крылов О.В., Слинько М.Г., *Кинетика и катализ*, 1988, **29** (2), 392–397.
- Мехтиев С.И., Далин М.А., Гусейнов А.Г., *Нефтехимия*, 1972, **12** (1), 147.
- Menon P.G., *J. Catalysis*, 1979, **59**, 314.
- Колчин И.К., Гуськов К.А., Скалкина Л.В., *Хим. пром-сть*, 1965, (12), 881.

Поступила в редакцию 4 января 2001 г.

Окислювальний амоноліз ізобутилену на Sb-Mo-O-катализаторах, промотованих оксидами телуру і ванадію

В.М. Жизневський, В.В. Гуменецький, Л.В. Бажсан, С.В. Майкова

Державний університет "Львівська політехніка",
Україна, 79013 Львів, вул. С. Бандери, 12; факс: (380-322) 74-41-43

У проточній системі з імпульсною подачею реакційної суміші вивчено каталітичні властивості Sb-Mo-O-системи з різним відношенням Sb:Mo, промотованої оксидами телуру і ванадію, у реакції окиснювання амонолізу ізобутилену в метакрилонітрил.

Oxidizing ammonolysis of iso-butylene on Sb-Mo-O-catalysts, promoted by oxides tellurium and vanadium

V.M. Zhiznevskii, V.V. Gumenetckii, L.V. Bazhan, S.V. Maikova

*State University "Lviv Polytechnica", 12, S. Bandery Str.,
Lviv, 79013, Ukraine; Fax: (380-322) 74-41-43*

Catalytic properties of Sb-Mo-O system with different Sb:Mo ratio promoted by oxides of tellurium and vanadium, in reaction of oxidative ammonolysis of isobutylene in methylacrylonitrile have been studied in a flowing system with impulsive delivery of a reaction mixture.

СЕНСАЦИЯ! ВОССТАНОВЛЕНИЕ ДВИГАТЕЛЕЙ ВНУТРЕННЕГО СГОРАНИЯ БЕЗ РАЗБОРКИ!

Технология восстановления компрессии в цилиндрах двигателей внутреннего сгорания без разборки

Величина компрессии в цилиндрах двигателя и давление масла в системе смазки – основные показатели технического состояния двигателя внутреннего сгорания. Снижение компрессии в цилиндрах влияет на ухудшение воспламенения и сгорания горючей смеси. В результате ухудшаются пусковые качества двигателя, его мощностные, экологические и экономические параметры.

В Институте биоорганической химии и нефтехимии НАН Украины разработана технология восстановления двигателей без разборки, позволяющая повысить компрессию в цилиндрах до номинальных значений при предельном снижении ее до 1,5–2,0 раза относительно паспортных данных.

Технология заключается в напылении на стенки цилиндров металлокомплиментного покрытия, восстанавливающего отклонения от цилиндричности (конусность, эллиптичность) и повышающего на 1–2 класса чистоту зеркала гильзы. Покрытие обладает уникальными антифрикционными и износостойкими свойствами: трение и износ уменьшаются на 1–2 порядка.

При периодической обработке через 1000 моточасов эксплуатации технология позволяет в несколько раз продлить ресурс двигателя до капитального ремонта.

Технология применяется для восстановления карбюраторных, инжекторных и дизельных двигателей автомобилей и другой техники.

Телефон: 559-71-81

Синтез метилвінілкетону газофазною конденсацією ацетону з формальдегідом на бінарних катализаторах

В.А. Коїкарський, В.В. Івасів, С.В. Шибанов

Національний університет «Львівська політехніка»,
Україна, 79013 Львів, вул. С. Бандери, 12; факс: (380-322) 74-41-43

Досліджено процес газофазної конденсації ацетону з формальдегідом у метилвінілкетон на бінарних каталітических системах. Встановлено вплив складу катализатора та умов проведення процесу на конверсію реагентів, вихід і селективність утворення продуктів реакції. Визначено оптимальний склад катализатора та оптимальні умови проведення процесу.

Метилвінілкетон (МВК) є вихідним мономером для синтезу багатьох полімерних продуктів. Полімери на його основі зважуючи таким своїм властивостям, як прозорість, механічна міцність, стійкість до старіння та біологічна активність, користуються високим попитом у світі [1].

Основними методами синтезу МВК сьогодні є гідратація вінілацетилену в присутності солей ртуті та рідиннофазна конденсація ацетону з формальдегідом у присутності лугів або вторинних амінів. Недоліками першого методу є використання вибухонебезпечної сировини, токсичність катализатора, складна апаратура. Під час синтезу МВК рідиннофазною конденсацією утворюється велика кількість побічних продуктів, тому значно зростають витрати на його очищення. Ці причини зумовлюють високу собівартість МВК.

Одним із нових шляхів синтезу МВК є газофазна конденсація ацетону з формальдегідом на твердих каталітических системах. Як показали наші попередні дослідження, проведення процесу в газовій фазі на фосфатах і нітратах лужних металів, нанесених на силікагель, дозволяє позбутися недоліків рідиннофазної конденсації [2]. Метою даної роботи є вивчення бінарних каталітических систем на основі суміші солей лужних металів.

За розробленою нами методикою [3] приготували серію катализаторів на основі суміші Na_2HPO_4 та NaNO_3 з різним співвідношенням цих солей. Реакцію конденсації проводили у проточному реакторі зі стаціонарним шаром катализатора. Співвідношення реагентів у реакційній суміші ацетон:формальдегід становило 1:1,1, оскільки попередньо було встановлено, що воно є оптимальним для даного процесу [4]. Для запобігання коксоутворенню на поверхні катализатора реакційну суміш розбавляли аргоном у співвідношенні 1:3. Аналіз продуктів реакції здійснювали методами хроматографії та хімічного аналізу. Встановлено вплив складу катализатора та умов проведення процесу на конверсію реагентів, вихід і селективність утворення продуктів реакції. Результати досліджень наведено у табл. 1 і 2.

Таблиця 1. Вплив складу бінарного катализатора $\text{Na}_2\text{HPO}_4 - \text{NaNO}_3$ на процес газофазної конденсації ацетону і формальдегіду (1:1,1) в МВК ($\text{g}_{\text{кат}} = 3 \text{ г}$, $\tau_{\text{к}} = 2,5 \text{ с}$)

$\text{Na}_2\text{HPO}_4 : \text{NaNO}_3$	T_p, K	$X_{\text{АЦ}}, \%$	Селективність, %		Вихід МВК, %
			МВК	ОК	
1 : 4	533	22,1	72,4	27,6	16,0
	553	24,4	69,6	30,4	16,9
	573	27,3	54,9	45,1	15,0
	593	31,0	42,9	57,1	13,3
	613	43,0	27,6	72,4	11,9
	533	24,3	79,5	20,5	19,2
	553	24,9	78,5	21,5	19,5
	573	27,6	61,6	38,4	17,1
	593	34,2	45,4	54,6	15,6
	613	37,8	37,0	63,0	14,1
1 : 1,5	533	23,7	83,5	16,5	19,8
	553	27,6	75,4	24,6	20,7
	573	37,2	51,7	48,3	19,2
	593	42,0	42,6	57,4	18,0
	613	44,4	35,3	64,7	15,6
1,5 : 1	533	26,6	87,9	12,1	23,4
	553	37,2	77,5	22,5	28,8
	573	44,3	61,7	38,3	27,3
	593	50,1	48,7	51,3	24,3
	613	53,9	39,8	60,2	21,5

Примітка. Тут і у табл. 2: $\text{g}_{\text{кат}}$ – маса катализатора, $\tau_{\text{к}}$ – час контакту, $X_{\text{АЦ}}$ – конверсія ацетону, T_p – температура реакції, ОК – оцтова кислота.

Єдиним побічним продуктом процесу у всьому дослідженому інтервалі температур є оцтова кислота. Як видно з табл. 1, максимальна селективність утворення МВК спостерігалася за низьких температур реакції, а із зростанням температури вона зменшувалася. Це зумовлено посиленням процесів піролізу ацетону та МВК за високої температури, що призводить до утворення оцтової кислоти. Тому селективність утворення оцтової кислоти зростає з підвищеннем температури. За

низької температури процеси піролізу протікають слабо, що й зумовлює досить високу селективність утворення МВК. Крім того, в усьому дослідженому інтервалі температур не спостерігається утворення CO і CO₂, що також сприяє збільшенню селективності утворення МВК.

Таблиця 2. Вплив часу контакту на процес газофазної конденсації ацетону і формальдегіду в МВК на бінарному кatalізаторі із співвідношенням Na₂HPO₄:NaNO₃, рівному 4:1

τ_k , с	T_p , К	$X_{\text{АЦ}}$, %	Селективність, %		Вихід МВК, %
			МВК	ОК	
1,3	533	15,5	83,0	17,0	12,8
	553	16,7	73,0	27,0	12,2
	573	17,6	62,4	37,6	11,0
	593	19,2	47,2	52,8	9,1
	613	21,0	33,2	66,8	7,0
	533	20,1	84,1	15,9	16,9
1,7	553	22,9	83,3	16,7	19,1
	573	27,0	68,4	31,6	18,5
	593	29,2	58,9	41,1	17,2
	613	31,5	43,4	56,6	13,7
	533	26,6	87,9	12,1	23,4
	553	37,2	77,5	22,5	28,8
2,5	573	44,3	61,7	38,3	27,3
	593	50,1	48,7	51,3	24,3
	613	53,9	39,8	60,2	21,5

Конверсія реагентів, навпаки, зростає із збільшенням температури реакції. Внаслідок цього з підвищенням температури вихід МВК спочатку зростає і досягає максимального значення при 553 К. З подальшим підвищеннем температури вихід МВК зменшується в результаті збільшення селективності утворення оцтової кислоти. Як було встановлено раніше, під час проведення процесу на кatalітичній системі на основі індивідуального Na₂HPO₄ максимальний вихід МВК досягається за температури 513 К [4]. Таким чином, максимальний вихід МВК на бінарному кatalізаторі Na₂HPO₄ – NaNO₃ досягається за більш вищої температури, ніж на індивідуальному Na₂HPO₄.

Результати дослідження впливу кatalізатора на процес газофазної конденсації наведено у табл.1. Як видно з цих даних, із зростанням вмісту Na₂HPO₄ у кatalітичній системі вихід і селективність утворення МВК підвищуються. За оптимальної температури 553 К вихід МВК збільшується від 16,9 до 28,8 % при співвідношенні Na₂HPO₄:NaNO₃, рівному 4:1. При цьому селективність утворення МВК зростає відповідно від 69,6 до 77,5 %. Також збільшується конверсія реагентів: за температури 553 К конверсія ацетону зростає від 24,4 до 37,2 %, а при 613 К – від 43,0 до 53,9 %. Отже, високий вміст Na₂HPO₄ в кatalізаторі підвищує

його активність. Оптимальною за виходом МВК є кatalітична система зі співвідношенням Na₂HPO₄:NaNO₃, рівним 4:1.

Цю кatalітичну систему було використано для дослідження впливу часу контакту на процес (табл. 2). Як видно з цих даних, конверсія реагентів зростає із збільшенням часу контакту. За температури 553 К конверсія ацетону підвищується від 16,7 до 37,2 % у разі зростання часу контакту від 1,3 до 2,5 с. Коли тривалість контакту перевищувала 2,5 с, відбувалось значне закоксовування кatalізатора. Максимальне значення селективності утворення МВК в інтервалі температур від 553 до 613 К спостерігалося при 1,7 с, а із збільшенням чи зменшенням цього часу контакту вона знижувалася. За температури 553 К найвища селективність утворення МВК досягалася при 2,5 с і знижувалася при зменшенні часу контакту. Вихід МВК значно зростав при збільшенні часу контакту: максимальне значення досягається при 2,5 с. За оптимальної температури 553 К вихід МВК зростав від 12,2 до 28,8 % при збільшенні часу контакту від 1,3 до 2,5 с.

За даними рентгеноструктурного аналізу, зростання ступеня блокування поверхні кatalізатора коксом спостерігалося до перших 40 хв роботи кatalізатора і сягало за цей час максимального значення – 40 %. У подальшій роботі кatalізатора цей параметр майже не змінювався. На 120-й хвилині роботи ступінь блокування поверхні кatalізатора коксом становила 35 %.

Нами було досліджено вплив розбавлення реакційної суміші інертним газом на утворення коксу на поверхні кatalізатора. В разі розбавлення реакційної суміші аргоном у згаданому вище співвідношенні 1:3 максимальне значення блокування поверхні кatalізатора коксом спостерігалося, як і без аргону, на 40-й хвилині роботи кatalізатора, але становило удвічі меншу величину – 20 %. Як і у першому випадку, це значення істотно не змінювалося в часі: на 120-й хвилині ступінь блокування поверхні кatalізатора коксом становила 18 %. Отже, розбавлення реакційної суміші інертним газом дозволяє значно зменшити закоксовування кatalізатора.

Таким чином, проведені дослідження показали, що оптимальним за виходом МВК є кatalізатор зі співвідношеннем Na₂HPO₄:NaNO₃, рівним 4:1, а оптимальними умовами проведення процесу – температура 553 К і час контакту 2,5 с.

Література

- Лебедев Н.Н., Химия и технология основного органического и нефтехимического синтеза, Москва, Химия, 1988.
- Кожарський В.А., Жизневський В.М., Шибанов С.В., Парофазний синтез метилвінілкетону на гетерогенному кatalізаторі, Доп. НАН України, 1995, (10), 111–113.

3. Шибанов С.В., Парофазне одержання метилвінілкетону на гетерогенних каталізаторах. *Дис. ... канд. техн. наук*, Львів, 1997.
4. Шибанов С.В., Кожарський В.А., Жизневський В.М., Вплив умов та фізико-хімічних характеристик на реакцію газофазної конденсації ацетону з формальдегідом в метилвінілкетон, *Доп. НАН України*, 1997, (7), 159–162.

Надійшла до редакції 2 липня 2001 р.

Синтез метилвинилкетона газофазной конденсацией ацетона с формальдегидом на бинарных катализаторах

В.А. Кожарский, В.В. Иvasiv, С.В. Шибанов

*Національний університет «Львівська політехніка»,
Україна, 79013 Львів, ул. С. Бандери, 12; факс: (380–322) 74–41–43*

Исследован процесс газофазной конденсации ацетона с формальдегидом в метилвинилкетон на бинарных катализитических системах. Установлено влияние состава катализатора и условий проведения процесса на конверсию реагентов, выход и селективность образования продуктов реакции. Найдены оптимальные составы катализатора и условия проведения процесса.

Synthesis of methylvinylketone by gas phase condensation of acetone with formaldehyde on binary catalysts

V.A. Kozharskii, V.V. Ivasiv, S.V. Shybanov

*National University «Lviv Politechnic»,
12, Bandera Str., Lviv, 79013, Ukraine*

Process of the gas phase condensation of acetone with formaldehyde to methylvinylketone on binary catalytic system has been investigated. The effect of catalyst's composition and conditions of carrying out of the process on conversion of the reagents, yield and selectivity of formation of methylvinylketone have been determined. Optimal catalyst composition and optimal conditions of carrying out of the process have been found.

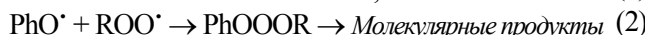
Катализ обрыва цепей окисления спиртов 4-*трет*-бутилкаликсаренами

Г.А. Ковтун, Т.М. Каменева

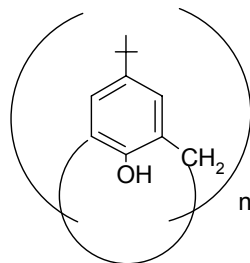
Институт биоорганической химии и нефтехимии НАН Украины,
Украина, 02094 Киев, ул. Мурманская, 1; факс: (044) 573-25-52

4-*трет*-бутилкаликс[*n*]арены (*n* = 6, 8) катализируют обрыв цепей окисления *n*-октилового и бензилового спиртов. Обоснованы механизмы катализа и оценены стехиометрические коэффициенты обрыва цепей окисления при температуре 50–75 °C.

4-*трет*-бутилкаликс[6]арен (PhOH) – представитель “корзиноподобных” полиядерных фенолов – ингибирует окисление базового смазочного масла на основе эстеров пентазиритита, стехиометрически обрываая цепи окисления в реакциях с пероксильными радикалами ROO[•] [1]:

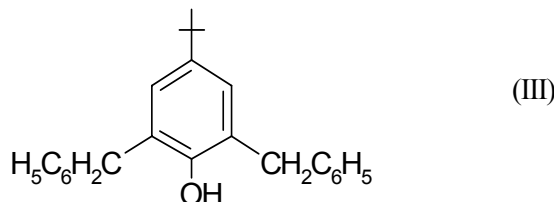


В течение исследований [1] нами впервые обнаружены каталитические свойства 4-*трет*-бутилкаликсаренов общей формулы:



n = 6 (I), 8(II)

в обрыве цепей окисления спиртов. Эти свойства каликсаренов (I) и (II) сравнены с их моноядерным аналогом:



Каликсарены (I) и (II) синтезировали согласно методике [2], а их моноядерный аналог (III) – в соответствии с общей методикой алкилирования 4-алкилфенолов бензиловым спиртом [3]. Элементный анализ и ИК-спектры соединений соответствовали формулам (I) – (III).

Характерной особенностью строения полиядерных фенолов (I) и (II), в отличие от их моноядерного аналога (III), является наличие в их молекулах прочной вну-

внутримолекулярной водородной связи (-OH … -OH)*n* [4].

В качестве субстратов окисления использовали *n*-октиловый и бензиловый спирты (RH). Носителями цепей окисления этих субстратов являются гидропероксильные HOO[•] и α-оксипероксильные радикалы =C(OH)OO[•] [5].

Скорость инициированного окисления спиртов и их растворов в инертном к окислению растворителе – хлорбензоле – измеряли волюметрическим методом по поглощению O₂ (методика [5]). Источником термического инициирования цепей окисления выбран 2,2'-азо-бис-изобутиронитрил [5]. Спектры ЭПР феноксильных радикалов, образующихся в оксидате RH из исследуемых фенолов, регистрировали при -70 °C на приборе EX-2542 по методике [6].

Исследуемые фенолы ингибируют окисление спиртов (рисунок). Подтверждением их участия в реакциях обрыва инициированного окисления является накопление пероксидных соединений: H₂O₂ и =C(OH)OOH (метод иодометрии [5]), а также образование феноксильных радикалов (метод ЭПР [7]). Из моноядерного фенола образуется феноксил с константой сверхтонкого взаимодействия с 2,6-протонами ядра *a*_{2,6}=5,4 э (для сравнения отметим, что для 2,6-диэтил-4-*трет*-бутилфеноксила величина *a*_{2,6}=5,33 э [7]). В спектрах ЭПР короткоживущих феноксилов, соответствующих полиядерным фенолам (I) и (II), отсутствует высокое разрешение, поэтому их количественную интерпретацию получить не удалось.

Наблюдаемый период индукции тормозящего действия моноядерного фенола (III) при 50–75 °C, измеренный по кинетике поглощения O₂, близок к периоду торможения *τ*, вычисленному в соответствии с реакциями (1) и (2) [5]:

$$\tau = f [\text{PhOH}]_0 / W_i,$$

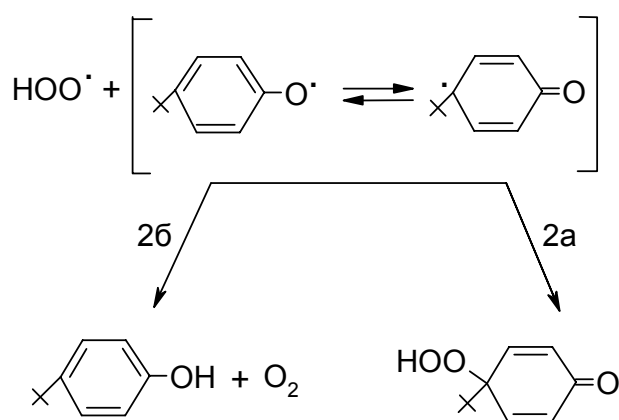
где *W*_i – скорость инициирования цепей окисления; *f* – стехиометрический коэффициент обрыва цепей.

При 50–75 °C величины *f* для фенола (III) близки и

их среднее значение равно $2,5 \pm 0,4$. Следовательно, моноядерный фенол практически однократно (стехиометрически) обрывает цепи окисления спиртов в реакциях (1) и (2).

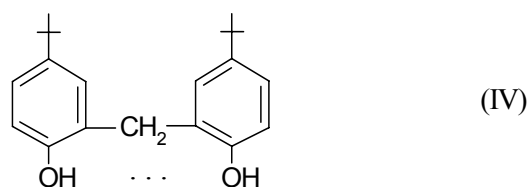
В отличие от моноядерного фенола каликсарены многократно участвуют в обрыве цепей окисления ($f >> 2$). Так, при окислении бензилового спирта параметр f превышает значение 10 в расчете на одну OH-группу, т. е. выступает своеобразным катализатором обрыва цепей окисления исследуемых спиртов.

Согласно результатам работ [5, 8], взаимодействие гидропероксильного (или α -оксипероксильного) радикала с феноксильным радикалом возможно по двум параллельным маршрутам – (2a) и (2б):

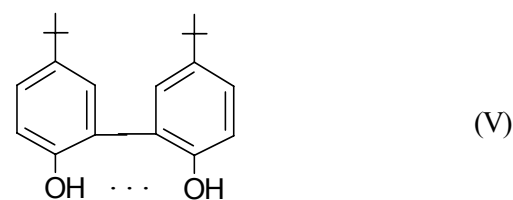


Реализация маршрута (2a) ведет к стехиометрическому обрыву цепей ($f = 2$), а (2б) – к регенерации исходного фенола и, как следствие, к увеличению брутто-стехиометрического коэффициента обрыва цепей ($f >> 2$). Полагаем, что наличие внутримолекулярной водородной связи в феноксилах, образующихся из каликсаренов, вызывает дополнительную локализацию неспаренного π -электрона на кооперативном ($-\text{OH} \cdots \text{O}-$) $_n$ центре и таким образом способствует увеличению вероятности реализации маршрута (2a) по сравнению с традиционным маршрутом (2б).

Подтверждения в пользу определяющей роли наличия внутримолекулярной связи в молекулах фенолов типа ($-\text{OH} \cdots -\text{OH}$) $_n$ получены нами и для биядерных фенолов:



(IV)



(V)

в окисляющемся *n*-октиловом спирте. При 75 °C величина $f = 28 \pm 4$ (IV); 51 ± 5 (V).

Таким образом, полученные результаты свидетельствуют о новых возможностях поиска алкилфенолов в качестве стабилизаторов многократного (катализитического) действия в актах обрыва цепей окисления органических соединений среди полиядерных фенолов, имеющих внутримолекулярную водородную связь типа ($-\text{OH} \cdots -\text{OH}$) $_n$.

Литература

1. Каменева Т.М., Ковтун Г.А., *Катализ и нефтехимия*, 1997, (3), 28.
2. Gutsche C.D., Dhawan B., Mok H., Muthukrishnan R., *J. Amer. Chem. Soc.*, 1981, (103), 3782.
3. Горбунов Б.Н., Гурвич Я.Л., Маслова И.П., *Химия и технология стабилизаторов полимерных материалов*, Москва, Химия, 1981.
4. Химия комплексов “гость–хозяин”, Под ред. Э. Фегтле-Вебер, Москва, Мир, 1988.
5. Ковтун Г.А., Плужников В.А., *Химия ингибиторов окисления органических соединений*, Киев, Наук. думка, 1995.
6. Походенко В.Д., *Феноксильные радикалы*, Киев, Наук.думка, 1969.
7. Рогинский В.А., *Изв. АН СССР, Сер. хим.*, 1985, (9), 1987.
8. Ковтун Г.А., Пустарнакова Г.Ф., *Катализ и нефтехимия*, 2001, (7), 24.

Каталіз обриву ланцюгів окиснення спиртів 4-*tret*-бутилкаліксаренами

Г.О. Ковтун, Т.М. Каменєва

Інститут біоорганічної хімії та нафтохімії НАН України,
Україна, 02094, Київ, вул. Мурманська, 1; факс: (044) 573-25-52

4-*Tret*-бутилкалікс[*n*]арени (*n* = 6, 8) каталізують обрив ланцюгів окиснення *n*-октилового та бензилового спиртів. Обґрунтовано механізм каталізу і оцінено стехіометричні коефіцієнти обриву ланцюгів окиснення при 50–75 °C.

Catalysis of oxidation chains breaking of alcohols by 4-*tret*-butylcalixarens

G.O. Kovtun, T.M. Kameneva

Institute of Bioorganic Chemistry and Petrochemistry, National Academy of Sciences of Ukraine,
1, Murmanska Str., Kyiv, 02094, Ukraine, Fax: (044) 573-25-52

4-*Tret*-butylcalix[*n*]arens (*n* = 6, 8) catalyze oxidation chains breaking of *n*-octanol and benzalcohol. The mechanism of catalysis has been substantiated and stoichiometry coefficients of oxidation chains breaking at 50–75 °C have been evaluated.

ПОДАРУЙ СОБІ ЧИСТУ ПИТНУ ВОДУ – ЗАПОРУКУ МІЦНОГО ЗДОРОВ'Я!

Розроблено високоефективний неорганічний коагулянт-флокулянт “Сизол-2500” для очищення питної води. Реагент “Сизол-2500” може використовуватися під час очищення будь-яких природних вод на діючих системах водопідготовки без зміни існуючих технологій водоочищення. Готується на доступній вітчизняній сировині за нормальних температур і тиску.

В основу отримання реагенту “Сизол-2500” покладена принципова можливість одержання стабілізованих золей кремнезему (до 20 % SiO₂ і вище) в присутності каталітичних систем, тобто таких золей, в яких процеси агрегації-полімеризації або повністю виключаються з самого початку, або швидко припиняються. Разом з тим використані поліфункціональність кремнієвої кислоти та здатність її утворювати з металами зв’язок, подібний хелатному, що значно розширює діапазон практичного використання таких систем. Систематичні дослідження реагенту “Сизол-2500” визначили ряд його унікальних властивостей: коагулюючих, флокулюючих, іонообмінних, комплексо- і хелатоутворюючих.

Проведено токсиколого-гігієнічну оцінку реагента та одержано дозвіл МОЗ України для його використання за призначенням. Розроблено Технічні умови на реагент і Технологічний регламент на процес його отримання та використання. Проведено дослідно-промислові випробування на Богуславській станції водопідготовки, які показали високу ефективність “Сизол-2500”.

Телефон: 559-04-95

Формирование катализаторных слоев с прогнозируемыми структурными характеристиками

В.М. Иванов^a, В.В. Владимиров^a, Ф.В. Калинченко^a, А.Г. Дерябко^б, В.Н. Труханов^б, Ю.Ю. Тур^б

^a*Государственный научно-исследовательский и проектный институт химических технологий "Химтехнология",*

Украина, 93400 Луганская обл., Северодонецк, ул. Вилесова, 1; факс: (06452) 2-53-67;

^бОАО "ДнепрАЗот",

Украина, Днепропетровская обл., Днепродзержинск, ул. Горобца, 1; факс: (05692) 7-87-48

Рассмотрены и сравнены способы формирования зернистых катализаторных слоев в узких реакционных объемах трубчатых печей и реакторов, а также случаи, когда отношение диаметра реакционной трубы к характерному размеру катализаторной гранулы близко пяти. Приведены результаты выполненных авторами сравнительных исследований зернистых слоев, сформированных различными способами. Показаны причины возникновения неоднородностей структуры при традиционных методах загрузки катализатора и предложена методика их недопущения. Приведено описание разработанного в ГосНИПИ "Химтехнология" (г. Северодонецк) загрузочного устройства, предписанного для формирования плотного однородного слоя катализатора в реакционных трубах печи риформинга природного газа. Представлены результаты стендовых, опытно-промышленных и промышленных испытаний загрузочных устройств, проведенных в ОАО "ДнепрАЗоте" (г. Днепродзержинск).

Работы по формированию катализаторных слоев с прогнозируемыми структурными характеристиками ведутся в ГосНИПИ "Химтехнология" на протяжении ряда лет. Это – попытка радикально решить проблемы, обусловленные наличием неоднородностей в структуре катализаторных слоев промышленных реакторов. Они проявляются в виде "транспортных каналов", "температурных пятен", неоднородности "температурного поля", невоспроизводимости параметров загрузки и т. д. Все это ведет к снижению производительности реакторов и надежности их работы.

Основное направление исследований – формирование регулярных систем из сферического монодисперсного катализатора. Полученные результаты, разработанные методики и устройства представлены в статьях [1–3], авторских свидетельствах и патентах. Успешно проведены опытно-промышленные испытания на Новочеркасском заводе синтетических продуктов [4].

Разработанные подходы можно применять для формирования плотных нерегулярных слоев из гранул несферической формы. В их основе лежит стремление формировать требуемую структуру сразу, а не путем "улучшения" или "исправления" случайно полученной, как это делается при традиционных загрузках, например, трубчатых реакторов и печей. Однородность загрузки катализатором трубчатых реакторов имеет особое значение, так как она обуславливает распределение газового потока по отдельным трубам. Практика требует обеспечения разброса сопротивления по трубам с катализатором в пределах 5 %.

К традиционным методам загрузки реакционных труб следует отнести загрузку порций катализатора со среза трубы (например, реактор гидрирования бензола)

и загрузку "из чулка" (например, печь риформинга природного газа).

Согласно выполненных нами исследований, слой, формируемый порционной загрузкой катализатора со среза трубы, не обеспечивает создания достаточно плотной и однородной структуры слоя в трубном объеме. Уплотнение порций катализатора с помощью укрепленного на штанге поршня также неэффективно. Ударное воздействие на поверхность заполненной катализатором трубы уплотняет слой, одновременно повышая его неоднородность, о чем свидетельствуют измерения гидравлического сопротивления по участкам.

Метод загрузки "из чулка" выполняется следующим образом. Порция катализатора засыпается в чулок, после чего его край подворачивается и он на веревке опускается в трубу до ее дна или до поверхности слоя. Далее, подергивая за веревку, загружающий добивается распрямления подвернутого края чулка, и катализатор высыпается в трубный объем. После загрузки определенного количества чулков катализатора слой уплотняется определенным количеством ударов по фланцу трубы, и операция повторяется снова. В процессе загрузки проводятся контрольные замеры сопротивления слоя и его высоты, после чего возможны дополнительные удары по фланцу. И так до заполнения трубы и реактора в целом.

Очевидно, что ударное воздействие на поверхность трубы вызывает уплотнение не только вновь формируемого слоя, но и нижерасположенного, уже уплотненного участка с соответствующей его усадкой. При этом достичь "предельной" плотности нельзя, так как возможно разрушение гранул. В условиях малого со-

отношения диаметра трубы и характерного размера гранулы катализатора, наличия шероховатости внутренней поверхности трубы и сварных швов высока вероятность образования сводов и полостей в структуре слоя. Разрушение сводов, как правило, достигается только частичным или полным разрушением образующих их гранул. При замерах контролируемых параметров загрузки – высоты слоя и его сопротивления – картина может быть вполне благополучной.

Предлагается послойное наращивание высоты формируемого слоя выполнять в соответствии с разработанной ГосНИПИ "Химтехнология" методикой загрузки. Это обеспечивают оптимальные скорость загрузки и высота падения гранул как гарантия необходимого ожидания поверхности слоя и достаточности времени для занятия частицей наиболее устойчивого положения.

Для выполнения послойного наращивания слоя разработаны и изготовлены загрузочные устройства (ЗУ), конструктивно выполненные следующим образом. Закрепляемая на фланце трубы рама изготовлена как одно целое с приемным бункером. На раме расположены дозирующая система с блоком управления, электроприводы дозатора и подъемника тормозов. Сами тормоза перед загрузкой устанавливаются в трубе и извлекаются по мере роста слоя, что ограничивает высоту падения гранул катализатора до значений, экспериментально определяемых для каждого вида катализатора.

Эффективность предлагаемых методик и устройств проверялась на стенде в трубе диаметром 26 мм с таблетированным катализатором размером 5 x 5 мм (применительно к реактору гидрирования бензола) и в трубе диаметром 72 мм с кольцевым носителем размером 16 x 16 мм.

В первом случае значения коэффициента сопротивления $f_g = \frac{\Delta P_{gd}}{2h_U U^2}$ [5] свидетельствуют о превосходстве предложенного метода загрузки над другими, пригодными к применению в условиях реактора гидрирования бензола (табл. 1). Результаты исследований были подтверждены при выполнении промышленной загрузки в 1992 г.

Результаты, полученные при проведении эксперимента в трубе диаметром 72 мм, показали, что значения основных характеристик структуры слоя – порозности и перепада давлений – для традиционного метода загрузки и предлагаемого близки. Однако слой, сформированный из чулка, имеет значительные отклонения параметров от средней величины, в то время как предлагаемый метод практически полностью воспроизводит полученный результат. Отсюда следует, что в реальной печи ее трубы будут работать в одинаковых условиях.

Таблица 1. Влияние способа формирования слоя таблеток размером 5 x 5 мм на величину коэффициента гидравлического сопротивления f_g .

Скорость воздуха в трубе, м/с	Диапазон значений коэффициента гидравлического сопротивления при способах загрузки			
	порционно со срезом трубы	уплотнением поршнем	ударным воздействием	с помощью ЗУ
0,2	11,5–11,9	15,1–16,0	14,7–21,7	20–21
1,0	6,3–6,9	12,1–12,3	7,8–10,4	10,4
3,2	2,7–3,1	3,4–3,7	3,2–4,1	4,0–4,2

Дополнительный эксперимент в реальных трубах на ОАО "ДнепрАзот" подтвердил полученные ранее результаты. Из табл. 2 видно, что при заданной высоте слоя порядка 10 м порозность формируемой с помощью ЗУ системы ниже, чем при традиционной загрузке чулком; при этом масса загружаемого ЗУ катализатора отклонялась от средней величины всего на 0,1 % при практически постоянной величине перепада давлений на слоях, измеряемого с помощью манометра.

Таблица 2. Результаты сравнительных испытаний способов загрузки катализатора К-905Д-1 на ОАО "ДнепрАзот"

Способ загрузки	Масса загрузки, кг	Порозность расчетная, м ³ /м ³	Перепад давлений, Н/м ²
"Чулком"	41,700	0,433	1,45·10 ⁵
ЗУ	42,000	0,429	1,60·10 ⁵
	42,050	0,428	1,60·10 ⁵
	41,950	0,429	1,60·10 ⁵

Примечание. Высота слоя составляет 9,880 м, давление воздуха – 4,5·10⁵ Н/м².

Промышленная загрузка катализатора К-905Д-1 в печь риформинга на ОАО "ДнепрАзот" выполнялась сотрудниками института ГосНИПИ "Химтехнология" с помощью пяти ЗУ. "Чистое" время загрузки 504 реакционных труб составило около 40 ч. Отклонение перепадов сопротивления по печи не превысило 5 %. Загрузка всех труб выполнена с первого раза без перегрузки и какой-либо корректировки структуры сформированных слоев. Подготовка катализатора свелась к навеске порций по 20 кг.

Суммируя сказанное, можно сделать вывод, что использование загрузочных устройств позволяет упростить процедуру загрузки катализатора и снизить ее трудоемкость; избежать промежуточных замеров характеристик слоя в процессе загрузки; достигнуть однородности слоя по высоте каждой трубы и печи в целом при увеличении его плотности; обеспечить устойчивую работу печи и увеличить срок службы труб за счет устранения локальных перегревов их поверхности.

Література

1. Адинберг Р.З., Иванов В.М., Дильман В.В., *Докл. АН ССРС*, 1986, **288** (2), 425–428.
2. Дильман В.В., Адинберг Р.З., Иванов В.М. и др., *Хим. пром-сть*, 1988, (11), 617–621.
3. Дильман В.В., Адинберг Р.З., Иванов В.М., *TOXT*, 1987, **21** (6), 783–787.

4. Адинберг Р.З., Дильман В.В., Иванов В.М.и др., *Хим. пром-сть*, 1990, (8), 23–26.

5. Аэрор М.Э., Тодес О.М., *Гидравлические и тепловые основы работы аппаратов со стационарным и кипящим зернистым слоем*, Ленинград, Химия, 1968.

Поступила в редакцию 27 марта 2001 г.

Формування каталізаторних шарів з прогнозованими структурними характеристиками

В.М. Іванов^a, В.В. Владимиров^a, Ф.В. Калинченко^a, О.Г. Дерябко^b, В.М. Труханов^b, Ю.Ю. Тур^b

"Державний науково-дослідний і проектний інститут хімічних технологій "Хімтехнологія",

Україна, 93400 Луганська обл., Сєверодонецьк, вул. Вілесова, 1; факс: (06452) 2-53-67;

^bБАТ "ДніпроАЗОТ",

Україна, Дніпропетровська обл., Дніпродзержинськ, вул. Горобця, 1; факс: (05692) 7-87-48

Розглянуто і порівняно способи формування зернистих каталізаторних шарів у вузьких реакційних об'ємах трубчастих печей і реакторів, а також випадки, коли відношення діаметра реакційної труби до характерного розміру каталізаторної гранули близько п'яти. Наведено результати виконаних авторами порівняльних досліджень зернистих шарів, сформованих різними способами. Показано причини виникнення неоднорідностей структури при традиційних методах завантаження каталізатора і запропоновано методику їх недопущення. Наведено опис розробленого в ДержНДІПІ "Хімтехнологія" (м. Сєверодонецьк) завантажувального пристрою, запропонованого для формування щільного однорідного шару каталізатора в реакційних трубах печі ріформінгу природного газу. Подано результати стендових, дослідно-промислових випробувань завантажувальних пристрій, проведених у БАТ "ДніпроАЗОТ" (м. Дніпродзержинськ).

Formation of catalyst layers with predicted structural characteristics

V.M. Ivanov^a, V.V. Vladimirov^a, F.V. Kalinchenko^a, A.G. Deryabko^b, V.N. Truhanov^b, Y.Y. Tur^b.

^a 1, Vilesov Str., Severodonetsk, 93400, Lugansk obl., Ukraine, Fax: (06452) 2-53-67;

State Scientific Research & Planning Institute of chemical technologies "Khimtehnologiya";

^b 1, Gorobets Str., Dniprozherzhinsk, Dnipropetrovsk obl., Ukraine, Fax: (05692) 7-87-48

Publicly held corporation "DniproAzot"

Methods of granulated catalytic layers formation in reaction volume of tube furnaces and reactors as well as cases when the ratio of reaction tube diameter to catalytic granula characteristic size is about five have been examined and compared. The results of granulated layers (formed in different ways) comparative investigations carried out by the authors have been presented. The reasons for structure heterogeneity in case of traditional methods of catalyst charging have been revealed, procedure, of avoiding such negative aspects has been proposed. The description of charging device developed in "Khimtehnologiya" and suggested for the purpose of dense homogenous catalyst layer formation in reaction tubes of natural gas reforming furnace has been presented. The results of stand, experimental and industrial tests of charging devices, carried out in "DniproAzot" have been illustrated.

Влияние ионов щелочных металлов на восстановление и реокисление железо-теллур-молибден-оксидного катализатора

E.B. Федевич

*Львовский государственный аграрный университет,
Украина, 29040 Дубляны Львовской обл.; факс: (0322) 79-32-31*

Установлено, что промотирование Fe-Te-Mo-O-катализатора ионами щелочных металлов влияет на протекание стадий топохимического восстановления поверхности изобутиленом и реокисления молекулярным кислородом. Увеличение активности катализатора в реакции окисления *i*-C₄H₈ связано с ускорением лимитирующей стадии – реокисления катализатора ионами щелочного промотора, а повышение избирательности образования метакролеина определяется блокировкой ионами промотора сильных кислотных центров, на которых адсорбированный изобутилен подвергается деструктивному окислению.

Железо-теллур-молибден-оксидные катализаторы относятся к наиболее эффективным контактам окисления изобутилена в метакролеин [1, 2]. Известно, что в реакциях гетерогенно-катализитического окисления углеводородов молекулярным кислородом определяющую роль играют стадии восстановления активных центров катализатора окисляющимся субстратом и их последующего реокисления [3]. Эти стадии существенно влияют также на формирование каталитических свойств исследованных нами Fe-Te-Mo-O-катализаторов в реакциях окисления низших олефинов [2]. Позже было установлено, что активность и избирательность таких катализаторов можно повысить промотированием ионами щелочных и щелочноземельных элементов [4–7].

Настоящая работа посвящена изучению влияния добавок ионов щелочных металлов на протекание стадий восстановления и реокисления поверхности исследуемых катализаторов и получению данных, позволяющих объяснить сущность их промотирующего действия.

Влияние промоторов (ионов щелочных металлов) на протекание стадий восстановления и реокисление каталитической поверхности изучали импульсным методом в микрореакторе с виброожиженным слоем катализатора [8], включенном в аналитическую систему хроматографа "Вырхром". Наличие в системе двух шестиходовых и одного четырехходового кранов обеспечивало возможность включения реактора либо в поток газа-носителя (He), поступающего со скоростью 2 л/ч на хроматограф, либо в поток газовой смеси желаемого состава. Специальными опытами установлено, что форма импульса реакционной смеси на выходе из реактора близка к прямоугольной. Реакционная смесь на выходе из реактора разделялась на два равных потока, один из которых поступал на хроматографическую колонку (l = 2 м), заполненную хроматоном N-AW-DMCS с нанесенной жидкой фазой (15 % Apieson L

и 5 % ПЭГ-6000) и работающую при 333 К. На этой колонке определяли изобутилен, метакролеин и другие карбонильные соединения. Другой газовый поток поступал на колонку (l = 1 м), заполненную полисорбом-1, на которой CO₂ отделялся от CO и воздуха, а дальше на колонку (l = 2 м), заполненную молекулярными ситами NaX, на которой определяли O₂, N₂ и CO. Анализ газов проводили при комнатной температуре с применением катарометра в качестве детектора.

Использовали Fe-Te-Mo-O-катализаторы, содержащие активные компоненты в атомном соотношении Fe:Te:Mo = 1:0,85:1. Для приготовления образцов в 100 мл воды, нагретой до 353 К, растворяли 12,36 г (NH₄)₆Mo₇O₂₄·4H₂O и при перемешивании добавляли 13,55 г H₂TeO₄·2H₂O. Потом добавляли 28,18 г Fe(NO₃)₃·9H₂O, растворенного в 50 см³ воды. Необходимое количество промоторов – ионов щелочных металлов – вносили в виде 5%-х водных растворов их нитратов. После смешивания компонентов полученный раствор упаривали при перемешивании на водяной бане, сушили при 423 К на протяжении 4 ч и прокаливали 5 ч при 723 К. Полученную массу тщательно растирали, увлажняли до пастообразного состояния и формировали в "червяки", которые сушили при комнатной температуре 24 ч на воздухе, затем при 423 К 4 и 5 ч прокаливали при 723 К. Массу измельчали, отбирали фракцию 1–3 мм и проводили необходимые испытания.

Удельную поверхность катализаторов определяли хроматографическим методом по тепловой десорбции аргона [9], а общую кислотность каталитической поверхности – по хемосорбции аммиака.

Анализ имеющихся сведений о влиянии промотирующих добавок ионов щелочных и щелочноземельных элементов на каталитические свойства исследуемого катализатора как при окислении изобутилена [4], так и при окислительной дегидратации *трем.бутагонала* [5–7] показывает, что активность катализаторов

повышается одновременно с ростом электроотрицательности промотирующей добавки, а увеличение основности и ионного радиуса промотора способствует росту избирательности образования метакролеина.

Поскольку, как уже отмечалось, гетерогенно-катализитическое окисление протекает преимущественно по окислительно-восстановительному механизму, можно предположить, что ионы щелочных промоторов влияют на протекание стадий окисления и восстановления поверхности катализаторов. С целью изучения этого влияния для исследования избрали Fe-Te-Mo-O-катализатор указанного выше состава и катализаторы такого же состава, содержащие в качестве промоторов ионы щелочных металлов в количестве, соответствующем атомному соотношению $\text{Me}^{1+}/\text{Mo} = 0,1$.

Каталитические свойства теллур-молибденсодержащих катализаторов существенно зависят от степени восстановленности их поверхности [10,11], поэтому было проведено две серии опытов по восстановлению и реокислению каталитической поверхности, которые проводили при 653 К: 1) в диапазоне удаления с поверхности примерно одного монослоя кислорода; 2) при снятии с поверхности контактов до десяти монослоев O_2 .

В первой серии опытов на катализатор подавали импульсы восстановительной (ВС) либо окислительной смеси (ОС) объемом 12,5 см³, содержащие изобутилен или O_2 (по 1 % (об.) каждого в гелии). В реактор загружали свежеприготовленный неактивированный катализатор, общая поверхность которого составляла 10 м². При подаче последовательно 20 имп. ВС с поверхности катализатора снималось количество кислорода, эквивалентное примерно одному монослою.

Во второй серии опытов в реактор загружали катализатор в количестве, соответствующем общей поверхности 5 м². В реактор подавали импульсы чистого изобутилена либо O_2 объемом 0,71 см³. В результате последовательной подачи 20 имп. таких ВС с катализатора снимали до 10 монослоев кислорода. Скорость образования продуктов в каждом импульсе определяли на основе хроматографического анализа. Количество поглощенного поверхностью катализатора изобутилена рассчитывали по разности между количеством пропущенного, прореагировавшего и непрореагировавшего изобутилена, а количество удаленного с поверхности кислорода – по продуктам окисления. Скорость реокисления поверхности катализатора окислительной смесью определяли по разности между поданным, вышедшим кислородом и кислородом, израсходованным на образование продуктов окисления.

Результаты экспериментов и их обсуждение

На рис. 1 представлено изменение скорости образования метакролеина при последовательной подаче 20 имп. ВС объемом 12,5 см³ с содержанием 1 % (об.) *i*-C₄H₈ в гелии. Аналогичная зависимость для скорости образования CO₂ представлена на рис. 2. Результаты

экспериментов показывают, что поверхностный кислород катализатора взаимодействует с изобутиленом с образованием таких же продуктов, как и при катализитическом окислении. Если на исходном Fe-Te-Mo-O-катализаторе скорость образования метакролеина и CO₂ в последовательных 20 имп. ВС остается практически неизменной, то на катализаторах, промотированных ионами щелочных металлов, с восстановлением их каталитической поверхности скорость образования метакролеина существенно увеличивается, а CO₂ – уменьшается.

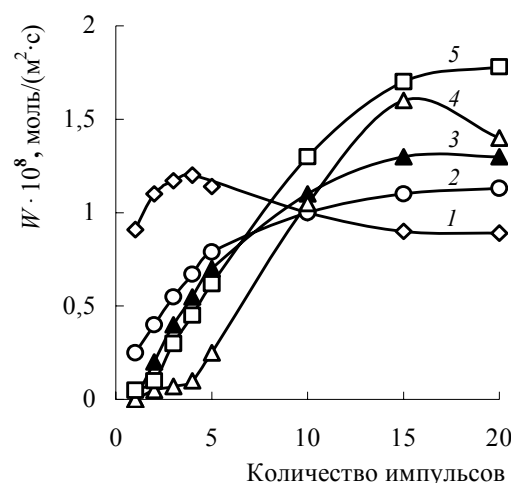


Рис. 1. Зависимость скорости образования метакролеина ($W \cdot 10^8$, моль/(м²·с)) от количества последовательных импульсов ВС на исходном (1) и промотированных (2–5) катализаторах. Здесь и на рис. 2, 3: 1 – без промотора; 2 – Li/Mo=0,1; 3 – Na/Mo=0,1; 4 – K/Mo=0,1; 5 – Cs/Mo=0,1 ($T_p = 653$ К; $V_{\text{пот}} = 2$ л/ч; $V_{\text{имп}} = 12,5$ см³; $S_{\text{кат}} = 10$ м²; состав ВС (% (об.)): *i*-C₄H₈ – 1; He = 99)

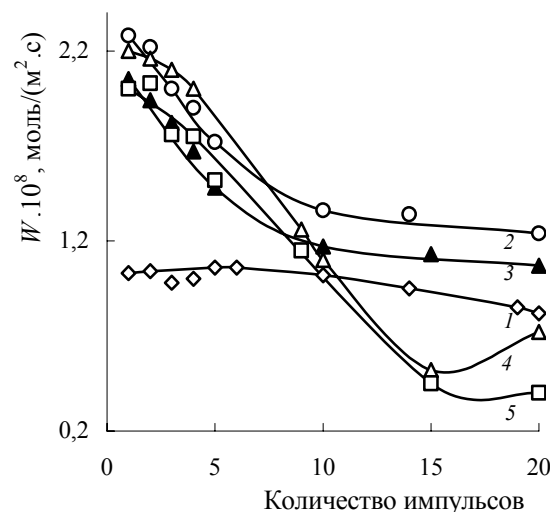
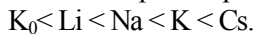


Рис. 2. Зависимость скорости образования CO₂ от количества последовательных импульсов ВС на исходном (1) и промотированных (2–5) катализаторах

Расчеты показали, что количество кислорода, снятого подачей последовательных 20 имп. ВС на всех исследуемых катализаторах, примерно одинаковое и составляет 100–140 % монослоя. Таким образом, можно сделать вывод, что поверхностный кислород непромотированного катализатора энергетически однороден и поэтому избирательность образования продуктов окисления по мере его использования существенно не изменяется. Можно также предположить, что подвижность кислорода в приповерхностных слоях настолько высока, что успевает компенсировать расходование поверхностного кислорода на реакцию топохимического восстановления поверхности изобутиленом последовательно подаваемых импульсов ВС и при этом поверхностная концентрация кислорода остается практически постоянной.

Совершенно иная картина наблюдается на промотированных катализаторах: с увеличением количества поданных импульсов ВС скорость образования метакролеина увеличивается, а углекислого газа – уменьшается. Этот эффект усиливается с ростом ионного радиуса и основности ионов промотора:



Наблюдаемую картину можно объяснить, предположив, что щелочные промоторы обеспечивают наличие на поверхности достаточного количества слабо связанных кислорода, который, взаимодействуя с изобутиленом первых импульсов ВС, в основном окисляет его полностью. По мере расходования этого поверхностного кислорода его место занимает кислород, дифундирующий из приповерхностных слоев кристаллической решетки катализатора, который обладает более высокой энергией связи. Поэтому с увеличением концентрации этого кислорода на поверхности скорость образования метакролеина увеличивается, а CO_2 – уменьшается. Увеличение скорости образования метакролеина в импульсах ВС на промотированных катализаторах, по-видимому, связано с тем, что ионы щелочных металлов способствуют повышению подвижности кислорода кристаллической решетки, наличие которого на поверхности необходимо для неполного окисления $i-C_4H_8$ в метакролеин. Это действие усиливается уменьшением электроотрицательности ионов щелочных металлов, наиболее высокая скорость образования метакролеина в импульсах ВС наблюдается на катализаторе, промотированном ионами цезия.

После 20 имп. ВС катализаторы подвергали реокислению, вводя последовательно 20 имп. ВС объемом $12,5 \text{ см}^3$ и содержащих 1 % (об.) O_2 в гелии. На рис. 3 представлена зависимость скорости реокисления поверхности катализатора от количества поданных импульсов. Следует отметить, что скорость реокисления катализатора в несколько раз ниже таковой восстановления. Поэтому если полагать, что окисление изобутилена на исследуемых катализаторах протекает по стадийному механизму, то лимитирующей должна быть

более медленная стадия реокисления. Как видно из рис. 3, по эффективности ускорения этой стадии ионы-промоторы располагаются в последовательности $Li^+ > Na^+ > K^+ > Cs^+$, совпадающей с рядом активности исследуемых катализаторов в реакции окисления изобутилена и окислительного дегидрирования *трем.-бутилового спирта* [4–7].

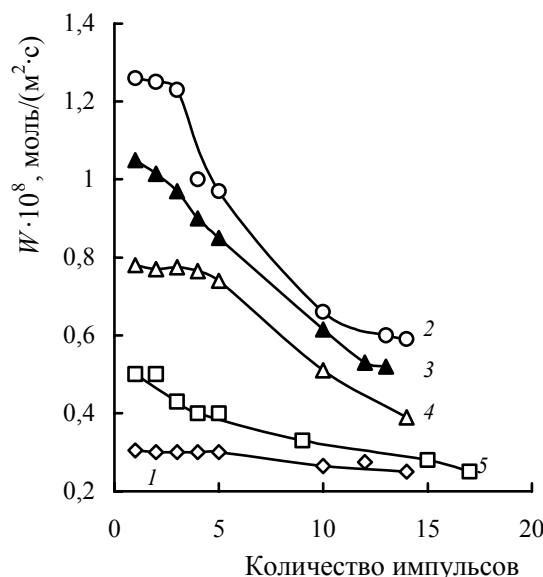


Рис. 3. Зависимость скорости реокисления исходного (1) и промотированных (2–5) катализаторов от количества последовательных импульсов ВС (1 % (об.) O_2 в гелии)

Для того чтобы определить количество изобутилена, адсорбированного в условиях каталитической реакции при 653 К, через слой катализатора пропустили 20 имп. ВС (чистый изобутилен, $V_{им} = 0,71 \text{ см}^3$). С поверхности катализатора первым импульсом было удалено больше одного монослоя кислорода. В дальнейшем темпы удаления кислорода уменьшались и 20 имп. было снято примерно пять его монослоев. После этого проводили реокисление поверхности катализаторов при 653 К 20 имп. по $0,71 \text{ см}^3$ чистого кислорода. Все органические продукты были сняты с поверхности лишь последовательными 50 имп. ВС. После пересчета оказалось, что степень покрытия поверхности катализатора изобутиленом составляла 1,1 монослоя и на 1 м^2 поверхности находилось $2,8 \cdot 10^{18}$ центров адсорбции. Общая кислотность поверхности непромотированного катализатора, определенная по адсорбции аммиака, составляла $2,4 \cdot 10^{18}$ центров на 1 м^2 . Таким образом, можно предположить, что на каждом кислотном центре хемосорбирована молекула изобутилена. Направление дальнейших превращений адсорбированного изобутилена определяется силой кислотных центров. Очевидно, ионы щелочных металлов в первую очередь блокируют наиболее сильные кислотные центры адсорбции изобутилена, повышая тем самым избирательность его окисления в метакролеин. Поскольку способность бло-

кировать кислотные центры возрастает с увеличением основности щелочных промоторов, то наряду с этим усиливается их селективное действие:



Селективность образования метакролеина зависит также от наличия на поверхности катализатора кислорода, имеющего оптимальную энергию связи.

На рис. 4 представлена зависимость скорости топохимического восстановления поверхности катализаторов при подаче последовательных 20 имп. по $0,71 \text{ см}^3$ изобутилена. При этом с поверхности снимается объем кислорода, соответствующий четырем-пяти монослоям, и скорость восстановления определяется диффузией кислорода приповерхностных слоев к поверхности.

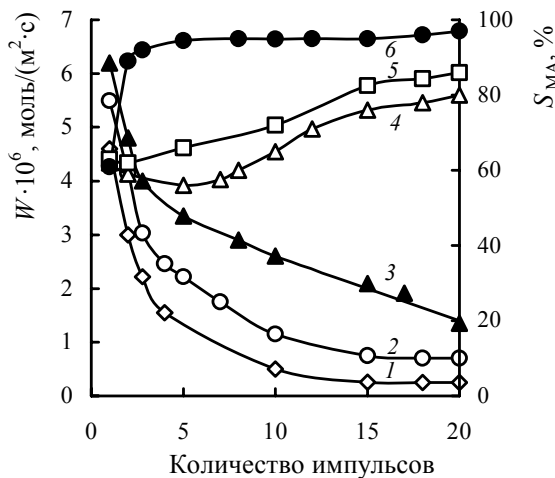


Рис. 4. Влияние количества последовательных импульсов ВС на скорость восстановления (1–3) катализаторов изобутиленом и избирательность (4–6) образования метакролеина: ($T_p = 653 \text{ K}$; $V_{\text{ног}} = 2 \text{ л}/\text{ч}$; $V_{\text{имп}} = 0,71 \text{ см}^3$ чистого изобутилена; $S_{\text{кат}} = 5 \text{ м}^2$): 1, 4 – без промотора; 2, 5 – $\text{Li/Mo} = 0,1$; 3, 6 – $\text{Cs/Mo} = 0,1$

Как видно из полученных данных, после 20 имп. ВС скорость восстановления на непромотированном катализаторе уменьшилась в 25 раз, на промотированном ионами лития – в 7,5 раза, а на катализаторе, промотированном ионами цезия, – лишь в 4,5 раза. Можно предположить, что ионы щелочных металлов, повышая подвижность кислорода кристаллической решетки, обеспечивают каталитическую поверхность кислородом, необходимым для избирательного окисления изобутилена в метакролеин. Из рис. 4 видно, что наиболее высокая избирательность в этой реакции достигается при введении ионов цезия, обеспечивающих максимальную скорость стадии восстановления поверхности катализатора.

Таким образом, на основании проведенных исследований можно сделать вывод, что повышение общей активности исследуемого Fe-Te-Mo-O-катализатора при промотировании ионами щелочных металлов связано с увеличением скорости лимитирующей стадии –

реокисления каталитической поверхности. Повышение селективности образования метакролеина определяется способностью промотора блокировать наиболее сильные кислотные центры, на которых адсорбированный изобутилен подвергается деструктивному окислению.

Литература

- Федевич Е.В., Крылова В.В., Жизневский В.М. и др., Испытания железо-теллур-молибденового катализатора окисления изобутилена в метакролеин, *Хим. пром-сть*, 1980, (6), 335–337.
- Жизневский В.М., Федевич Е.В., *Перспективные каталитические процессы получения акрилатных мономеров*, Львов, Світ, 1991.
- Боресков Г.К. Изменение свойств твердых катализаторов под воздействием реакционной среды, *Кинетика и катализ*, 1980, **21** (1), 5–16.
- Двончова Э., Модифицирование катализаторов окисления изобутилена, *Автореф. дис. ... канд. хим. наук*, Львов, 1988.
- Жизневский В.М., Кхан М.Р., Федевич Е.В., Гричик Я.С., Влияние промотирующих добавок ионов стронция на каталитические свойства железо-теллур-молибден-оксидного катализатора в реакции окисления трет.-бутанола, *Журн. прикл. химии*, 1999, **72** (6), 969–971.
- Жизневский В.М., Кхан М.Р., Федевич Е.В. Окиснення трет.-бутанолу в метакролеїн на промотованих магнієм залізо-теллур-молібден-окисних катализаторах, *Хім. пром-сть України*, 1999, (3), 17–21.
- Жизневский В.М., Кхан М.Р., Федевич Е.В. Вплив іонів кальцію на каталітичні властивості залізо-теллур-молібден-окисного катализатора окиснення трет.-бутанолу в метакролеїн, *Катализ і нафтохімія*, 2000, (4), 46–49.
- Щукин В.П., Веньяминов С.А., Реактор с вибророжженным слоем катализатора для импульсного метода, *Кинетика и катализ*, 1971, **12** (2), 533–535.
- Рубаник М.Я., Горюховатский Я.Б., *Неполное каталитическое окисление олефинов*, Киев, Техніка, 1964.
- Жизневский В.М., Федевич Е.В., Толопко Д.К. и др., Влияние реакционной среды на каталитические свойства теллура, молибдена смешанных Te-Mo-O-катализаторов, *Кинетика и катализ*, 1974, **15** (2), 381–385.
- Федевич Е.В., Шипайло В.Я., Сифи А. и др., Свойства Te-Mo-O-катализаторов различной степени восстановленности при окислении бутена-1, *Катализ и катализаторы*, 1971, (12), 41–45.

Вплив іонів лужних металів на відновлення та реокиснення залізо-телур-молібден-оксидного катализатора

E.B. Федевич

*Львівський державний аграрний університет,
Україна, 29040 Дубляни Львівської обл.; факс: (0322) 79-32-31*

Встановлено, що промотування Fe-Te-Mo-O-катализатора іонами лужних металів впливає на перебіг стадій топохімічного відновлення його поверхні ізобутиленом та реокиснення молекулярним киснем. Збільшення активності катализатора в реакції окиснення *i*-C₄H₈ пов'язано з прискоренням лімітуючої стадії – реокиснення катализатора іонами лужного промотору, а підвищення селективності утворення метакролеїну зумовлено блокуванням іонами промотору сильних кислотних центрів, на яких адсорбований ізобутилен підлягає деструктивному окисненню.

Influence of alkali metals ions on the reduction and reoxidation of Fe-Te-Mo-O-catalyst

E.V. Fedevych

*Lviv State Agricultural University,
Lviv-Dubljany, 29040, Ukraine, Fax: (0322) 79-32-31*

It has been stated that the promotion of Fe-Te-Mo-O catalyst by alkali metals ions influences running of topochemical reduction of surface by izobutylene as well as its reoxydation by molecular oxygen. The increase of catalyst activity in the izobutylene oxydation is caused by acceleration limiting stage – of catalyst reoxidation by promotorous. At the same time the increase of methacroleine formation selectivity is caused by promotory ions blockade of the strong acidic centers of catalyst on which the adsorbed izobutylene undergoes destructive oxydation.

НОВА ЕФЕКТИВНА БІОТЕХНОЛОГІЯ НА СЛУЖБІ ЄКОЛОГІЇ !

Відділом мікробіології очистки води Інституту колоїдної хімії та хімії води НАН України (Гвоздяк П.І.) та лабораторією екологічних досліджень Інституту біоорганічної хімії та нафтохімії НАН України (Павленко М.І.) розроблена та впроваджена на АТП-13060 м. Києва біотехнологія очищення води від нафтопродуктів. Вона базується на використанні асоціації нафтоокиснюючих мікроорганізмів, які іммобілізовані на водонерозчинних насадках типу "ВІЯ", що розміщені в спеціальних конструкціях – "Вежах".

Забруднена нафтопродуктами вода після попереднього механічного очищення у відстійниках проходить через два біофільтри "Вежа", де очищається від вуглеводневих забруднень і повторно використовується для миття автотранспорту.

Телефон: 444-35-79, 559-70-03

Содержание

Суховеев В.В., Ковтун Г.А. Металлокомплексные соединения на основе производных сульфолена-3: антиокислительная эффективность	1
Ковтун Г.А. Катализ обрыва цепей окисления органических соединений кластерами металлов	10
Старчевский М.К. Кластеры Pd(0) с N-содержащими лигандами как катализаторы реакций окисления толуола и алифатических спиртов.....	18
Ковтун Г.А., Пустарнакова Г.Ф. Кластер кобальта $\text{Co}_3(\mu_3-\text{CC}_6\text{H}_4\text{NH}_2)(\text{CO})_9$ в катализе обрыва цепей окисления циклогексадиена-1,3	23
Григорьев А.А., Флид В.Р., Белов А.П. Синтез энергоемких углеводородов.....	26
Жизневский В.М., Федевич Е.В., Карапан Г.С. Окислительный аммонолиз <i>трем.бутилового спирта</i> на железо-теллур-молибден-оксидном катализаторе, промотированном ионами кальция.....	36
Жизневский В.М., Гуменецкий В.В., Бажан Л.В., Майкова С.В. Окислительный аммонолиз изобутилена на Sb-Mo-O-катализаторах, промотированных оксидами теллура и ванадия	41
Кожарский В.А., Ивасив В.В., Шибанов С.В. Синтез метилвинилкетона газофазной конденсацией ацетона с формальдегидом на бинарных катализаторах	47
Ковтун Г.А., Каменева Т.М. Катализ обрыва цепей окисления спиртов 4- <i>трем</i> -бутилкаликсаренами	50
Иванов В.М., Владимиров В.В., Калинченко Ф.В., Дерябко А.Г., Труханов В.Н., Тур Ю.Ю. Формирование катализаторных слоев с прогнозируемыми структурными характеристиками.....	53
Федевич Е.В. Влияние ионов щелочных металлов на восстановление и реокисление железо-теллур-молибден-оксидного катализатора	56
Шкарапута Л.Н. К 60-летию со дня рождения	61
Правила для авторов.....	63

Зміст

Суховєєв В.В., Ковтун Г.О. Металокомплексні сполуки на основі похідних сульфолену-3: антиокиснювальна ефективність	1
Ковтун Г.О. Кatalіз обриву ланцюгів окиснення органічних сполук кластерами металів	10
Старчевський М.К. Кластери Pd(0) з N-вмісними лігандами як каталізатори реакцій окиснення толуолу та аліфатичних спиртів	18
Ковтун Г.О., Пустарнакова Г.Ф. Кластер кобальту $\text{Co}_3(\mu_3-\text{CC}_6\text{H}_4\text{NH}_2)(\text{CO})_9$ у каталізі обриву ланцюгів окиснення циклогексадіену-1,3	23
Григор'єв А.О., Флідв.Р., Бєлов А.П. Синтез енергоємних вуглеводнів	26
Жизневський В.М., Федевич Е.В., Караман Г.С. Окиснювальний амоноліз <i>трет.</i> -бутилового спирту на залізо-телур-молібден-оксидному каталізаторі, промотованому іонами кальцію	36
Жизневський В.М., Гуменецький В.В., Бажан Л.В., Майкова С.В. Окислювальний амоноліз ізобутилену на Sb-Mo-O-кatalізаторах, промотованих оксидами телуру і ванадію	41
Кожарський В.А., Івасів В.В., Шибанов С.В. Синтез метилвінілкетону газофазною конденсацією ацетону з формальдегідом на бінарних каталізаторах	47
Ковтун Г.О., Каменєва Т.М. Кatalіз обриву ланцюгів окиснення спиртів 4- <i>трет.</i> -бутилкаліксаренами.....	50
Іванов В.М., Владимиров В.В., Калінченко Ф.В., Дерябко О.Г., Труханов В.М., Тур Ю.Ю. Формування каталізаторних шарів з прогнозованими структурними характеристиками	53
Федевич Е.В. Вплив іонів лужних металів на відновлення та реокиснення залізо-телур-молібден-оксидного каталізатора	56
Шкарапута Л.М. До 60-річчя від дня народження	61
Правила для авторів	63

Contents

Sukhoveev V.V., Kovtun G.O. Metalcomplexes on the basis of sulfolene-3 derivatives: antioxidative ability	1
Kovtun G.O. Catalysis of oxidation chains breaking of organic compounds by clusters of metals	10
Starchevskii M.K. Pd(0) clusters with N-ligands as catalysts in reactions of oxidation of toluene and aliphatic alcohols.....	18
Kovtun G.O., Pustarnakova G.F. Cluster of cobaltous $\text{Co}_3(\mu_3-\text{CC}_6\text{H}_4\text{NH}_2)(\text{CO})_9$ in catalysis of oxidation chain breaking of cyclohexadiene-1,3	23
Grigorjev A.A., Flid V.L., Belov A.P. The synthesis of energycaptions hydrocarbons	26
Zhyznevskii V.M., Fedevych E.V., Karaman G.S. Oxidative ammonolysis of tertiary butyl alcohol on Fe-Te-Mo-O-catalyst promoted by Ca^{2+} ions	36
Zhiznevskii V.M., Gumenetskii V.V., Bazhan L.V., Maikova S.V. Oxidizing ammonolysis of iso-butylene on Sb-Mo-O-catalysts, promoted by oxides tellurium and vanadium.....	41
Kozharskii V.A., Ivasyv V.V., Shybanov S.V. Synthesis of methylvinylketone by gas phase condensation of acetone with formaldehyde on binary catalysts	47
Kovtun G.O., Kameneva T.M. Catalysis of oxidation chains breaking of alcohols by 4-tret-butylcalixarens.....	50
Ivanov V.M., Vladimirov V.V., Kalinchenko F.V., Deryabko A.G., Truhanov V.N., Tur Y.Y. Formation of catalyst layers with predicted structural characteristics	53
Fedevych E.V. Influence of alkali metals ions on the reduction and reoxidation of Fe-Te-Mo-O-catalyst	56
Shkaraputa L.M. (For 60 years old)	61
Regulations for authors.....	63

Научный редактор выпуска профессор П.Н. Галич

Редактор Н.А. Савельева

Компьютерная верстка
Т.И. Черноморченко, Л.А. Шевченко

Формат 60×84/8, бумага офс.
Оригинал-макет подготовлен в Институте
биоорганической химии и нефтехимии
НАН Украины
Напечатано в ИПРИ НАН Украины